



KREAN S.COOP.

Garaia Parke Teknologikoa
Goiur kalea, 7
20500 Arrasate-Mondragón
T: 902 030 488
F: 902 787 943
www.krean.com



ANEJO N°4

GEOLOGÍA Y GEOTECNIA

PROYECTO CONSTRUCTIVO DEL ACCESO AL POLÍGONO ARRIAGA Y
DESOBLAMIENTO DE VÍA EN ELGOIBAR, GIPUZKOA

Promotor
EUSKAL TRENBIDE SAREA

Índice

1	INTRODUCCIÓN	3
1.1	Objeto y alcance del estudio.....	3
1.2	Estudios previos	3
2	CARACTERÍSTICAS GEOLÓGICAS GENERALES.....	4
2.1	Marco geológico general	4
2.2	Tectónica	5
2.3	Geomorfología.....	6
2.4	Sismicidad	6
2.5	Hidrogeología	7
2.5.1	Niveles freáticos y agresividad del agua frente al hormigón.....	7
2.6	Litología	9
2.6.1	Complejo Supraurgoniano: Areniscas y Limolitas (Flysch Negro).....	10
2.6.2	Depósito Coluvial. Qcol	11
2.6.3	Rellenos Antropogénicos Compactados. Rac	12
2.7	Descripción Geológico- Geotécnica del Trazado.....	12
3	TRABAJOS REALIZADOS	13
3.1	Estaciones Geomecánicas	13
3.2	Sondeos Mecánicos	13
3.3	Ensayos de Laboratorio	14
4	CARACTERIZACIÓN GEOTÉCNICA DE LOS MATERIALES	15
4.1	Complejo Supraurgoniano. Flysch negro	15
4.2	Depósito Coluvial (Q _{COL})	16
5	DESMONTES.....	18
5.1	Desmonte 1+020 – 1+110	18
5.1.1	Parámetros de cálculo y hipótesis adoptados.....	18
5.2	Desmonte 1+420 – 1+490	19
5.2.1	Parámetros de cálculo y hipótesis adoptados.....	19
6	RELLENOS	20
6.1	Relleno 1+200 – 1+280.....	20
7	EXPLANADA	22
8	APOYO DEL CIMENTO DEL RELLENO / DESMONTE.....	24
9	ESTRUCTURAS	25
9.1	Introducción.....	25
9.2	Metodología de estudio	25
9.2.1	Cimentación Superficial en roca	25
9.2.2	Cimentación Profunda en roca	25
9.2.3	Asientos previsibles en la cimentación	27
9.3	Puentes	27
9.3.1	Puente Carretera GI-2634_1+130.....	27
9.3.2	Puente Acceso Polígono Arriaga_1+280	28
9.4	Pasarelas bidegorri.....	30
9.4.1	Pasarela 1+130	30
9.4.2	Pasarela 1+280	30
10	PROCEDENCIA DE LOS MATERIALES	31
10.1	Canteras.....	31
10.2	Plantas de Hormigón	32

APÉNDICE Nº 4.1: PLANTA GEOLÓGICA 1/100.000

APÉNDICE Nº 4.2: PLANTA GEOLÓGICA 1/25.000

APÉNDICE Nº 4.3: PLANTA GEOTÉCNICA 1/100.000

APÉNDICE Nº 4.4: PLANTA HIDROGEOLÓGICA 1/100.000

APÉNDICE Nº 4.5. ROCAS INDUSTRIALES 1/100.000

APÉNDICE Nº 4.6. PLANTA GEOLÓGICO – GEOTÉCNICA 1/2.000

APÉNDICE Nº 4.7. PERFILES GEOLÓGICO – GEOTÉCNICOS

APÉNDICE Nº 4.8. REGISTRO SONDEOS MECÁNICOS

APÉNDICE Nº 4.9. ENSAYOS DE LABORATORIO

APÉNDICE Nº 4.10. QADM ESTRUCTURAS

1 INTRODUCCIÓN

1.1 Objeto y alcance del estudio

El presente Anejo tiene como objeto la descripción del entorno geológico y el comportamiento geotécnico de las diferentes litologías atravesados por el P.C. Acceso al Polígono Industrial Arriaga, en Altzola, provincia Gipuzkoa.

Con objeto de alcanzar una buena definición del trazado propuesto, así como un conocimiento pleno de las condiciones geológicas y geotécnicas existentes tanto en el corredor como en un área próxima a ella, se ha procedido a determinar las litologías interceptadas por los trazados y la geometría de su estructura, que determina la distribución y disposición de las unidades litológicas, la localización de fallas, fracturas importantes y plegamientos, además de la meteorización del macizo, afección de la fracturación, etc.



Fig. 1. Situación geográfica del Proyecto

1.2 Estudios previos

Para la elaboración de este anejo geológico-geotécnico se ha partido de una información base procedente de la hoja 63-III Eibar del mapa geológico del País Vasco a escala 1:25.000, editado por el Ente Vasco de Energía (EVE).

Asimismo, se ha recopilado información cartográfica de las siguientes publicaciones:

- Mapa geológico de España editado por el IGME. Escala 1/50.000. Hoja nº63 Eibar.
- Mapa de Rocas y Minerales Industriales del País Vasco. Escala 1/200.000 del EVE.
- Mapa Hidrogeológico del País Vasco. Escala 1/100.000del EVE.

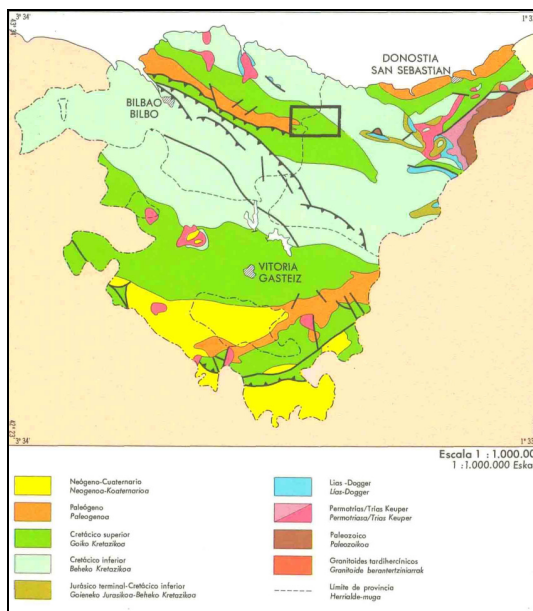
Además de estas publicaciones, se ha recopilado información geotécnica del Estudio Informativo de la Variante de Altzola, redactado en 2010, y cuya información se adjunta tanto en las plantas geotécnicas como en los longitudinales geotécnicos, además de incluirse en los apéndices correspondientes.

2 CARACTERÍSTICAS GEOLÓGICAS GENERALES

2.1 Marco geológico general

Desde el punto de vista de la geología regional, la zona objeto de este estudio pertenece a las estribaciones occidentales de los Pirineos, dentro de la Cuenca Vasco - Cantábrica.

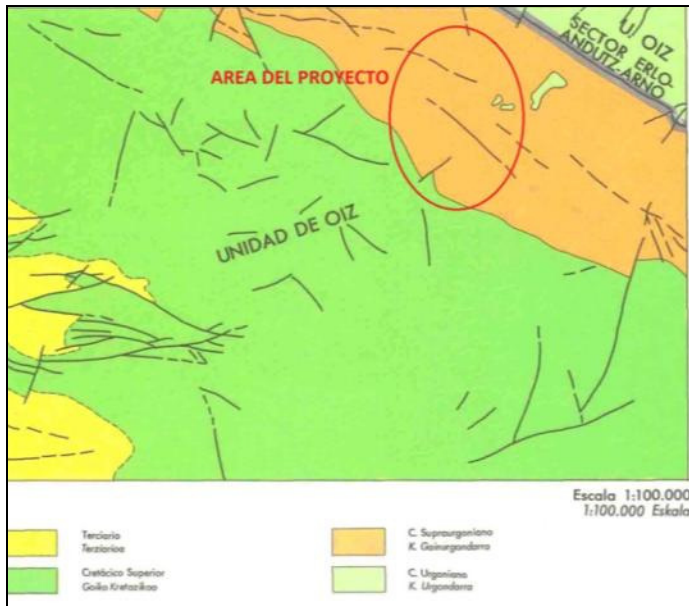
La zona estudiada se enmarca dentro del flanco sur del sinclinalio de Bilbao, originado durante la Orogenia Alpina. Concretamente en la unidad tectosedimentaria conocida como "Unidad de Oiz", dentro del sector de Durango. Esta Unidad se encuentra limitada al Norte por la Falla de Durango, mientras que al Sur el límite viene dado por la falla de Bilbao - Alsasua, las cuales no afectan al trazado previsto.



Encuadre geológico general. (Mapa del EVE, escala 1:1.000.000)

Los materiales delimitados por estos accidentes tectónicos, de edad Cretácico Inferior (Albiense), pertenecen a la "Unidad de Oiz", sector de Durango, formado, en esta zona, por rocas detríticas del Complejo Supraurgoniano y constituido principalmente por limolitas negras arenosas y areniscas, normalmente carbonatadas, con niveles de rocas volcánicas, compuestas por coladas masivas o de "pillow-lavas" y rocas piroclásticas, tales como brechas volcanoclásticas, tobas y cineritas.

El ciclo Supraurgoniano representa el episodio terrígeno que cierra el ciclo marino somero arrecifal urgoniano y lo separa de los episodios flyschoides o de la sedimentación carbonatada extensiva en las grandes plataformas del Cretácico superior.



Esquema geológico regional (Mapa del EVE, escala 1:100.000)

Desde el punto de vista estructural, la Unidad de Oiz, al igual que toda la Cuenca Vasco-Cantábrica, se caracteriza por presentar, al menos, tres fases de deformación debidas a los efectos de la Orogenia Alpina. La más importante de ellas, denominada como Fase I en la bibliografía consultada, es la que genera casi la totalidad de las estructuras reconocibles a escala regional, predominando la dirección Noroeste - Sureste, N120° a 130° E. Posteriormente se desarrollan, durante la Fase III, estructuras de rumbo ortogonal al descrito, N045°E, y que afectan a las directrices de la Fase I.

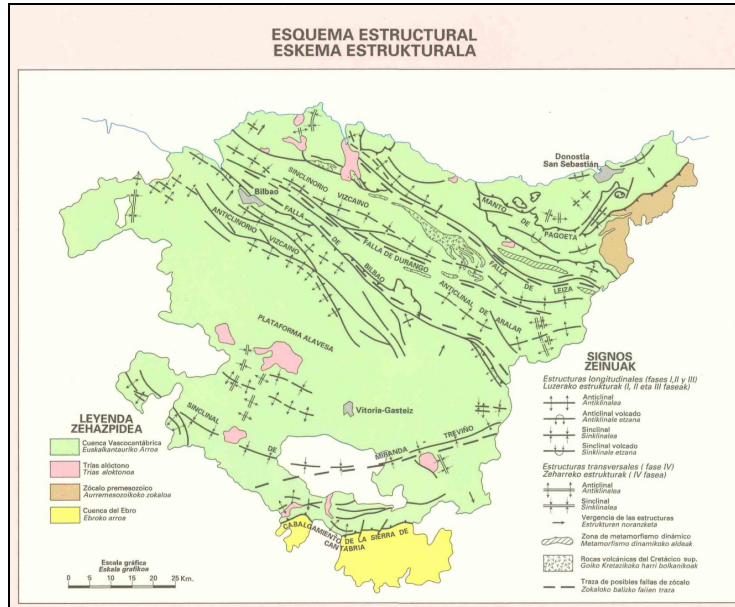
Sobre el substrato Cretácico compuesto por una alternancia de areniscas y limolitas, se han desarrollado diversos depósitos cuaternarios, con espesores importantes, consistentes en suelos de origen coluvial y por rellenos antropogénicos.



Esquema geológico regional (Mapa del EVE, Hoja 63-III Eibar, escala 1:25.000)

2.2 Tectónica

Estructuralmente, la zona de estudio se engloba dentro del Sector de Durango, enmarcado en la Unidad de Oiz. Las directrices estructurales principales son NO-SE. Al igual que en otras unidades, se contempla la división de este gran área estructural en sectores que presentan características estructurales comunes y/o están diferenciados por accidentes de importancia. La principal estructura de la Unidad de Oiz, aparte de sus accidentes limitantes, es el Sinclinorio de Bizkaia, plegamiento de directriz NO-SE situado en la franja centro-meridional de esta región estructural.



Esquema estructural del País Vasco (Mapa geológico del EVE, escala 1/1.000.000)

2.3 Geomorfología

Desde el punto de vista geomorfológico, el trazado proyectado discurre por la margen derecha del valle del río Deba; enclavado entre surcos y relieves muy abruptos, con fuertes diferencias de altitud, originados por las estructuras geológicas.

Las cotas máximas y mínimas de este tramo varían entre 40 y 25 respectivamente.

Este tramo discurre íntegramente a cielo abierto, alternando entre desmonte y terraplén, al pie de la ladera y subparalelo a la margen derecha del río Deba.

2.4 Sismicidad

De acuerdo con la "Norma de Construcción Sismorresistente: Parte General y Edificación (NCSE-94)" Real Decreto 2453/1994 de 29 de Diciembre, la obra que se proyecta se clasifica como "DE ESPECIAL IMPORTANCIA", dado que su destrucción por terremoto puede interrumpir un servicio imprescindible o dar lugar a efectos catastróficos. En este grupo se incluyen las infraestructuras básicas como principales vías de comunicación de las poblaciones. La peligrosidad sísmica se define por el parámetro ab de aceleración sísmica básica, que se expresa en función del valor de la gravedad. El parámetro de proyecto es la aceleración sísmica de cálculo a_c cuyo valor viene dado por:

$$a_c = \rho \cdot a_b$$

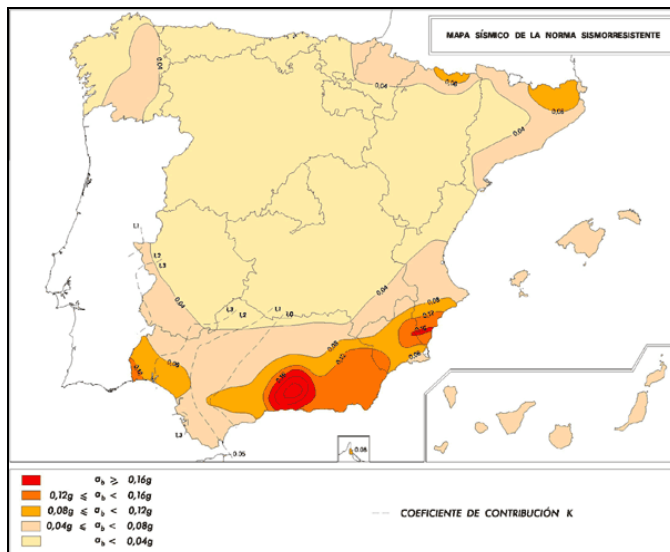
siendo:

- $\rho = 1,00$ (para $t = 50$ años, caso de construcciones de normal importancia)
- $\rho = 1,30$ (para $t = 100$ años, caso de construcciones de especial importancia)

La aceleración sísmica de cálculo en función de la importancia de la construcción resulta:

- Normal importancia: $a_c = 0,070 \cdot g$
- Especial importancia $a_c = 0,091 \cdot g$

Sin embargo, de acuerdo con los "Criterios de aplicación de la Norma" no es obligatorio tener en cuenta este factor, ya que todo el País Vasco queda por debajo del límite de 0,04 para el cociente a_b/g , tal como se representa en el Mapa de Peligrosidad Sísmica de España.



Mapa de Peligrosidad Sísmica de España.

2.5 Hidrogeología

Desde el punto de vista hidrogeológico regional, el área de estudio se enmarca dentro de la cuenca Norte, que ocupa la casi totalidad de la cornisa cantábrica. De los diversos sistemas acuíferos localizados dentro del sector vasco de esa cuenca solamente la Unidad Hidrogeológica de Oiz, que se desarrolla sobre materiales detríticos, se localiza próxima a la zona de estudio, aunque sin afectar a las obras previstas.

Según el Mapa Hidrogeológico del País Vasco publicado por el EVE, la formación de las alternancias de areniscas y limolitas del Complejo Supraurgoniano presentan una permeabilidad muy baja.

Según este Estudio existen dos manantiales captados en la zona de Altzola, concretamente en la margen izquierda del Río Deba. Se trata de dos manantiales próximos, asociados a un lentejón calizo (Urgoniano) y probablemente a una fractura, unos de ellos termal, con temperatura de 28,4º y caudal de estiaje total de 6 l/s.

Estas aguas tienen un origen profundo (más de 700 metros) y su aprovechamiento ha dado lugar a las instalaciones balnearias y al envasado del agua con especificación de mineral natural.

2.5.1 Niveles freáticos y agresividad del agua frente al hormigón

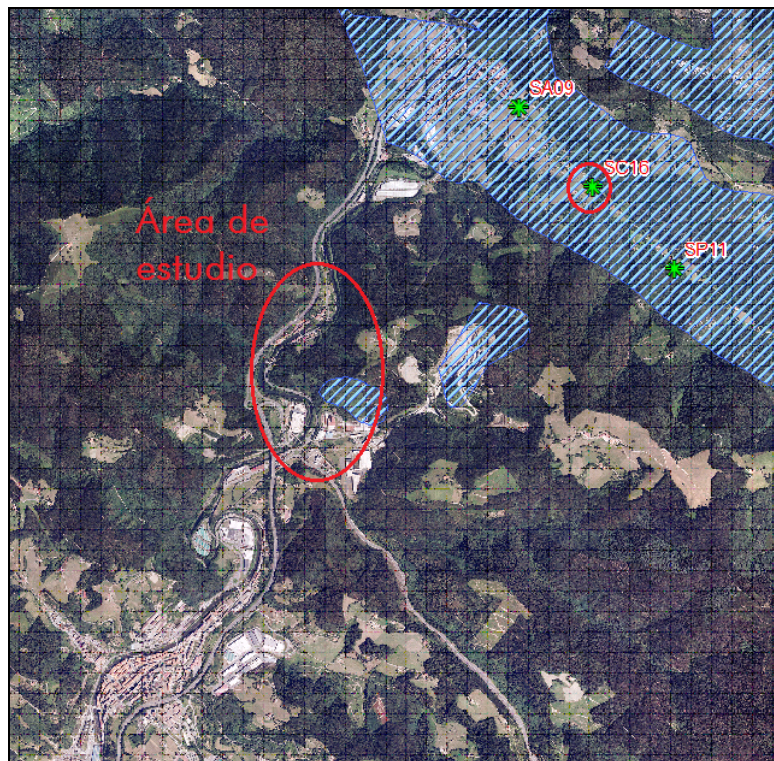
No se ha detectado agua freática en los sondeos realizados en la zona de estudio.

Se ha consultado la bibliografía redactada por TELUR para Ur Agentzia. Agencia vasca del Agua sobre el *Mantenimiento de la Red de Control de Aguas Subterráneas de la Comunidad Autónoma del País Vasco. (C02/002/2012) Informe 2013*.

En dicho informe se incluye un cuadro resumen de la calidad del agua a través de unos puntos de control. Los resultados de este informe sobre el punto de control SC16 "Sondeo Kilimon", cercano al área de estudio, se muestran a continuación:

RED BÁSICA DE CONTROL DE AGUAS SUBTERRÁNEAS																
Estación: Sondeo KILIMON Código: SC16 Control: Calidad						Punto de Control: Sondeo Kilimon Código Punto de Agua: 06336008										
Coordinadas UTM (ETRS89) X: 550725 Y: 4788227 Z: 40		Territorio Histórico: Gipuzkoa Municipio: Mendaro Cuenca: Ebro Unidad Hidrogeológica: Izarraitz Dominio: Anticlinorio Norte				Masa de Agua: Izarraitz Tipo de Punto: Sondeo de explotación Caudal: 90 l/s Uso: Urbano										
Observaciones: Abastecimiento Consorcio de Aguas del Bajo Deba. Mientras no se bombea del sondeo se muestrea la galería Irabaneta.						Fotografía: 										
Ver otras Fotografías																
Histórico: - Se inician muestreos de la Red Básica en Enero-1999.																
Últimos Resultados Analíticos (SC16 - Sondeo KILIMON)																
Fecha	pH (U.pH)	Cond. ($\mu\text{S/cm}$)	Oxida. (mg/l)	R.S. (mg/l)	Na (mg/l)	K (mg/l)	Ca (mg/l)	Mg (mg/l)	Cl (mg/l)	SO4 (mg/l)	CO3 (mg/l)	HCO3 (mg/l)	NO3 (mg/l)	NO2 (mg/l)	NH4 (mg/l)	P2O3 (mg/l)
2014/12/16	7.8	303.0			4.66	<0.50	53.54	1.67	9.08	6.74	0	155.4	5.74	<0.01	<0.05	<0.05
2014/10/21	8.0	292.0			3.92	0.51	49.03	1.92	7.22	6.97	0	157.0	4.00	<0.01	<0.05	0.51
2014/08/18	8.1	289.0			3.98	<0.50	47.19	1.83	7.42	7.19	0	152.4	4.64	<0.01	<0.05	<0.05
2014/06/16	7.5	286.0			4.40	<0.50	51.60	1.00	7.42	6.55	0	153.5	3.86	<0.01	<0.05	0.09
2014/04/23	7.8	285.0			4.31	0.74	48.69	1.97	8.55	8.11	0.00	149.60	4.59	<0.01	<0.05	<0.05
2014/02/17	8.0	272.0			4.01	2.57	51.27	1.67	9.53	6.85	0.00	144.40	4.12	<0.01	<0.05	<0.05
ESTADÍSTICOS																
Fecha	pH (U.pH)	Cond. ($\mu\text{S/cm}$)	Oxida. (mg/l)	R.S. (mg/l)	Na (mg/l)	K (mg/l)	Ca (mg/l)	Mg (mg/l)	Cl (mg/l)	SO4 (mg/l)	CO3 (mg/l)	HCO3 (mg/l)	NO3 (mg/l)	NO2 (mg/l)	NH4 (mg/l)	P2O3 (mg/l)
V. Medio	7.98	290	0.7	240	4.3	0.5	54.0	1.8	8.7	8.3	0.0	161.8	4.5	0.00	0.008	0.017
Nº Vals.	145	145	21	24	145	145	145	145	145	145	145	144	145	142	142	74
V Min.	7.50	231	0.3	150	2.9	0.0	42.6	1.0	5.7	5.6	0.0	144.0	2.4	0.00	0.000	0.000
V Max.	8.40	363	1.4	340	5.5	2.6	68.8	2.4	14.8	11.5	0.0	195.0	11.3	0.03	0.280	0.510
D. Stand.	0.14	19	0.3	61	0.4	0.4	3.7	0.2	1.5	1.0	0.0	11.8	1.0	0.01	0.028	0.068
 Descarga Serie analítica Completa																
     																

TABLA 7. Tabla resumen datos de control



Situación del Sondeo Kilimon respecto al área de estudio

A continuación, se incluye la tabla de referencia para determinar la agresividad del agua freática al hormigón según sus parámetros químicos:

Tipo de Medio agresivo	Parámetros ⁽¹⁾	Tipo de exposición		
		Q _a	Q _b	Q _c
				Ataque débil
Agua	Valor del pH	6,5-5,5	5,5-4,5	< 4,5
	CO ₂ agresivo (mg CO ₂ /l)	15-40	40-100	> 100
	Ión amonio (mg NH ₄ ⁺ /l)	15-30	30-60	> 60
	Ión magnesio (mg Mg ²⁺ /l)	300-1000	1000-3000	> 3000
	Ión sulfato (mg SO ₄ ²⁻ /l)	200-600	600-3000	> 3000
	Residuo seco a 110º C (mg/l)	75-150	50-75	< 50

TABLA 8. Agresividad química del Agua (EHE)

Según los datos recopilados en el punto de control SC16 "Sondeo Kilimon" se obtiene que el agua freática de la zona de estudio presenta un ataque nulo al hormigón.

2.6 Litología

En este apartado se describe las características litológicas del substrato rocoso reconocido en el ámbito donde se sitúa la obra proyectada.

Para caracterizar, desde un punto de vista geotécnico los diferentes materiales que definen el macizo rocoso, su descripción se ha llevado a cabo complementando el término que define su litología con una referencia al grado de meteorización (G.M.), de acuerdo con la Escala de Meteorización, basada en la escala de meteorización del granito de D.G. Moye, de uso bastante habitual en geotecnia para las rocas metamórficas, aunque puede aplicarse, así mismo, a algunas rocas sedimentarias. La escala

diferencia 5 posibles grados de alteración, según las características texturales y resistentes de los fragmentos rocosos, en orden creciente cuanto mayores son sus diferencias respecto a la roca sana.

Los materiales que forman el macizo rocoso en el área estudiada, se encuentran meteorizados en la capa más superficial del terreno, dando lugar a una notable disminución en la resistencia de la roca. La pérdida de resistencia suele venir acompañada de un cambio de color en la roca matriz, que pasa a ser de tonos más marrones, beiges y ocres, junto con un aumento de la fisuración del material. Por tanto, a pesar de la homogeneidad que presentan los materiales, desde un punto de vista litológico, existen diferencias en la calidad del macizo rocoso, debido a las variaciones en su grado de meteorización.

A continuación se muestra el cuadro en el que se recoge la escala de meteorización empleada.

GRADO DE METEORIZACIÓN	DENOMINACIÓN	CRITERIO DE RECONOCIMIENTO
I	SANA	Roca no meteorizada conserva el color lustroso en toda la masa.
II	SANA CON JUNTAS TENIDAS DE ÓXIDO	Las caras de las juntas están manchadas de óxidos, pero el bloque unitario entre juntas mantiene el color lustroso de la roca.
III	MODERADAMENTE METEORIZADA	Claramente meteorizada a través de la petrofábrica, reconociéndose el cambio de color respecto de la roca sana. El cambio de color puede ser desde simples manchas a variación de color de toda la masa, generalmente a colores típicos de óxidos de hierro. La resistencia de la roca puede variar desde muy análoga a la roca grado II a bastante más baja, pero tal que trozos de 25 cm ² de sección no pueden romperse a mano.
IV	MUY METEORIZADA	Roca intensamente meteorizada que puede desmenuzarse a mano y romperse.
V	COMPLETAMENTE METEORIZADA	Material con aspecto de suelo completamente descompuesto por meteorización "in situ", pero en el cual se puede reconocer la estructura de la roca original.

ESCALA DE METEORIZACIÓN DE LA ROCA (D.G.MOYE)

2.6.1 Complejo Supraurgoniano: Areniscas y Limolitas (Flysch Negro)

El término mayoritario de esta formación consiste en una alternancia de areniscas silíceas de grano fino a medio y limolitas, en ocasiones con intercalaciones de argilitas.

Las proporciones de los diferentes materiales varían, predominando las areniscas sobre las limolitas en algunos puntos, y viceversa.

Petrográficamente, y de forma general, las areniscas varían entre ortocuarцитas, arenitas cuarzosas y grauvacas, con tamaños de grano entre 200 y 600 micras. Los colores más frecuentes son: gris, beige y blanco amarillento (localmente rojo vino), aunque en afloramientos alterados presentan tonalidades amarillo terroso. Presentan superficies irregulares de techo y muro, así como escasas laminaciones paralelas.

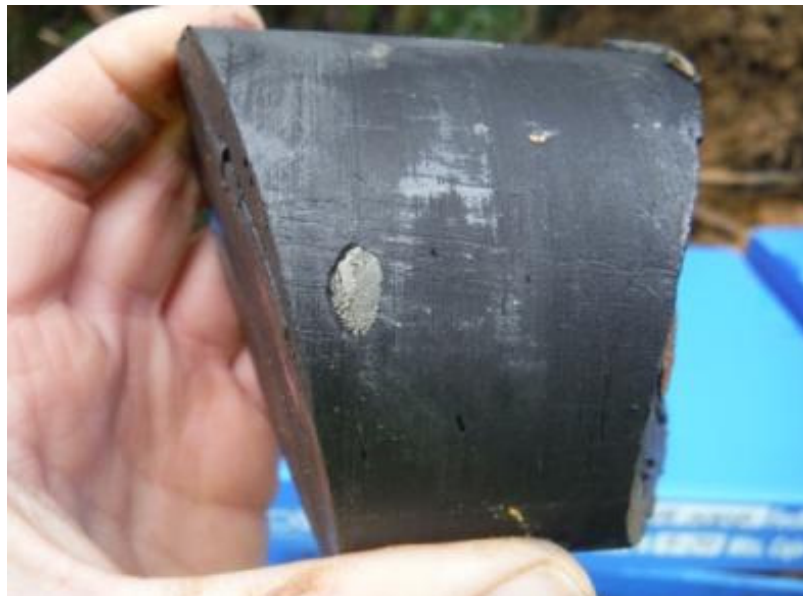
Igualmente se debe destacar que en este término, el aumento de la proporción de areniscas va emparejado al aumento de la potencia de los bancos y al mayor desarrollo, en su caso, de las series turbidíticas de Bouma. Localmente pueden presentarse, intercalados, algunos niveles de orto y paraconglomerados silíceos.



Caja 3 del Sondeo S-1 (P.I. GI-2634).

Alternancia de tramos de areniscas y limolitas.

Por su parte, las limolitas son arenosas, de color gris oscuro o negro, y en ocasiones contienen nódulos ferruginosos de forma ovoidea. Suelen presentar esquistosidad.



Nódulo pirítico en un paquete limolítico

2.6.2 Depósito Coluvial. Qcol

Los suelos coluviales, depositados en zonas de vaguada y pie de ladera, poseen por lo general una composición arcillosa, con cantidades variables de arena y grava, éstas últimas angulosas.



Depósito Coluvial excavado para el acceso al sondeo S-3 del tramo de la Variante de Altzola.

2.6.3 Rellenos Antropogénicos Compactados. Rac

Se trata de vertidos relativamente modernos, de origen antropogénico, cuya composición suele ser muy heterogénea.

Se encuentran asociados a las plataformas de las obras lineales (carreteras, ferrocarriles, etc), y a las urbanizaciones de los Polígonos industriales.

2.7 Descripción Geológico- Geotécnica del Trazado

El presente proyecto arranca en el p.k. 1+000, desde la salida del túnel Karkizano, cuya rasante discurre en desmonte sobre la plataforma actual (p.k. 56+476) apoyada en sustrato rocoso del Complejo Supraurgoniano (limolitas y areniscas). La altura máxima del desmonte proyectado es de 11.5 metros con una pendiente de 1H:2V.

A continuación, entre los pp.kk. 1+124 y 1+142, el paso inferior existente salva la carretera GI-2634. Dicha estructura, que sufrirá una ampliación de tablero, apoya directamente en roca (areniscas y limolitas) con grado de meteorización G.M.II (ver sondeo mecánico S-1. Apéndice 4.7) que aparece sobre la cota +27,4.

El siguiente tramo, hasta el p.k. 1+190 aprox., también discurre en desmonte apoyado sobre la plataforma actual, con una altura máxima de desmonte de 1.5 metros y una pendiente de 1H:1V.

A continuación, y hasta el p.k. 1+280, la traza discurre en relleno sobre la vía actual. Se ejecutará un saneo del terraplén actual para la ampliación de la plataforma proyectada.

Entre los pp.kk. 1+270 y 1+287 se proyecta la reposición de un paso inferior para salvar la carretera de acceso al polígono industrial Arriaga. Dicha estructura se ejecutará con el servicio ferroviario en funcionamiento, con lo cual, se propone la ejecución de pantallas de pilotes que soporten la plataforma actual en fase de obra.

Según la investigación realizada (ver sondeo mecánico S-2, apéndice 4.7), los pilotes apoyarán en roca (areniscas y limolitas) con un grado de meteorización G.M.II – III que aparece sobre la cota +26.

Desde esta estructura y hasta el p.k. 1+370 se proyecta un retaluzado horizontal de la margen izquierda de la traza para homogeneizar la geometría del macizo rocoso con el talud de la carretera N-634.

Entre los pp.kk. 1+300 y 1+424, se proyecta un muro por el lado izquierdo de la traza asociado a la ampliación de la ODT (p.k. 1+380). Y por el lado izquierdo, se proyecta un saneo del relleno existente de ente 0.5 y 2m de profundidad para la ampliación de la plataforma proyectada.

A partir del p.k.1+420 y hasta el final del tramo en el p.k. 1+490, la traza discurre en desmonte por la izquierda con una pendiente 1(H):1(V) desarrollado principalmente en depósitos coluviales, con una altura máxima de 5 metros.

Y por la derecha, se proyecta un muro de hormigón aramdo con una altura máxima de 8.50 m coincidiendo con el parking del polígono industrial y sosteniendo los depósitos coluviales arcillosos detectados en el sondeo S-3 ejecutado para el tramo de la Variante de Altzola.

3 TRABAJOS REALIZADOS

3.1 Estaciones Geomecánicas

En dos (2) afloramientos representativos de las formaciones geológicas existentes en la zona, se han establecido sendas estaciones geomecánicas, con el fin de determinar los índices de calidad de la roca según las clasificaciones de Bieniawski (RMR.) y Barton (Q).

3.2 Sondeos Mecánicos

En el presente estudio se ha realizado una campaña de (2) sondeos (S-1 y S-2), con un total de 20 m lineales reconocidos. En el apéndice 4.8 se recoge el registro de cada uno de ellos junto con los resultados de los ensayos de laboratorio realizados. También se adjunta el reportaje fotográfico de las cajas con la recuperación del testigo continuo, y en su caso, las muestras inalteradas así como los testigos parafinados tomados.

En los planos incluidos en los apéndices se define la situación de los sondeos mecánicos realizados.

Los sondeos mecánicos son perforaciones a rotación de pequeño diámetro, generalmente entre 60 y 140mm que permiten reconocer la naturaleza y la localización de las diferentes capas del subsuelo mediante la extracción continua del testigo de suelo o roca, a la vez que se alterna con ensayos geotécnicos de penetración y extracción de muestras inalteradas, en los casos en los que es posible hacerlo.

Las perforaciones se realizan con una sonda de avance hidráulico montada sobre camión, dotada de castillete y bomba de lodos, concretamente se trata del modelo ROLATEC 48L.

El testigo reconocido se aloja en un tubo de testigo hueco o en el interior de otro tubo en cuyo extremo inferior va enroscada una corona de widia o de diamante que va realizando el recorte.

Al extremo superior del tubo va roscado el varillaje, que permite el paso del agua a través de su interior.

Durante la perforación y con objeto de evitar desprendimientos, se procede a la entubación del sondeo con tubería de revestimiento.



Emplazamiento del sondeo S-1 (P.I. Subida Azkarate)

La extracción de muestras inalteradas se ha llevado a cabo mediante un tomamuestras de pared gruesa, bipartido, de 75mm de diámetro y diseñado para que la muestra recuperada se aloje directamente en un tubo de plástico. El tubo se tapa por ambos extremos y de esta forma la muestra llega al laboratorio con todas sus propiedades intactas. En rocas se procede directamente al parafinado de los testigos.

Los sondeos, muestras y ensayos realizados son los siguientes:

TRABAJOS REALIZADOS		
ORIGEN DE LA INFORMACIÓN	SONDEOS	TP
PROYECTO CONSTRUCTIVO 2015	2	8

TABLA 1. Trabajos realizados.

3.3 Ensayos de Laboratorio

Los trabajos de laboratorio realizados en este proyecto pretenden caracterizar el estado, tanto deformacional como composicional, de los diferentes materiales presentes a lo largo de la traza.

Sobre las muestras procedentes de los sondeos se han realizado ensayos mecánicos (compresiones simples en roca).

En los apéndices del presente Anejo se incluyen los resultados de los ensayos de laboratorio realizados en esta fase de Proyecto de Construcción (Ap.4.9).

Cabe destacar que dado el grado de fracturación del macizo rocoso en el sondeo S-2, no se han podido tomar muestras cuyas dimensiones cumplieran para la realización de ensayo de laboratorio.

En la tabla adjunta se resumen los resultados de estos ensayos:

TRAMO	SITUACIÓN	SONDEO	MUESTRA	COTA INICIO	COTA FIN	UTOL	R.C.S. rocas incluido tallado (UNE 22950-1) Mpa	Densidad aparente en roca (gm/cm³)		
P.C. ACCESO POL. ARRIAGA	P.I.GI-2634	S1	TP	2,40	2,70	Aren//Limol	26,22	2,75		
			TP	9,25	9,50	Aren//Limol	35,38	2,77		
Nº DE VALORES						3	3			
VALOR MEDIO						30,8	2,8			
DESVIACIÓN TÍPICA						6,48	0,01			
VALOR MÁXIMO						35,4	2,8			
VALOR MÍNIMO						26,2	2,8			

TABLA 3. Ensayos de laboratorio realizados.

4 CARACTERIZACIÓN GEOTÉCNICA DE LOS MATERIALES

En el siguiente subapartado, se presentan las características geomecánicas de las distintas formaciones. En ellas, se han incluido los resultados de los ensayos de laboratorio realizados.

A efectos de su caracterización geotécnica, los materiales han sido agrupados atendiendo a características homogéneas de los mismos.

En el apéndice 4.1 del presente documento se muestra una planta geológico - geotécnica a escala 1:1.000 (A3) con la distribución en planta de cada formación a lo largo de la traza. En el apéndice 4.7, se incluyen los perfiles geológico - geotécnicos de las estructuras. Estos perfiles se han elaborado a partir de los datos obtenidos en el reconocimiento geológico, corregido con la información obtenida en la campaña de sondeos mecánicos ejecutados en esta fase de Proyecto de Construcción.

4.1 Complejo Supraurgoniano. Flysch negro

Es la unidad de sustrato rocoso presente en este Proyecto Constructivo desde el punto de vista geotécnico. Está formada por una alternancia flyschoide de areniscas y lutitas con predominio de las areniscas, de edad cretácica. Presentan nódulos ferruginosos y es notable la presencia de mica.

Esta unidad rocosa se ha detectado en los dos (2) sondeos mecánicos realizados en las estructuras (S-1 y S-2).

Para la caracterización de las areniscas y limolitas sanas se han llevado a cabo dos (2) ensayos de resistencia a compresión simple, con una RCS media de 30,8 Mpa.

Los resultados de los ensayos realizados para esta unidad se incluyen a continuación:

TRAMO	SITUACIÓN	SONDEO	MUESTRA	COTA INICIO	COTA FIN	UTOL	R.C.S. rocas incluido tallado (UNE 22950-1) Mpa	Densidad aparente en roca (gm/cm³)		
P.C. ACCESO POL. ARRIAGA	P.I.GI-2634	S1	TP	2,40	2,70	Aren//Limol	26,22	2,75		
			TP	9,25	9,50	Aren//Limol	35,38	2,77		
Nº DE VALORES						3	3			
VALOR MEDIO						30,8	2,8			
DESVIACIÓN TÍPICA						6,48	0,01			
VALOR MÁXIMO						35,4	2,8			
VALOR MÍNIMO						26,2	2,8			

TABLA 4. Resultados ensayos del Flysch Negro

4.2 Depósito Coluvial (Q_{COL})

Esta unidad está compuesta por materiales de diferente granulometría, así aparecen desde limos y arcillas de baja a media plasticidad que presentan cantidades variables de arena, ML y CL, según la clasificación de Casagrande; a gravas arcillosas, GC.

Según los trabajos realizados, aparece localizada sobre el sustrato rocoso flyschoide subyacente (C_S).

En el proyecto objeto de estudio, aparece a partir del p.k.1+300 aproximadamente, hasta el final del tramo.

Las calicatas mecánicas realizadas en el Estudio Informativo de la Variante de Altzola aportan información sobre su excavabilidad, que resulta ser fácil; sin presencia de agua y con paredes verticales estables a corto plazo.

A través de los ensayos de laboratorio realizados para el tramo del P.C. Variante de Altzola se obtiene, para esta unidad, una densidad aparente de 2.22 gm/cm³; un ángulo de rozamiento interno medio (\emptyset) de 34.7° y una cohesión(c) de 0.26 kg/cm².

A continuación, se incluye una tabla con los resultados de los ensayos realizados las muestras inalteradas de los sondeos:

TRAMO	SITUACIÓN	SONDEO	MUESTRA	COTA INICIO	COTA FIN	UTOL	OBSERV.	TRIAXIAL (CU) (UNE103402)				EDÓ METRO incluyendo curvas edométricas y de consolidación (mínimo 8 escalones de carga y 3 de descarga) (UNE 103-405)				R.C.S. incluido diagrama, tensión deformación en suelos (muestra inalterada) (UNE 103-400) kPa	Humedad natural (UNE 103-300)	Densidad Aparente (UNE 103-301)	Densidad Seca (UNE 103-301)	Límites de Atterberg (UNE 103-103 y 103-104)			Granulometría por tamizado (UNE 103-101)						Acidez Baumman-Gully de un suelo (EHE anexo 5)	Sulfatos cuantitativos (EHE anexo 5) mg SO ₄ /kg	Casagrande
								c (kN/cm ²)	c' (kN/cm ²)	Ø (°)	Ø' (°)	e ₀	Índice de Compresión y Entumecimiento	Módulo edométrico seco / Módulo de Compresibilidad	LL	LP	IP	63 mm	50 mm	20 mm	5 mm	2 mm	0.40 mm	0.08 mm							
P.C. VARIANTES ALZOIA	BOCA ENTRADA (SUR)	S3	MI	3,00	3,60	Qcol									21,4		24,1	17,9	6,2	100	100	95,2	88,1	85,2	80,3	59,8	24		CLML		
			MI	6,00	6,60	Qcol									141	16,4	2224	1,911	31	20,2	10,8	100	100	89,1	71,4	57,3	51,9	44,5	180	59	GC
			MI	9,00	9,60	Qcol		0,33	0,06	34,39	36,18					16,2			29,6	20,3	9,3	100	100	88,6	74,9	69	60,8	47,8			SC
			MI	12,60	13,20	Qcol						0,53	0,11 / 0,02	6,65 / 0,0041		13,2			27,3	19,9	7,4	100	100	94,9	83,8	75	60,5	45,4	40		CL
	BOCA SALIDA (NORTE)	S5	MI	3,00	3,60	Qcol		0,18	0,09	35,07	36,49					19,6			29,8	21,8	8	100	100	93,9	89,1	87,3	82,7	55,2	232		CL

Nº DE VALORES	2	2	2	2	1			1	5	1	1	5	5	5	5	5	5	5	5	5	5	5	5	4	1	
VALOR MEDIO	0,26	0,08	34,7	36,3	0,5			141,0	17,4	2,2	1,9	28,4	8,3	100,0	92,3	81,5	74,8	67,2	50,5	119,0					59,0	
DESVIACIÓN TÍPICA	0,11	0,02	0,48	0,22					3,20			2,73	1,40	1,77	0,00	0,00	3,23	7,94	12,29	13,53	6,67	102,89				
VALOR MÁXIMO	0,3	0,1	35,1	36,5	0,5			141,0	21,4	2,2	1,9	31,0	21,8	10,8	100,0	100,0	95,2	88,1	87,3	82,7	59,8	232,0				59,0
VALOR MÍNIMO	0,2	0,1	34,4	36,2	0,5			141,0	13,2	2,2	1,9	24,1	17,9	6,2	100,0	100,0	88,6	71,4	57,3	51,9	44,5	24,0				59,0

TABLA 5. Resultados de los ensayos en la unidad QCOL.

5 DESMONTES

En el tramo objeto de estudio se han proyectado dos (2) desmontes principales: uno entre los pp.1+020 y 1+110, a la salida del túnel de Karkizano con una altura máxima de 11.45 metros; y otro con una longitud total de 60 metros y una altura máxima de 5 metros, al final del tramo entre los pp.1+420 – 1+480.

En el siguiente cuadro, se incluye una tramificación de los desmontes proyectados en este tramo:

pk inicio	pk final	Pendiente	Altura máxima (m)
1+ 020	1+ 110	1H/2V	11,5
1+ 150	1+ 190	1H/1V	1,5
1+ 300	1+ 360	Retaluzado horizontal por la izda	
1+ 420	1+ 480	1H/1V	5

En los apartados que se desarrollan a continuación se presentan los aspectos generales del diseño y el cálculo de los taludes y un estudio particularizado de los dos desmontes más importantes, teniendo en cuenta los datos geológicos y geotécnicos que ha proporcionado la investigación realizada.

5.1 Desmonte 1+020 – 1+110

Corresponde al talud derecho a la salida del túnel de Karkizano, con 124 metros de longitud aproximada. Este talud se desarrolla en su totalidad en el macizo rocoso representado por areniscas y limolitas del Flysch Negro.

Los datos utilizados para la ejecución de las recomendaciones de este desmonte son los siguientes:

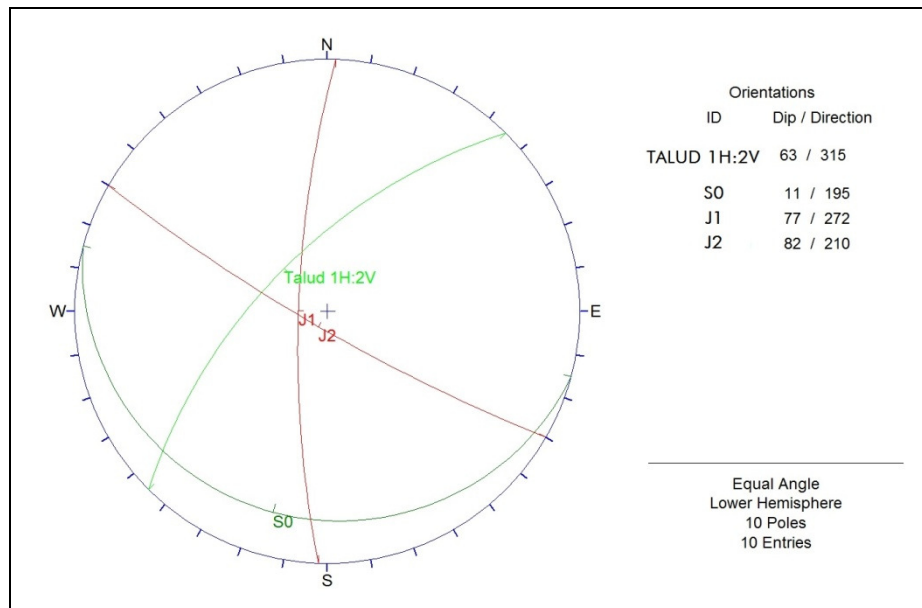
- S-1 (campaña Proyecto de Construcción)
- E.G. 14 y E.G. 15.

5.1.1 Parámetros de cálculo y hipótesis adoptados.

La altura máxima para este desmonte es de 11,45 m, teniendo en cuenta una pendiente 1(H):2(V).

Las familias de discontinuidades más cercanas al talud estudiado son las siguientes:

Desmonte	Estaciones Geomecánicas	Familias
1+ 000 - 1+ 124	E.G. 14 y EG. 15	S ₀ : 11/195 J ₁ : 77/272 J ₂ : 82/210



A la vista de la representación estereográfica de las familias de discontinuidades, no se generan cuñas en el desmonte estudiado.

5.2 Desmonte 1+420 – 1+490

Corresponde al talud izquierdo al final del tramo proyectado, con 60 metros de longitud aproximada y 5 metros de altura. Este talud se desarrolla en su totalidad en suelos representados por depósitos coluviales compuestos por arcillas limosas con cantos angulosos.

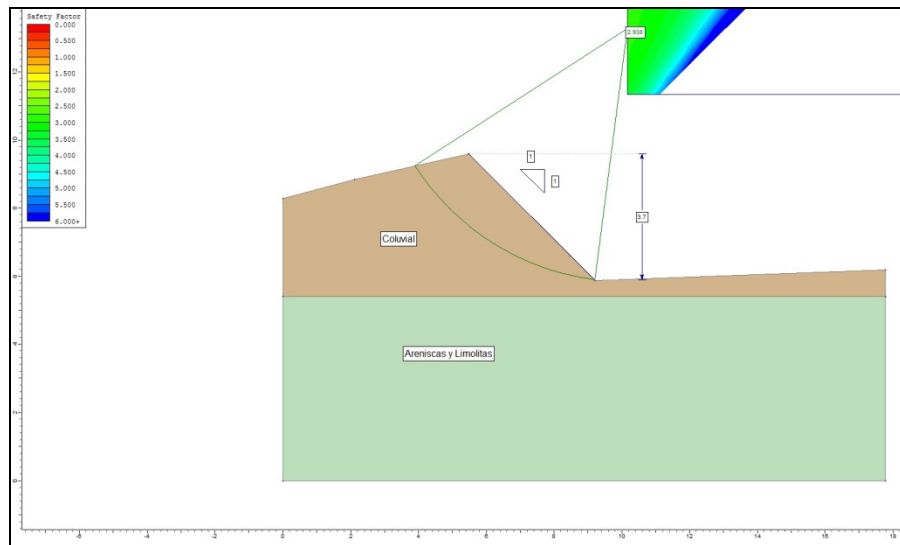
Los datos utilizados para la ejecución de las recomendaciones de este desmonte son los siguientes:

- S-3 (campaña Proyecto de Construcción del Túnel de Alzola).

5.2.1 Parámetros de cálculo y hipótesis adoptados.

La altura máxima para este desmonte es de casi 5 m, teniendo en cuenta una pendiente 1(H):1(V).

	SUELO COLUVIAL	ARENISCAS y LIMOLITAS
Densidad [kN/m ³]	22	26
Cohesión [kPa]	10	20
Angulo de fricción [°]	25	30



El resultado del cálculo del factor de seguridad es de 2.9, por lo que se considera aceptable desde el punto de vista geotécnico.

6 RELLENOS

En el tramo objeto de estudio se han proyectado dos rellenos, el mayor de ellos presenta una longitud total de 80 metros, entre los pp.kk. 1+200 al 1+280, y con una altura máxima de 6 metros.

A continuación, se incluye un cuadro resumen de los rellenos proyectados:

pk inicio	pk final	Altura máxima (m)
1+ 200	1+ 280	6
1+ 370	1+ 420	1,15

Los apartados que se desarrollan a continuación presentan un estudio particularizado del relleno citado teniendo en cuenta los datos geológicos y geotécnicos que ha proporcionado las investigaciones realizadas.

En el estudio de cada relleno del tramo objeto de estudio se menciona la investigación realizada, una descripción litológica de los materiales que servirán de apoyo con la correspondiente clasificación del material de soporte, características geotécnicas de los materiales de apoyo y de los materiales que formarán parte del relleno, un análisis de estabilidad de los taludes adoptados, recomendaciones sobre su proceso constructivo y un estudio de la deformabilidad del cimiento y del propio relleno.

6.1 Relleno 1+200 – 1+280

Descripción y dimensiones

Se trata de un relleno de 80 m de longitud situado entre el p.1+200 y el p.1+280 con altura máxima en el eje de 6m.

Investigación utilizada

- S-2 del Proyecto de Construcción.

Características del terreno de apoyo

El terreno de apoyo del presente relleno se corresponde con las areniscas y limolitas el Complejo Supraurgoniano (Flysch Negro).

Características de los materiales

Los materiales a emplear en la formación de la explanada se consideran una calidad QS2 en los casos en los que se apoye sobre relleno del ferrocarril existente.

Para la plataforma en los tramos en los que se amplía el terraplén, la coronación del mismo tendrá un espesor de 0,5 m de material seleccionado que cumpla un porcentaje de finos de entre 5 – 15% (QS2), que serán suministrados de cantera.

Este procedimiento se tendrá en cuenta con carácter general para todos los terraplenes del tramo estudiado.

Capa de forma

Para la capa de forma se utilizarán los materiales procedentes de cantera.

Los espesores de capa de forma son de 30 y 55 cm en materiales QS2 y QS1, respectivamente.

Análisis de estabilidad

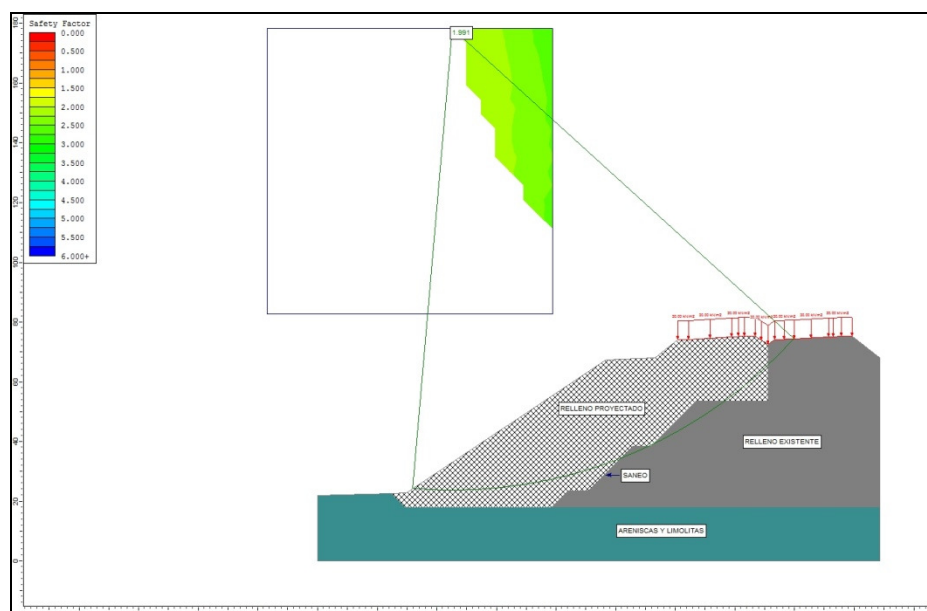
La Norma Sismorresistente NCSE-02 (Real Decreto 997/2002 de 27 de septiembre de 2002), indica en su artículo 1.2.3: "si la aceleración sísmica básica (a_b) es igual o mayor que 0,04g deberán tenerse en cuenta los posibles efectos del sismo en terrenos potencialmente inestables".

El término de Altzola se encuentran en zona de baja sismicidad, de tal manera que la aceleración sísmica básica es menor que 0,04g y no será necesario tener en cuenta su efecto en los cálculos de estabilidad.

En los materiales tipo suelo es habitual y adecuado utilizar métodos de cálculo basados en la teoría del equilibrio límite. Para la comprobación de las secciones finalmente propuestas, se ha hecho uso del programa Slide 5.0. Este programa aplica los métodos habituales de rebanadas en dos dimensiones, basados en la teoría del equilibrio límite. En este caso se ha empleado el método de Bishop.

En principio, los rellenos que está previsto construir se encontrarán secos.

Se han realizado los cálculos de estabilidad cuyo resultado obtenido se adjunta a continuación:



Tal y como puede comprobarse, el coeficiente de seguridad obtenido es de 1.9 con lo que se considera que la estabilidad de taludes en relleno está garantizada para los taludes y alturas de relleno considerados.

Análisis de deformabilidad y asientos

Los materiales que serán utilizados en la formación de núcleo de terraplén reúnen una serie de condiciones y serán puestos en obra de modo que se puede afirmar que la práctica totalidad de los asientos del cuerpo del terraplén se producirán durante la construcción, siendo previsible que el asiento postconstructivo del cuerpo del terraplén ronde el 0,2% de la altura del mismo.

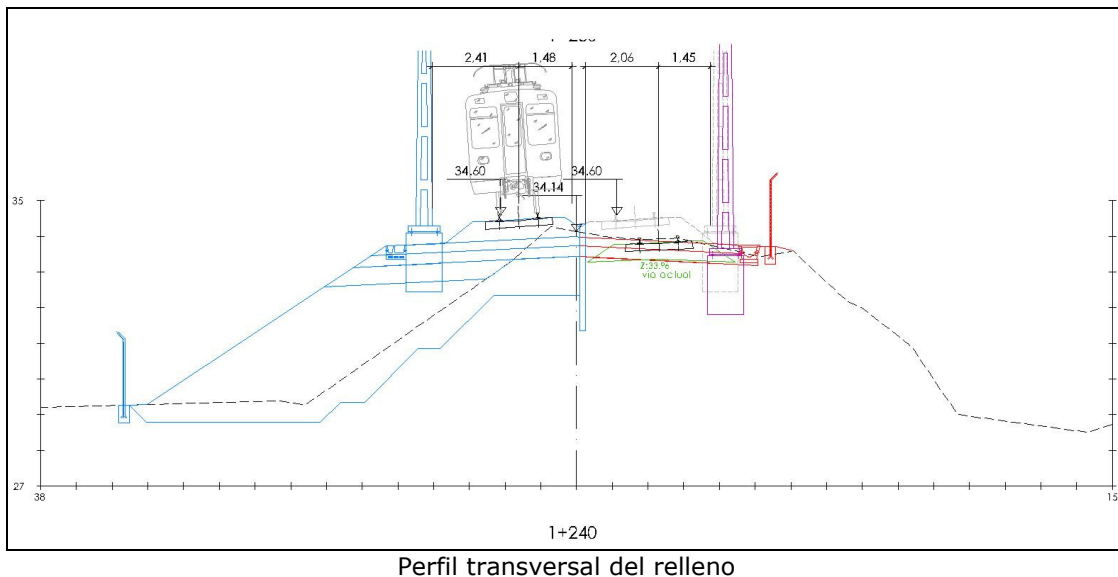
En lo que respecta al terreno que sirve de apoyo a dichos rellenos se prevé que los asientos se manifiesten durante un periodo amplio dada la naturaleza del cimiento.

Tratamiento y preparación del cimiento

Las consecuencias de la preparación y el tratamiento de la cimentación pueden ser más importantes que las derivadas de la propia obra de terraplenado, sobre todo en las zonas con espesores de terrenos poco competentes o en zonas mal drenadas, así como en zonas puntuales con fuerte pendiente. En consecuencia, debe prestarse una especial atención a la ejecución del cimiento.

Se deberán contemplar los siguientes criterios con carácter general:

- Se procederá al saneo del terraplén actual en el margen de ampliación de la futura plataforma, en este caso, el margen izquierdo. De esta manera se generará un saneo de 0.5 metros, y se procederá a la sustitución del material existente por material de relleno tipo terraplén, por medio de bancadas con taludes de pendiente no superior al 1(H):1(V). Tal y como se observa en la siguiente figura:



7 EXPLANADA

Sus principales funciones son: servir de estructura de apoyo, soportar esfuerzos estáticos y dinámicos de trenes y vía, evitar las deformaciones de la vía y finalmente drenar y evacuar las aguas por sus efectos nocivos.

Para determinar la plataforma adecuada en una línea, será necesario conocer la calidad del suelo, la categoría de la línea que se quiere construir (velocidad y tráfico) y la capacidad portante que se

necesita. La capacidad portante de una plataforma depende de la calidad del suelo y de la calidad y espesor de la capa de asiento.

CLASIFICACIÓN DE LOS SUELOS SEGÚN LA FICHA UIC 719 R:

CLASIFICACIÓN DE LOS SUELOS (Clasificación geotécnica)	Clase de la calidad de los suelos
0-1 Suelos sueltos con contenido orgánico. 0-2 Suelos finos [porcentaje de finos superior al 15 %](1) muy húmedos y por tanto no compactables (debido a que su "secado" con tratamientos ligantes no es factible por razones técnicas y/o económicas). 0-3 Suelos tixotrópicos (2) (por ejemplo arcillas expansivas). 0-4 Materiales solubles (como pueden ser los suelos que contengan sal gema o yeso). 0-5 Materiales contaminantes (por ejemplo, los desechos industriales contaminantes). 0-6 Suelos mixtos "minerales-orgánicos" (2).	Q S0
1-1 Suelos que contengan más del 40 % de finos. 1-2 Rocas muy evolutivas. Por ejemplo: - Cretas de densidad < 1,7 t/m ³ y muy friables. - Margas - Esquistos alterados	Q S1
1-3 Suelos que contengan de un 15 a un 40 % de finos (1) 1-4 Rocas evolutivas Por ejemplo: - Cretas de densidad < 1,7 t/m ³ y muy friables. - Esquistos no alterados 1-5 Rocas blandas Por ejemplo si Deval seco < 6 y Los Ángeles > 33	Q S1 (3)
2-1 Suelos con un contenido de un 5 a un 15 % de finos (1). 2-2 Arenas uniformes con un contenido inferior al 5 % en finos. 2-3 Rocas medianamente duras< > Por ejemplo si 6 < Deval seco < 9 y 33 ≥ Los Ángeles ≥	Q S2 (4)
3-1 Suelos con un contenido inferior al 5 % de finos (1). 3-2 Rocas duras Por ejemplo si Deval seco ≥ 9 Los Ángeles ≤ 30	Q S3

A continuación, se incluye un cuadro con la tramificación de la calidad de la explanada a lo largo del tramo estudiado:

pk inicio	pk final	Obra Proyectada	Calidad de la Explanada
1+ 000	1+ 124	Ampliación de plataforma en margen derecha mediante desmonte en roca.	QS3
1+ 142,5	1+ 198	Cajeo para ampliación de plataforma en ambas márgenes.	QS2
1+ 198	1+ 270	Ampliación de plataforma con ampliación de terraplén en margen izquierda.	QS2
1+ 288	1+ 369	Ampliación de plataforma mediante cajeo/desmonte en margen izquierda.	QS2
1+ 369	1+ 420	Ampliación de plataforma sobre ampliación de terraplén en margen izquierda coincidente con conexión provisional.	QS2
1+ 420	1+ 490	Ampliación de plataforma para conexión provisional mediante desmonte en margen izquierda.	QS2

Se considera una calidad QS2 para la plataforma en los tramos en los que se amplía el terraplén existente con un espesor de material de 0,5 m en coronación de terraplén. Se exceptúa el tramo inicial de desmonte en roca, donde el fondo de apoyo de la plataforma sería QS3.

La explanada estará formada por materiales procedentes de cantera que cumplan las condiciones para alcanzar las calidades de explanada mencionadas en cada tramo.

8 APOYO DEL CIMENTO DEL RELLENO / DESMONTE

A la vista de las conclusiones obtenidas a partir del reconocimiento de campo, y de los resultados de las investigaciones efectuadas, consistente en una campaña de calicatas y de sondeos de reconocimiento geotécnico, así como de los resultados de los ensayos de laboratorio, se han definido las explanadas existentes en el fondo de excavación de los desmontes y del apoyo del cimiento de los terraplenes proyectados.

La tramificación del corredor se incluye en el siguiente cuadro:

pk inicio	pk final	Litología del apoyo del relleno / desmonte	Calidad del apoyo
1+ 000	1+ 300	Areniscas y limolitas (Flysch negro)	QS3
1+ 300	1+ 490	Depósito Coluvial con > 40% finos	QS1

9 ESTRUCTURAS

9.1 Introducción

En este apartado se analizan las principales características de la cimentación de las diferentes estructuras presentes en el tramo y particularmente las cotas de cimentación, las cargas admisibles y los asientos esperables para cada una de ellas.

9.2 Metodología de estudio

A partir de la caracterización geotécnica del terreno de cimiento de las estructuras proyectadas, se ha elaborado un apartado para cada una de ellas, en el que se incluye el terreno de apoyo, la tipología de la misma, y las condiciones de cimentación; tensión máxima (para asientos admisibles), en el caso de cimentaciones directas; así como observaciones relativas a los aspectos constructivos de las mismas o alternativas a la cimentación recomendada.

Se incluye un perfil geológico-geotécnico para cada una de las estructuras diseñadas (Ap.4.7). Los cálculos realizados para las recomendaciones de cimentación en cada una de las estructuras se incluyen en el apéndice Ap.4.10.

A la hora de evaluar los valores resistentes del terreno a considerar en el cálculo de las cimentaciones y la magnitud del asiento máximo previsible, se han seguido los criterios generales que se exponen a continuación, realizándose las oportunas variaciones puntuales en cada caso particular cuando ha sido necesario:

9.2.1 Cimentación Superficial en roca

Todas las cimentaciones diseñadas en este proyecto se realizarán en roca. La Guía de Cimentaciones para obras en Carretera facilita el siguiente método para el cálculo de la tensión admisible.

$$p_{v\text{ adm}} = p_0 \cdot \alpha_1 \cdot \alpha_2 \cdot \alpha_3 \cdot \sqrt{\frac{q_u}{p_0}}$$

- p_0 : presión de referencia que debe tomarse igual 1 Mpa
- q_u : resistencia a compresión simple de la matriz rocosa
- $\alpha_1, \alpha_2, \alpha_3$: parámetros adimensionales que dependen del tipo de roca, de su grado de alteración y del espaciamiento entre las litoclasas.

En el caso de cimentaciones, en laderas, o próximas a taludes es necesario tener en cuenta la estructura del macizo rocoso, considerando la posibilidad de formación de cuñas o deslizamientos planares.

9.2.2 Cimentación Profunda en roca

Dado que es necesario mantener la circulación ferroviaria durante la ejecución de la estructura p.k. 1+280 (P.I. Acceso al Polígono Industrial Arriaga), se propone un proceso de construcción mediante pantallas de pilotes que permitan soportar la plataforma actual.

Asimismo, se incluye una pantalla de pilotes en el tramo final, próximo a la entrada del túnel de Altzola entre los p.p.k.k. 1+434 – 1+490.

La Guía de Cimentaciones para obras de Carreteras facilita un método para el cálculo de la presión admisible en pilotes empotrados en roca basado en la presión admisible en una cimentación superficial ($p_{v\text{ adm}}$) anteriormente señalada.

La resistencia unitaria por punta en roca de los pilotes excavados en roca será

$$q_p = 2 \cdot p_{v \text{ adm}}$$

El valor de la tensión admisible para cimentación superficial en roca, se obtiene según la expresión siguiente:

$$p_{v \text{ adm}} = p_0 \times \alpha_1 \times \alpha_2 \times \alpha_3 \times (q_u / p_0)^{1/2}$$

donde:

- $p_{v \text{ adm}}$: Presión admisible
- p_0 : presión de referencia ($p_0 = 1 \text{ MPa}$)
- q_u : Resistencia a compresión simple de la roca sana.
- $\alpha_1, \alpha_2, \alpha_3$: Parámetros adimensionales que dependen del tipo de roca, grado de meteorización y grado de fracturación respectivamente, según se indica a continuación:

Influencia del tipo de roca α_1

Según las recomendaciones citadas, existen rocas cuya estructura es más proclive a contener planos de debilidad no detectados en los sondeos ni en los ensayos de compresión simple.

Atendiendo a este aspecto, las rocas pueden clasificarse en varios grupos, partiendo de un primer grupo en el que no se temen fracturas ni grietas no detectables por los reconocimientos y terminando en un cuarto grupo en el que el tipo de formación rocosa es proclive a contener otros planos de debilidad a parte de los detectables con los trabajos de censos de litoclasas o con los ensayos de compresión simple realizados en laboratorio a pequeña escala.

Influencia del grado de meteorización α_2

El valor de este parámetro se toma de la tabla aportada por las citadas recomendaciones, con los siguientes valores:

- Grado meteor I (Roca sana o fresca): $\alpha_2 = 1,0$
- Grado meteor II (Roca ligeramente meteorizada): $\alpha_2 = 0,7$
- Grado meteor III (Roca moderadamente meteorizada): $\alpha_2 = 0,5$
- Para grados de meteorización superiores deberá realizarse el cálculo como un suelo.

Influencia del espaciamiento entre litoclasas α_3

El espaciamiento entre litoclasas se caracteriza mediante dos métodos:

- Censo de litoclasas en afloramientos próximos a la zona de cimentación.
- Mediante el valor del RQD en los sondeos realizados

De esta forma el valor del parámetro α_3 será el mínimo de los obtenidos mediante las fórmulas:

$$\alpha_{3a} = (s / 1m)^{1/2}$$

$$\alpha_{3b} = (RQD/100)^{1/2}$$

Donde:

- S: Espaciamiento entre las litoclasas expresado en metros. (familia de litoclasas de mayor densidad)
- 1m: Valor que se utiliza para hacer adimensional la expresión correspondiente.
- RQD: Valor del parámetro "Rock Quality Designation" expresado en tanto por ciento.

9.2.3 Asientos previsibles en la cimentación

Dado que la cimentación apoyará directamente sobre el sustrato rocoso, caben esperar asientos de escasa entidad o nulos.

9.3 Puentes

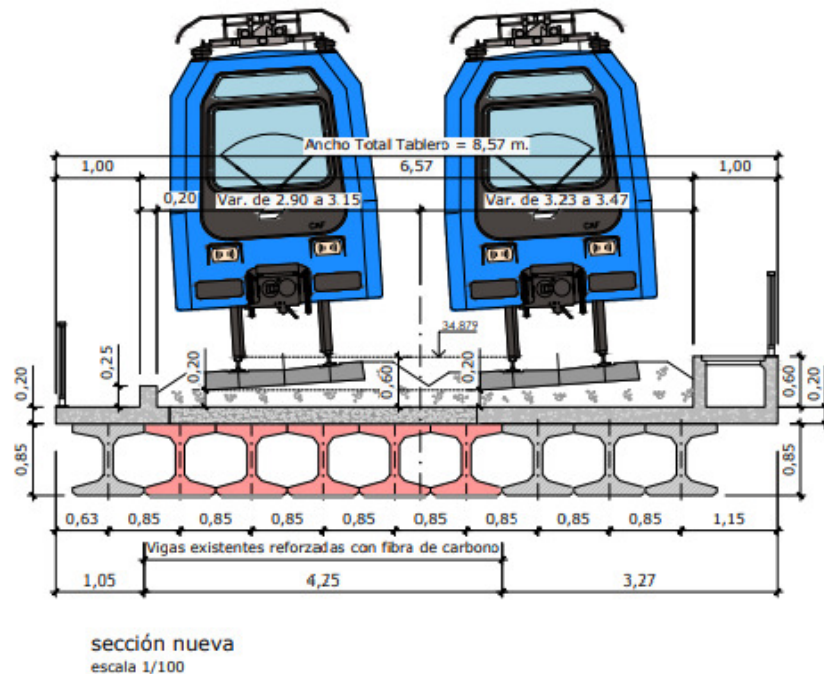
El Proyecto de Construcción del Acceso al Polígono Arriaga consta de dos (2) estructuras que salvan la carretera GI-2634 y la carretera de acceso al propio Polígono Arriaga.

La estructuras proyectadas apoyan sobre la alternancia de areniscas y limolitas de la unidad litológica Cs (Complejo Supraurgoniano).

9.3.1 Puente Carretera GI-2634_1+130

El puente ferroviario existente sobre la GI-2634 justo antes de la rotonda de la N-634, en torno al PK 1+130 del trazado del presente proyecto, deberá ser ampliado para permitir el paso de vía desdoblada sobre él.

El tablero actual está compuesto por 5 vigas prefabricadas del tipo H-85E y losa de compresión de 0,20 m, resultando un canto total de la estructura de 1,05 m. Para materializar la ampliación será necesario disponer 3 nuevas vigas en la margen derecha (bajo la nueva vía desdoblada) y una por el lado izquierdo, así como reforzar a flexión las 5 vigas existentes con refuerzos de fibra de carbono. La anchura del nuevo tablero será por tanto de 8,57 m



La anchura del nuevo tablero será de 8,37 m

Los estribos a priori pueden mantenerse, ya que cuentan con la longitud suficiente como para servir de apoyo al nuevo tablero ampliado, por tanto la luz de cálculo del paso sigue siendo de 17,70 m. Si bien, es necesario disponer unas aletas en vuelta para la contención de los nuevos terraplenes, que con su geometría a su vez permitan dar continuidad a la "caja" de conducciones que se alojan en la margen derecha de la estructura.

9.3.1.1 Investigación realizada

Para el análisis de esta estructura se ha utilizado la información recopilada en los siguientes trabajos de campo:

- S-1.

9.3.1.2 Características geológicas e hidrogeológicas

Los estribos apoyan sobre el sustrato rocoso cretácico compuesto por una alternancia de areniscas y limolitas del Complejo Supraurgoniano (C_S), ya que según se desprende del sondeo mecánico realizado (S-1) la roca sana (G.M.II) aparece a la cota +27,40.

Desde el punto de vista hidrogeológico no se ha detectado nivel de agua freática. Los niveles de agua detectados con posterioridad a la ejecución de la campaña se corresponden con los restos del agua de perforación.

9.3.1.3 Características geotécnicas de suelos y rocas

Los estribos del viaducto apoyarán sobre las limolitas del Complejo Supraurgoniano.

Los datos obtenidos en el sondeo mecánico y en los ensayos realizados sobre muestras recogidas en éste, reflejan los siguientes datos:

- RQD= 80 - 100%
- RCS_{medio} = 30,8 MPa
- Grado de meteorización = M(II)

9.3.1.4 Recomendaciones de diseño de las cimentaciones

UNIDAD	APO YOS	Presión Admisible Unitaria (Superficial) Mpa
Areniscas y Limolitas (C_S)	Estribo Drcho e Izdo	2,331

TABLA 9. Carga admisible

A continuación, se incluye una tabla con las cotas de roca localizadas en el sondeo mecánico realizado:

ESTRUCTURA	SONDEO	COTA ROCA SANA (G.M.II)
P.I. GI-2634	S-1	27,4

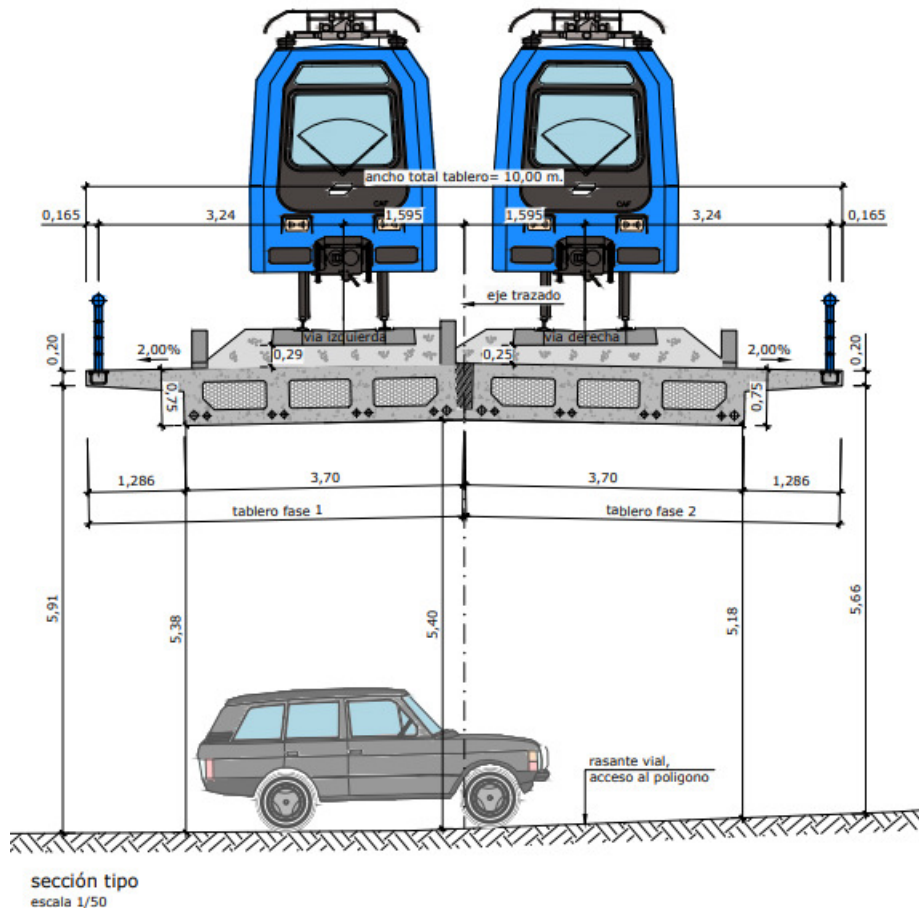
TABLA 10. Cota de roca detectada.

9.3.2 Puente Acceso Polígono Arriaga_1+280

Se proyecta un nuevo puente para el acceso al Polígono de Arriaga. Contará con un tablero apoyado en estribos pilotados, mediante elementos prefabricados tipo tecla, para conceder mayor gálibo de paso bajo la vía, dados los requerimientos de las circulaciones existentes.

La estructura contará con una anchura de tablero de 10,00 m de anchura, ejecutado en 2 fases con objeto de garantizar las circulaciones ferroviarias de la línea.

La cimentación se realizará mediante pilotes de 0,80 m de diámetro, empotrados en el sustrato rocoso, tal como se ha confirmado en las investigaciones realizadas.



9.3.2.1 Investigación realizada

Para el análisis de esta estructura se ha utilizado la información recopilada en los siguientes trabajos de campo:

- S-2.

9.3.2.2 Características geológicas e hidrogeológicas

Los estribos apoyan sobre el sustrato rocoso cretácico compuesto por una alternancia de areniscas y limolitas del Complejo Supraurgoniano (C_S), ya que según se desprende del sondeo mecánico realizado (S-1) la roca sana (G.M.II) aparece a la cota +26,00.

Desde el punto de vista hidrogeológico no se ha detectado nivel de agua freática. Los niveles de agua detectados con posterioridad a la ejecución de la campaña se corresponden con los restos del agua de perforación.

9.3.2.3 Características geotécnicas de suelos y rocas

Los estribos del viaducto apoyarán sobre las limolitas del Complejo Supraurgoniano.

Los datos obtenidos en el sondeo mecánico y en los ensayos realizados sobre muestras recogidas en éste, reflejan los siguientes datos:

- RQD = 0 - 20%
- RCS_{medio} = 30,8 MPa

- Grado de meteorización = M(III)

9.3.2.4 Recomendaciones de diseño de las cimentaciones

Dado que es necesario mantener la circulación ferroviaria durante la ejecución de esta estructura, se plantea un proceso de construcción mediante pantallas de pilotes que permitan soportar la plataforma actual.

Las cimentaciones de ambos estribos podrán ejecutarse mediante cimentación profunda sobre roca sana, una vez eliminada la capa más superficial de rellenos antropogénicos existentes.

UNIDAD	APO YOS	Presión Admisible Unitaria (Profunda) Mpa	
		q_p	τ_f
Areniscas y Limolitas (C_s)	Estribo Drcho e Izdo	2,355	0,24

TABLA 11. Carga admisible.

A continuación, se incluye una tabla con las cotas de roca localizadas en el sondeo mecánico realizado:

ESTRUCTURA	SONDEO	COTA ROCA (G.M.III)
P.I. Pol. Ind. Arriaga	S2	26

TABLA 12. Cota de roca detectada.

9.4 Pasarelas bidegorri

Se ejecutan sendas pasarelas para el bidegorri, adyacentes a los puentes descritos, en el PK 1+130 y en el PK 1+280.

9.4.1 Pasarela 1+130

La pasarela se realiza mediante 2 vigas de hormigón prefabricado RPT-65/70 de 70 cm de canto y con retenidas laterales, sobre las que se coloca una placa de encofrado de hormigón prefabricado de 5 cm y se hormigona una losa de 20 cm de espesor (25 cm en total). Sobre la losa se coloca el pavimento de 3 cm, el vallado lateral, y una separación con el puente ferroviario formado por un murete de hormigón de 1 m y una valla de 2 m. La anchura total del tablero es de 3,60 m.

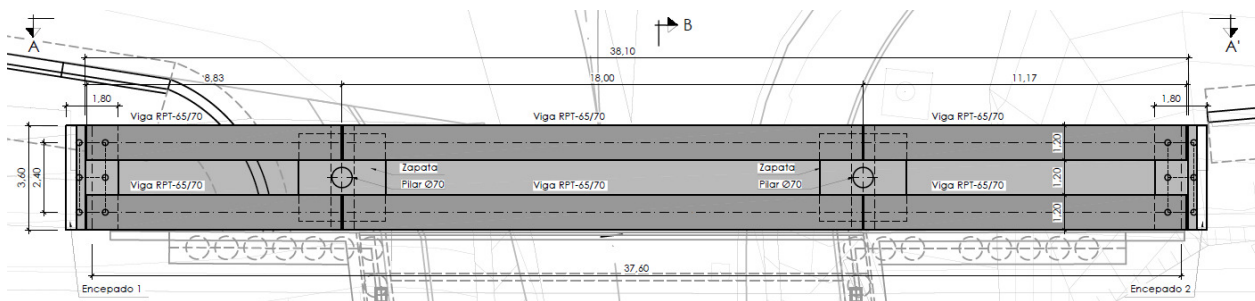
Para su cimentación se propone continuar los taludes de tierras del trazado del bidegorri hasta los estribos existentes, y ejecutar la pasarela hasta dichos estribos. Será necesaria una nueva aleta en cada lado para contener el derrame de tierras en los últimos 5 m.

Por todo ello se prevé su apoyo mediante una cimentación con micropilotes que sirva a su vez para el apoyo de las nuevas aletas del bidegorri y del muro guardabalasto frontal. El apoyo en el encepado se realiza mediante una ménsula de hormigón armado.

9.4.2 Pasarela 1+280

Se ejecuta una nueva pasarela adyacente al nuevo puente ferroviario PK 1+280 sobre el acceso al polígono Arriaga, para permitir el paso del nuevo bidegorri sobre el vial.

Como se ha comentado en el apartado correspondiente, el nuevo paso de ferrocarril se realiza mediante estribos y aletas con muros de pilotes in situ, y tablero aligerado de hormigón pretensado in situ con armaduras postesas. Para el paso del bidegorri se propone mantener los taludes de tierras previstos en los laterales de las nuevas aletas del paso de ferrocarril, evitando así reducir las áreas proyectadas como nuevas aceras y viales, y la visibilidad a través del paso, y realizar una pasarela de 3 vanos apoyada en estribos laterales en cabeza de taludes y en 2 nuevas pilas circulares de hormigón armado.



La cimentación de los estribos se realiza mediante micropilotes empotrados en el sustrato rocoso fracturado GM IV. Los micropilotes son de diámetro 200 mm, $f_{ck}=30$ N/mm², y armadura tubular 114,3x9 TM-80. Sobre los estribos se ejecutan asimismo los muros guardabalastos para la contención de tierras.

Las dos pilas centrales son de sección circular de hormigón armado de diámetro 70 cm En su parte superior se ejecutan vigas cargadero de hormigón armado para el apoyo de las vigas prefabricadas.

Ambas pilas se mediante zapatas sobre el sustrato rocoso fracturado GM IV, con una tensión admisible de 0,30 MPa, y con ayuda de pequeños pozos de cimentación. Será necesario revisar la posición de la red de gas existente y desviarla en su caso para permitir la ejecución de la cimentación.

10 PROCEDENCIA DE LOS MATERIALES

10.1 Canteras

En el presente proyecto, los condicionantes ambientales determinados en la declaración DIA hacen que el aporte exterior de materiales se limite a canteras en explotación, con documentación autorizada por organismos medioambientales.

Al no contemplarse préstamos, el suministro de materiales granulares deberá preverse desde estas canteras. Los niveles de los rellenos que requieren de una mayor calidad, tendrán que ejecutarse por materiales aportados de canteras (balasto, zahorras, escolleras, materiales filtrantes, etc).

Para el presente estudio de procedencias de materiales de aporte, se ha actualizado la información de estudios previos realizados, incluso ampliándose con documentación procedente de otros puntos de actividad extractiva.

Se contempla la información de la Cantera Aizkoltxia, en Elgoibar. Además, se incluye la Cantera de Ofitas de Urretxu.

Se considera que la cantera de Aizkoltxia (designada como cantera 1) Es la más idónea para el aporte de roca caliza a utilizar en terraplenes de plataforma ferroviaria y como árido para hormigón, por su reducida distancia al trazado y reservas existentes. Otro aspecto favorable es que esta cantera suministra árido a la planta de hormigón de Aizko, emplazada a 1 km al inicio del trazado.

Respecto al material ofítico, necesario para balasto, se ha seleccionado la cantera Larregi (cantera 2) en Urretxu, alejada del trazado unos 26km.

Cantera 1. Cantera Cantera Aizkoltxia, S.A.

A 1km del trazado estudiado, se explotan calizas masivas del Cretácico inferior, concretamente Aptiense. Cantera con aporte de árido para construcción de terraplenes y hormigones.

Cantera 2. Cantera Larregi (Urretxu)

A 26 km de la zona de estudio, se explotan niveles ofíticos intruidos en niveles detrítico-carbonatados del cretácico superior. La empresa explotadora es OFITAS DE URRETXU, S.A., empresa con Certificado de Control de Producción en Fábrica.

10.2 Plantas de Hormigón

Se incluyen a continuación las plantas de hormigón más cercanas al trazado.

HORMIGONES AIZKO:

Distancia al trazado: 500 metros.

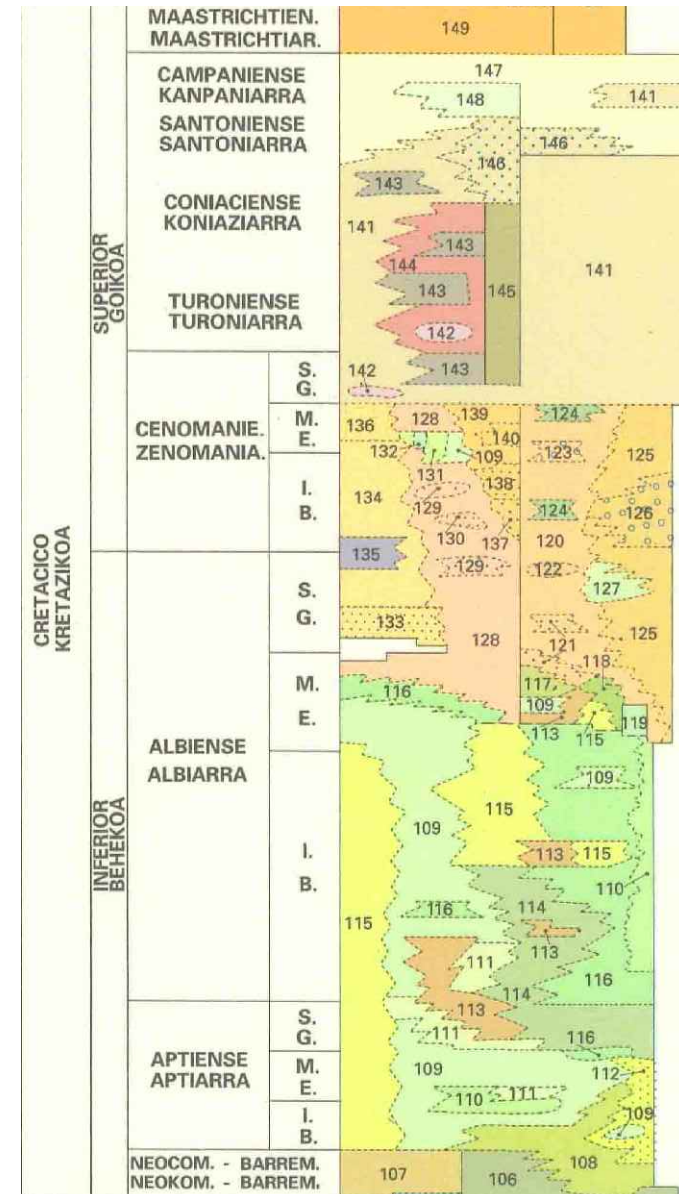
Arriaga Kalea, 0

20870 Elgoibar

Teléfono de Contacto: 943.741.420

Encargado de la Planta: Carlos.

APÉNDICE nº 4.1: PLANTA GEOLÓGICA 1/100.000



- 149 Margocalizas y margas grises
Margakarrriak eta marga grisak
148 Margas negras (Margas de Garai)
Marga beltzak (Garaiko marga)
147 Alternancia de margas y calizas arenosas (Flysch detritico-calcáreo)
Marga eta karri hareaetsuen txandaketa (Flysch detritico-karetsua)
146 Alternancia de calizas arenosas y margas (Flysch detritico-calcáreo)
Karri hareaetsu eta margen txandaketa (Flysch detritico-karetsua)
145 Rocas volcánicas y volcanosedimentarias indiferenciadas
Zehazgabeko harri bolkanikoak eta bolkanosedimentarioak
144 Rocas volcanoclasticas, brechas volcánicas
Harri bolkanoklastikoak, bolkan-bretxak
143 Coladas volcánicas masivas, semimisivas, "pillows"
Bolkan-kolada masiboak, erdimasiboak, "pillowak"
142 Sills básicos
Sill basikoaak
141 Alternancia de margas y margocalizas (Flysch calcáreo)
Marga eta margakarrrien txandaketa (Flysch karetsua)
140 Lutitas negras con septarias y nódulos muy abundantes
Lutita beltzak, septaria eta nódulo ugariekin
139 Lutitas calcáreas grises (Fm. Zufia)
Lutita karetsu grisak (Zufia formazioa)
138 Alternancia de areniscas y lutitas
Hareaari eta lutiten txandaketa
137 Areniscas silíceas
Hareaari silizesuak
136 Alternancia de lutitas y margocalizas
Lutita eta margakarrrien txandaketa
135 Rocas volcánicas
Harri bolkanikoak
134 Alternancia de lutitas y areniscas
Lutita eta hareaarien txandaketa
133 Alternancia de areniscas y lutitas
Hareaari eta lutiten txandaketa
132 Olistolitos calizos
Karriko olistolitoak
131 Megabrecha, Calizas brechoides, margas y limolitas calcáreas
Megabretxa, Karri bretxanzekoak, margak eta limolita karetsuak
130 Alternancia de areniscas y lutitas
Hareaari eta lutiten txandaketa
129 Areniscas
Hareaariak
128 Alternancia de lutitas y areniscas
Lutita eta hareaarien txandaketa
127 Calizas bioclasticas
Karri bioklastikoak
126 Conglomerados y microconglomerados silíceos
Konglomeratu eta mikrokonglomeratu silizesuak
125 Areniscas silíceas y grauvacas. Pasadas de lutitas
Hareaari silizesuak eta grauvakak. Lutiteko pasaguneak
124 Margas y calcarenitas. Brechas intramisionales
Margak eta kalkarenitak. Bretxa intramisionalak
123 Alternancia de microconglomerados y areniscas
Mikrokonglomeratu eta hareaarien txandaketa
122 Areniscas
Hareaariak
121 Alternancia de areniscas y lutitas
Hareaari eta lutiten txandaketa
120 Alternancia de lutitas negras y areniscas
Lutita beltza eta hareaarien txandaketa
119 Calizas (posibles olistolitos)
Karriko (balizko olistolitoak)
118 Areniscas, margas y localmente calcarenitas
Hareaariak, margak eta lekuak kalkarenitak
117 Alternancia de calizas y areniscas
Karri eta hareaarien txandaketa
116 Margas, niveles de calcarenitas, brechas calcáreas, areniscas y limolitas
Margak, kalkarenitzko pasaguneak, bretxa karetsuak, hareaariak eta limolitak
115 Orto y para (megabrecha calcáreas; matriz carbonatada y/o terrigena)
Orto eta para(megabretxa karetsuak; karbonatatu edota lurrezko matrizean
114 Margas grises, pasadas de margocalizas y limos; lutitas y areniscas
Marga grisak, margakarrizo pasaguneak eta limoak; lutitak eta hareaariak
113 Areniscas silíceas y lutitas
Hareaari silizesuak eta lutitek
112 Grauvacas negras, arenas y limos rojos y versicolores
Grauvaka beltzak, hareaek eta limo gorriak eta kolore aldakorrekak
111 Calizas margosas (calizas impuras)
Karriko margatsuak (karriko ezpuruak)
110 Calcarenitas bioclasticas
Kalkarenita bioklastikoak
109 Calizas arrecifales (rudistas y corales dominantes)
Karriko errezzilak (terrudistak eta korala nagusi)
108 Alternancia de limolitas calcáreas, margas y calizas impuras
Limonita karetsu, marga eta karri expuruen txandaketa
107 Calizas con moluscos, margas, margocalizas
Moluskudun karrikoak, margak, margakarrriak
106 Calizas silíceas indiferenciadas (Calizas de Gómez)

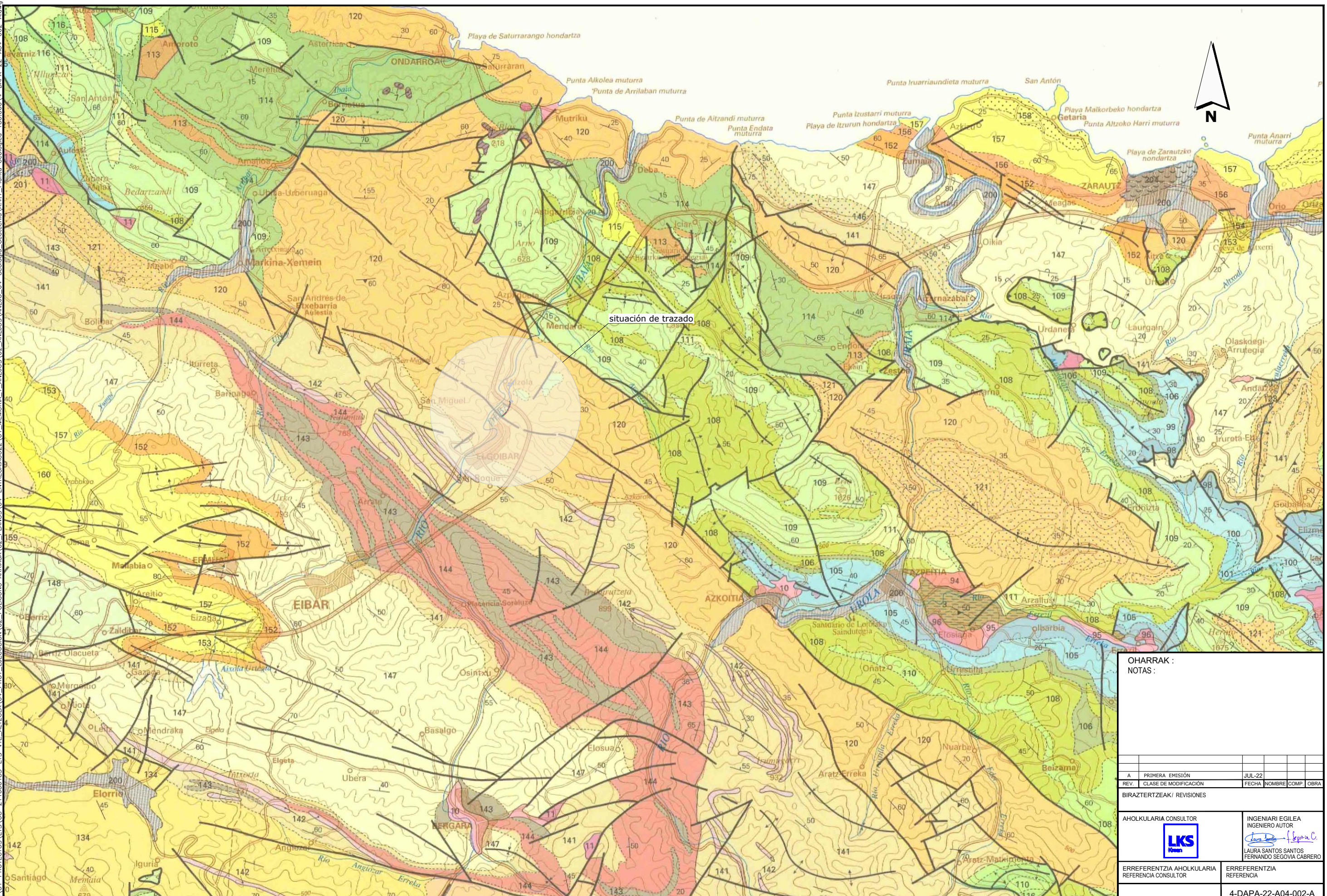
OHARRAK:
NOTAS:

A	PRIMERA EMISIÓN	JUL-22			
REV.	CLASE DE MODIFICACIÓN	FECHA	NOMBRE	COMP.	OBRA

BIRAZTERTZEAK/ REVISIONES

AHOLKULARIA CONSULTOR	INGENIARI EGILEA INGENIERO AUTOR
LKS	Laura Santos Fernando Segovia Cabrero

ERREFERENTZIA AHOLKULARIA REFERENCIA CONSULTOR	ERREFERENTZIA REFERENCIA
	4-DAPA-22-A04-001-A



A	PRIMERA EMISIÓN	JUL-22			
REV.	CLASE DE MODIFICACIÓN	FECHA	NOMBRE	COMP.	OBRA
BIRAZTERTZEAK/ REVISIONES					
AHOLKULARIA CONSULTOR		INGENIARI EGILEA INGENIERO AUTOR			
 LAURA SANTOS SANTOS FERNANDO SEGOVIA CABRERO					
ERREFERENTZIA AHOLKULARIA		ERREFERENTZIA			
		4-DAPA-22-A04-002-A			

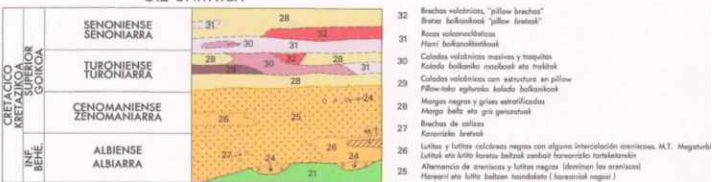
APÉNDICE N° 4.2

Planta geológica 1/25.000

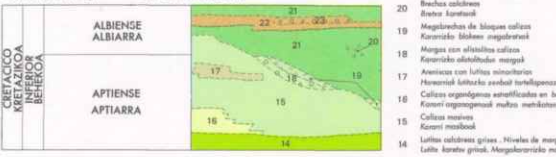
LEYENDA ZEHAZPIDEA

CUATERNARIO KOATERNARIOA	33
33 Abrazos Aldeas	

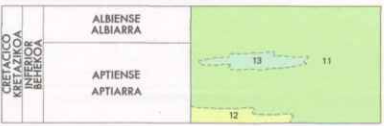
UNIDAD DE OIZ OIZ UNITATEA



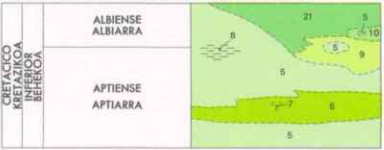
UNIDAD DE OIZ SECTOR DE ONDARROA OIZ UNITATEA ONDARRU ALDEA



UNIDAD DE OIZ SECTOR DE GUERNICA OIZ UNITATEA GERNIKA ALDEA



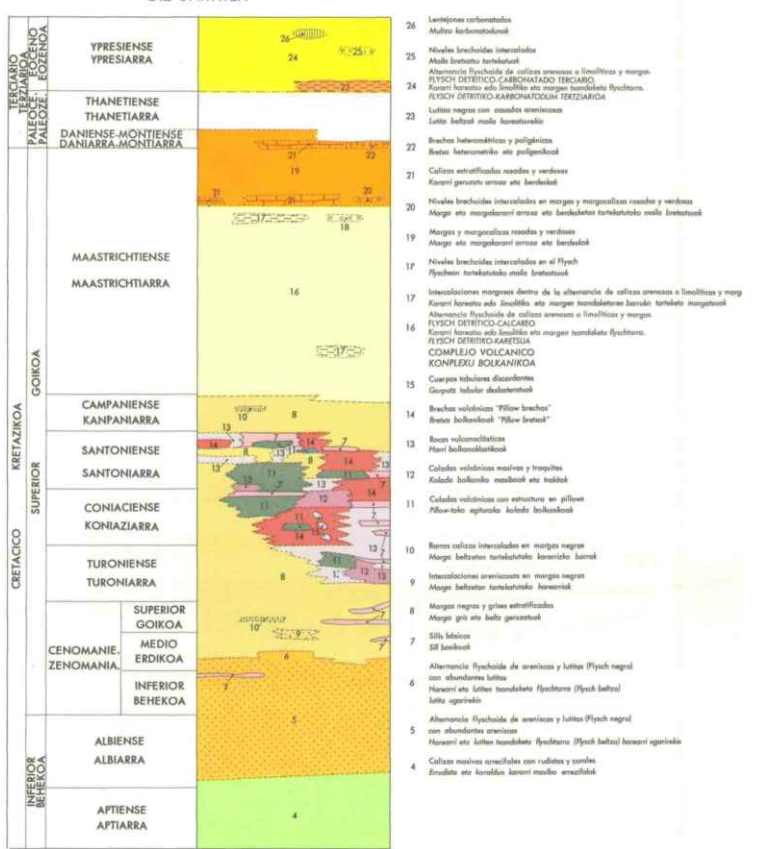
UNIDAD DE OIZ SECTOR DE ERLO-ANDUTZ-ARNO OIZ UNITATEA ERLO-ANDUTZ-ARNO ALDEA



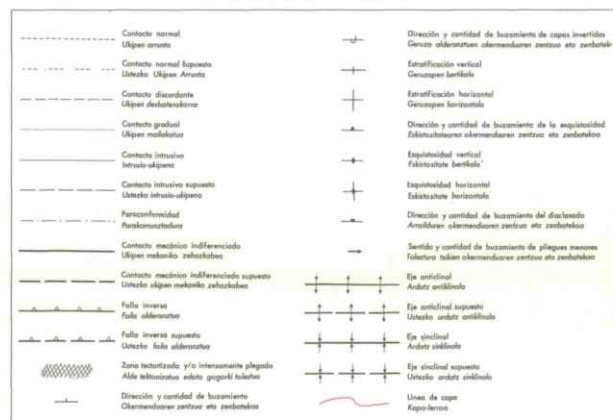
LEYENDA ZEHAZPIDEA

CUATERNARIO KOATERNARIOA	27
27 Cuaternario antiguo Koaternario antiguos	

UNIDAD DE OIZ OIZ UNITATEA



SÍMBOLOS CONVENCIONALES OHIZKO SINBOLAK



OHARRAK :
NOTAS :

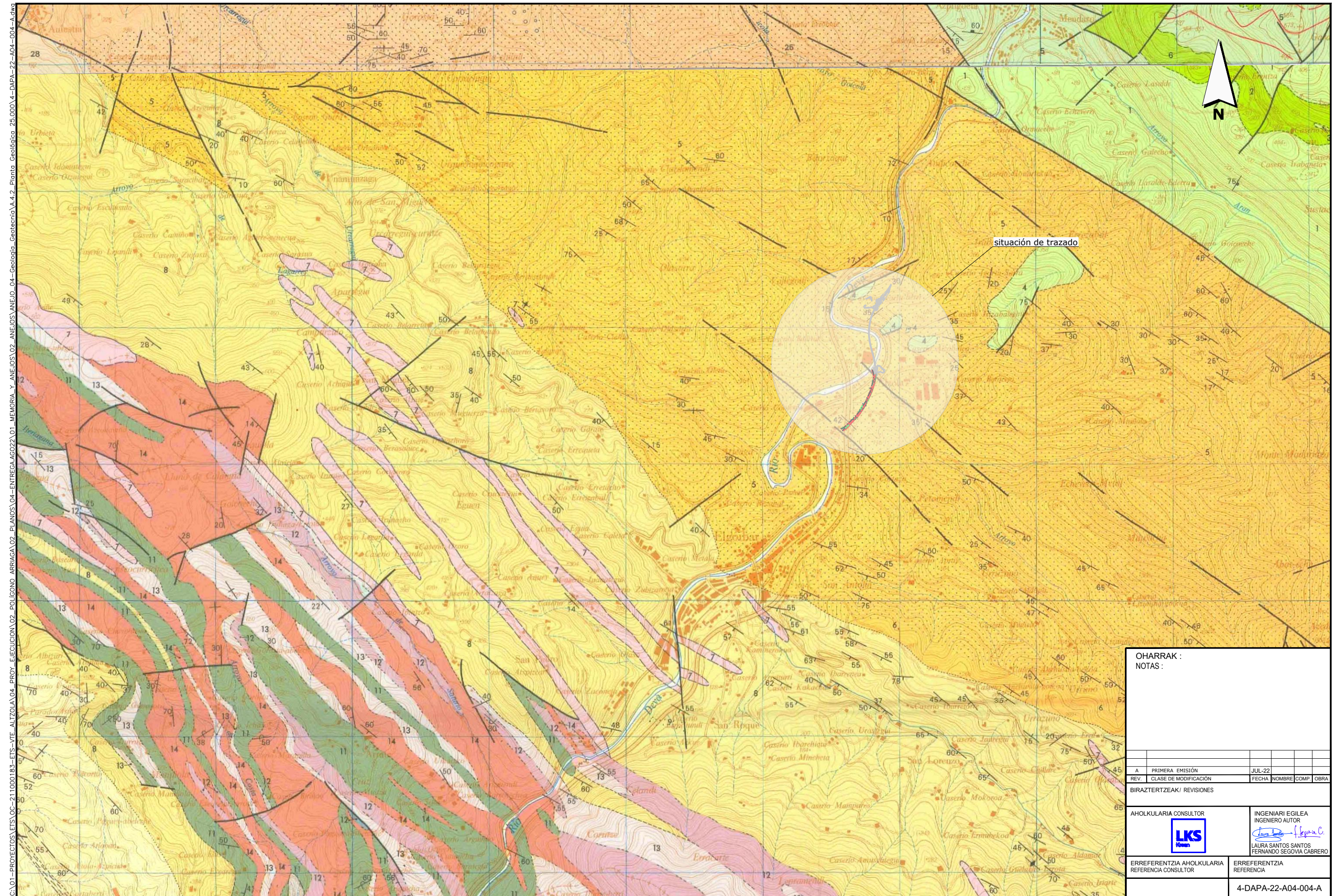
A	PRIMERA EMISIÓN	JUL-22
REV.	CLASE DE MODIFICACIÓN	FECHA
		NOMBRE
		COMP.
		OBRA

BIRAZTERTZEAK / REVISIONES

AHOLKULARIA CONSULTOR	INGENIARI EGILEA INGENIERO AUTOR
LKS	Laura Santos Santos Fernando Segovia Cabrero

ERREFERENTZIA AHOLKULARIA	ERREFERENTZIA
REFERENCIA CONSULTOR	REFERENCIA

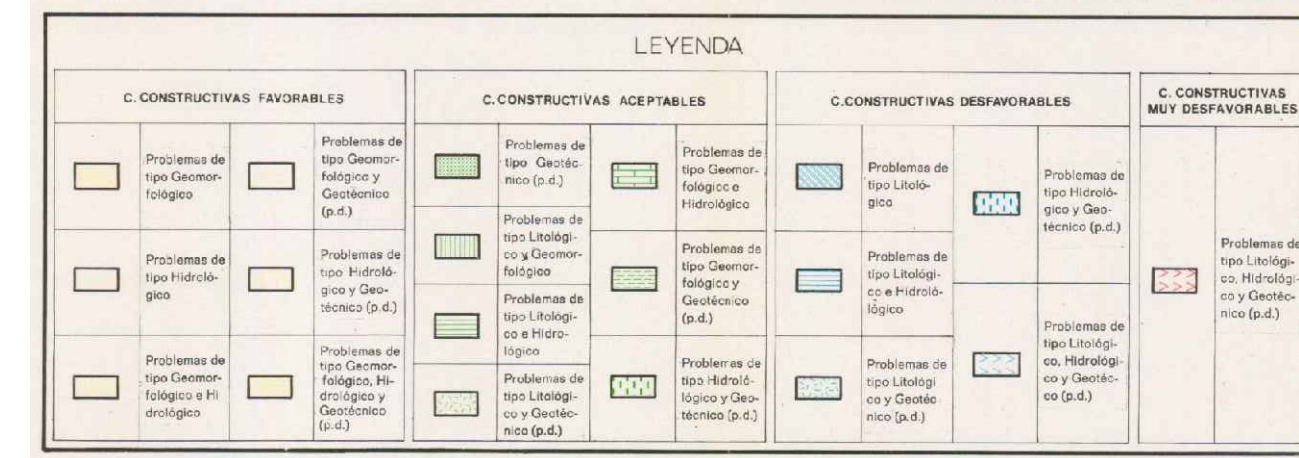
4-DAPA-22-A04-003-A



APÉNDICE N° 4.3

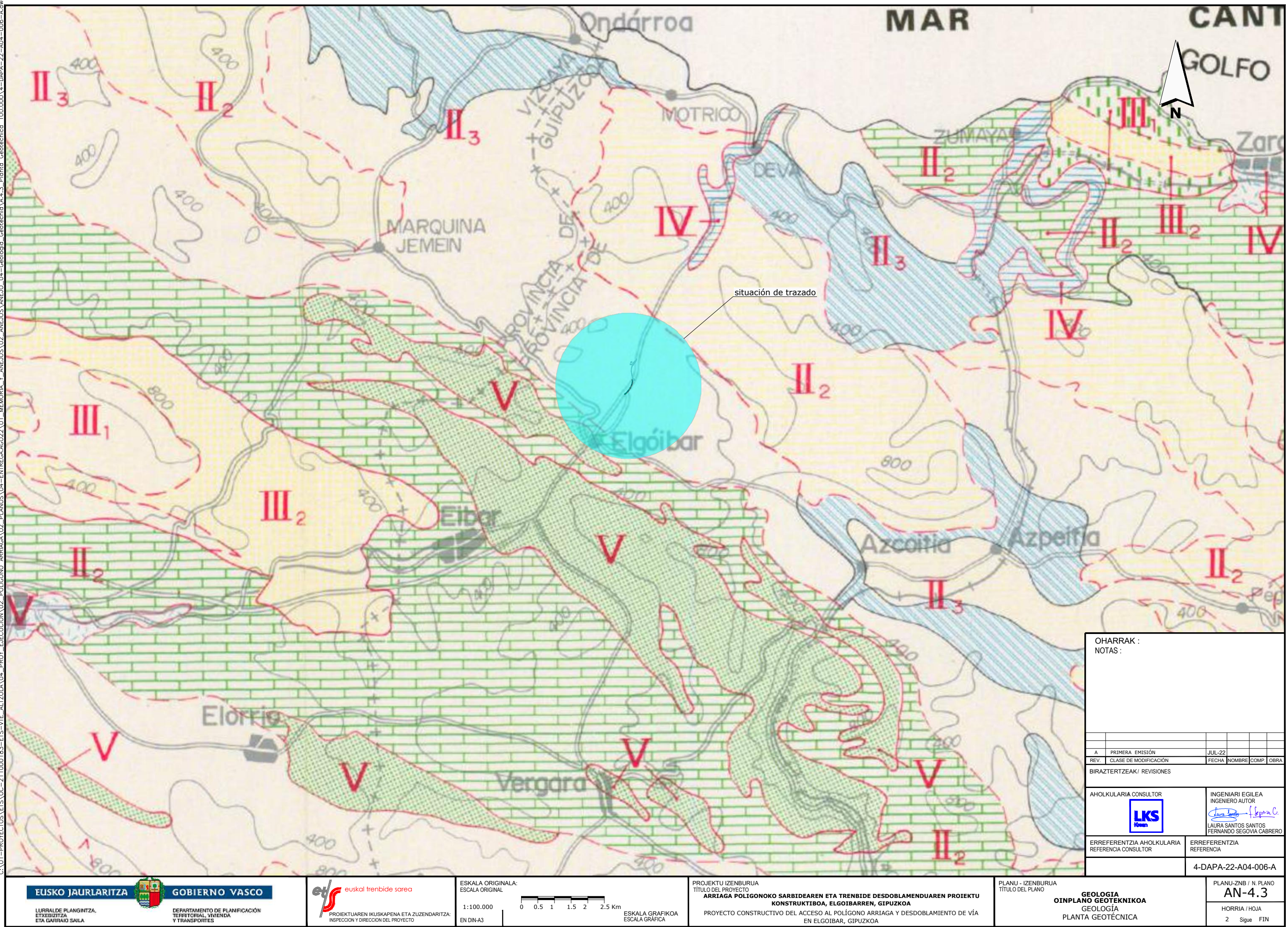
Planta geotécnica 1/100.000

REGION	AREA	CRITERIOS DE DIVISION Y CARACTERISTICAS GENERALES	
I	MACIZO CINCO VILLAS	I, I.	Este área corresponde al límite occidental del Macizo de las Cinco Villas. Lítologicamente el Área está formada por una potente serie paleozoica y permotriásica de esquistos, areniscas, mármol y maf. detriticos. El Área es morfológicamente abrupta, y sus materiales son estables, con drenaje variable; sus características mecánicas son favorables.
II	MESOZOICO TECTONIZADO	II, II ₁	Este Área está constituida por pescuetos afloramientos de formaciones Keuper; estos materiales aparecen totalmente cubiertos por un suelo mergoyoso de potencia variable. Corresponde a zonas deprimidas y lítologicamente está formada por arcillas, margas abigarradas, yesos y sal gema. Sus materiales son impermeables con drenaje deficiente y sus características mecánicas no son favorables.
III	CUENCA MODERNAS PLEGADAS	III, III ₁	El Área está constituida por una serie calcocarbonatada de variada naturaleza y granulometría. Sus condiciones de drenaje y permeabilidad de sus materiales son favorables, exceptuando los tramos de argillitas. Sus condiciones mecánicas son buenas.
IV	CUATERNARIO	IV, IV ₁	El Área está constituida por materiales calcocarbonatados terciarios, irregularmente distribuidos. Forman morfologías abruptas y se consideran en su mayor parte estables. Sus materiales son impermeables con un drenaje por fisuración y escorrentía superficial activa. Sus condiciones mecánicas son de magnitud media.
V	ROCAS IGNEAS	V, V ₁	El Área está constituida por formaciones detríticas de diversas granulometrías. Sus materiales se consideran estables y presentan morfologías variables. Son permeables con un drenaje favorable. Las condiciones mecánicas del Área son favorables.



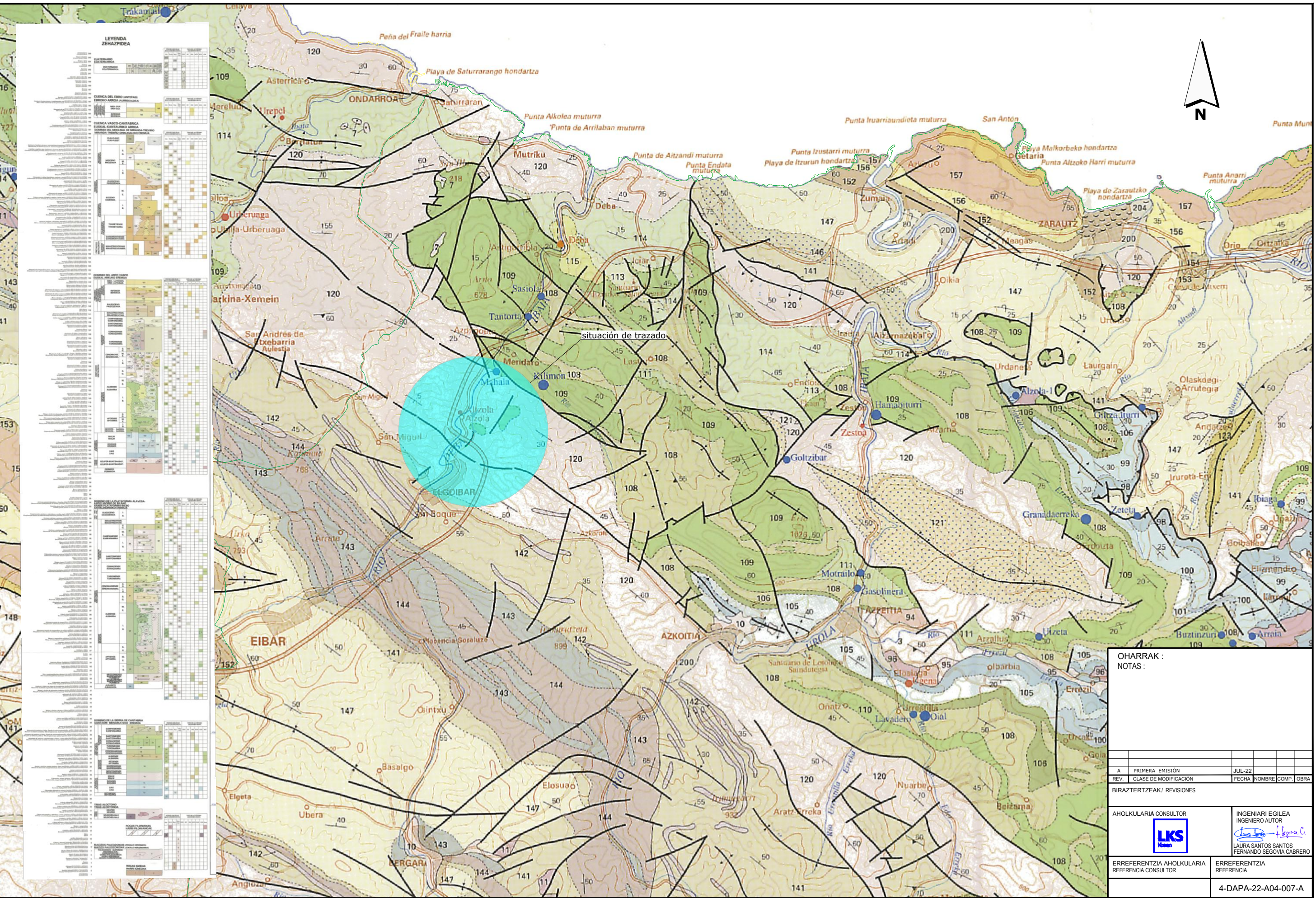
CONDICIONES CONSTRUCTIVAS		PROBLEMAS "TIPO" EXISTENTES		CONCURRENCIA DE 2 PROBLEMAS "TIPO"		CONCURRENCIA DE 3 PROBLEMAS "TIPO"		CONCURRENCIA DE 4 PROBLEMAS "TIPO"		PROBLEMAS GEOTECNICOS		NOTACION	
Muy favorables		Litológicos	Litológicos y Geomorfológicos	Geomorfológicos e Hidrológicos	Hidrológicos	Litológicos, Geomorfológico e Hidrológicos	Litológicos, Geomorfológico y Geotécnicos (p.d.)	Litológicos, Hidrológicos y Geotécnicos (p.d.)	Litológicos, Hidrológicos y Geotécnicos (p.d.)	De capacidad de carga	Y	Yesos	Y
Favorables		Geomorfológicos		Geomorfológicos e Hidrológicos	Hidrológicos	Litológicos, Geomorfológicos y Geotécnicos (p.d.)		Litológicos, Geomorfológicos, Hidrológicos y Geotécnicos (p.d.)	Litológicos, Geomorfológicos, Hidrológicos y Geotécnicos (p.d.)	De Asientos			
Aceptables		Hidrológicos				Litológicos, Hidrológicos y Geotécnicos (p.d.)							
Desfavorables						Litológicos y Geotécnicos (p.d.)	Hidrológicos y Geotécnicos (p.d.)	Hidrológicos y Geotécnicos (p.d.)	Hidrológicos, Hidrológicos y Geotécnicos (p.d.)	Presencia de sulfatos	Y		
Muy desfavorables		Geotécnicos (p.d.)											

OHARRAK : NOTAS :		
A	PRIMERA EMISIÓN	JUL-22
REV.	CLASE DE MODIFICACIÓN	FECHA
BIRAZTERTZEAK / REVISIONES		
AHOLKULARIA CONSULTOR		INGENIARI EGILEA INGENIERO AUTOR
		Laura Santos Fernando Segovia Cabrero
ERREFERENTZIA AHOLKULARIA REFERENCIA CONSULTOR		ERREFERENTZIA
		REFERENCIA
4-DAPA-22-A04-005-A		



APÉNDICE N° 4.4

Planta hidrogeológica 1/100.000



OHARRAK:
NOTAS:

A	PRIMERA EMISIÓN	JUL-22
REV.	CLASE DE MODIFICACIÓN	FECHA NOMBRE COMP. OBRA

BIRAZTERTZEAK / REVISIONES

AHOLKULARIA CONSULTOR	INGENIARI EGILEA INGENIERO AUTOR
LKS	Laura Santos Santos Fernando Segovia Cabrero

ERREFERENTZIA AHOLKULARIA REFERENCIA CONSULTOR	ERREFERENTZIA REFERENCIA
	4-DAPA-22-A04-007-A

APÉNDICE N° 4.5 **Rocas industriales 1/100.000**

Sinbologia / Simbología

Industri instalazioak Instalaciones industriales

-  **Kare-fabrika / Fábrica de cal**
-  **Apainketarako harri ehungailua / Telar y/o corte de roca ornamental**
-  **Zementu-fabrika / Cementera**
-  **Asfaltozko aglomeratu planta / Planta de aglomerados asfálticos**
-  **Sufrearen ekoizpena (findegia) / Producción de azufre (refinería)**
-  **Hormigoi planta / Planta de hormigón**

Ohizko zeinuak / Signos convencionales	
	Autopista Autopista
	Errepide nagusia Carretera principal
	Eskualde errepidea Carretera comarcal
	Udal errepidea Carretera local
	Trenbidea Ferrocarril
	Herriko muga Límite Municipal
	Aireportua Aeropuerto
	Hiriguneak Zonas urbanas
	Biztanledun-gunea Núcleo de población
	Ibai nagusia Río principal
	Bigarren mailako ibaia Río secundario
	Urtegia Embalse
	Hezegunea Zona húmeda

Jarduneko ustiategiak Explotaciones Activas

-  **Hareharria**
Arenisca
-  **Harri bolkanikoa**
Roca volcánica
-  **Apainketarako karria**
Caliza ornamental
-  **Marga**
Marga
-  **Harea silizetsua**
Arena silícea
-  **Arbela**
Pizarra
-  **Karri asfaltikoa**
Caliza asfáltica
-  **Gatzarra**
Sal
-  **Legarrak eta hareak**
Gravas y arenas
-  **Karria**
Caliza
-  **Meategiko harri antzuak**
Estéril minero

JARDUNeko USTIATEGIEN EGOERA ESTADO DE LAS EXPLOTACIONES ACTIVAS

-  **Jardunekoa (ekoizpenarekin) / Activa (con producción)**
-  **Gelditua (ekoizpenik gabe) / Parada (sin producción)**

OHARRAK :
NOTAS :

A	PRIMERA EMISIÓN	JUL-22		

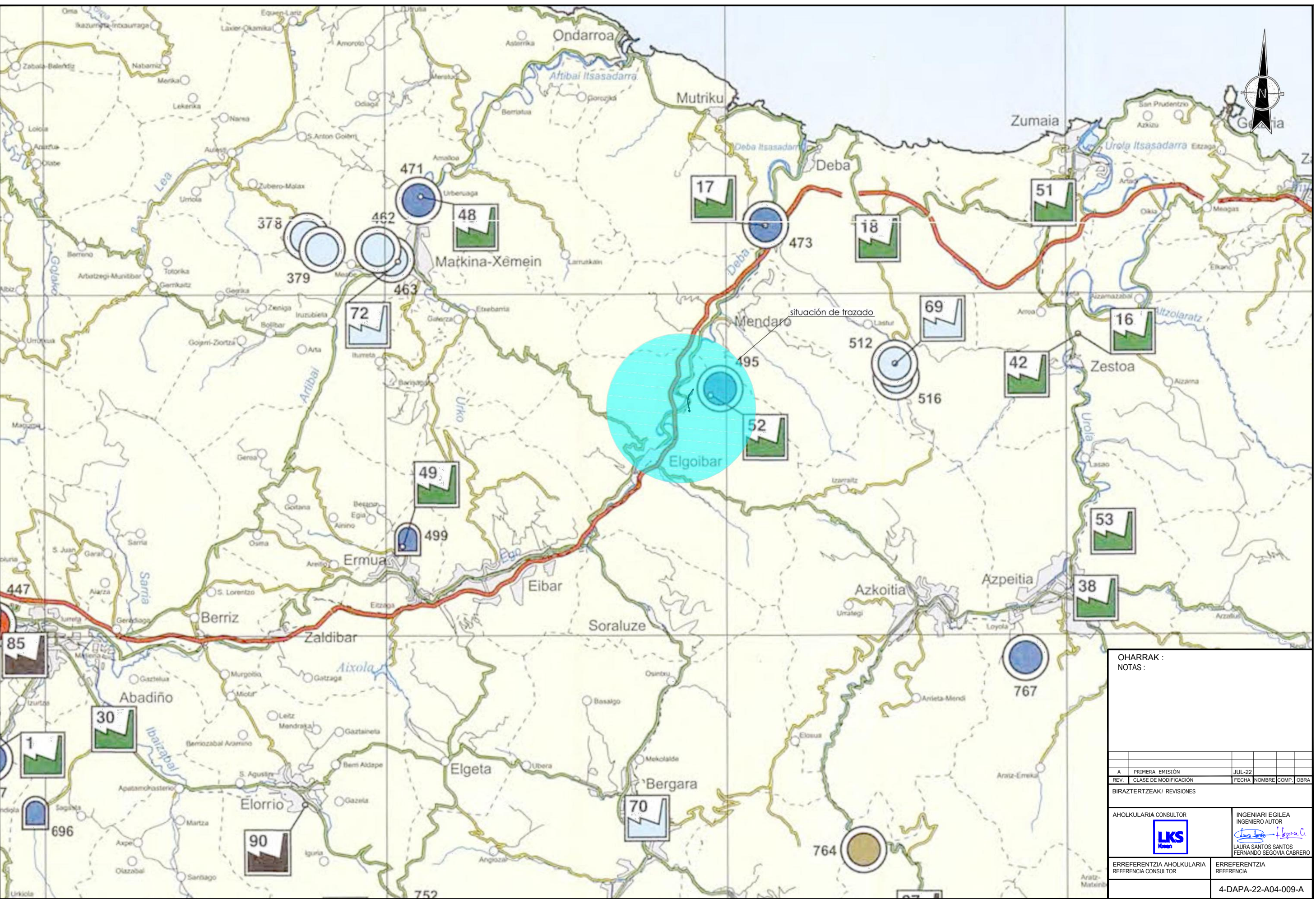
REV. CLASE DE MODIFICACIÓN FECHA NOMBRE COMP. OBRA

BIRAZTERTZEAK / REVISIONES

AHOLKULARIA CONSULTOR 	INGENIARI EGILEA INGENIERO AUTOR  LAURA SANTOS SANTOS FERNANDO SEGOVIA CABRERO
--	---

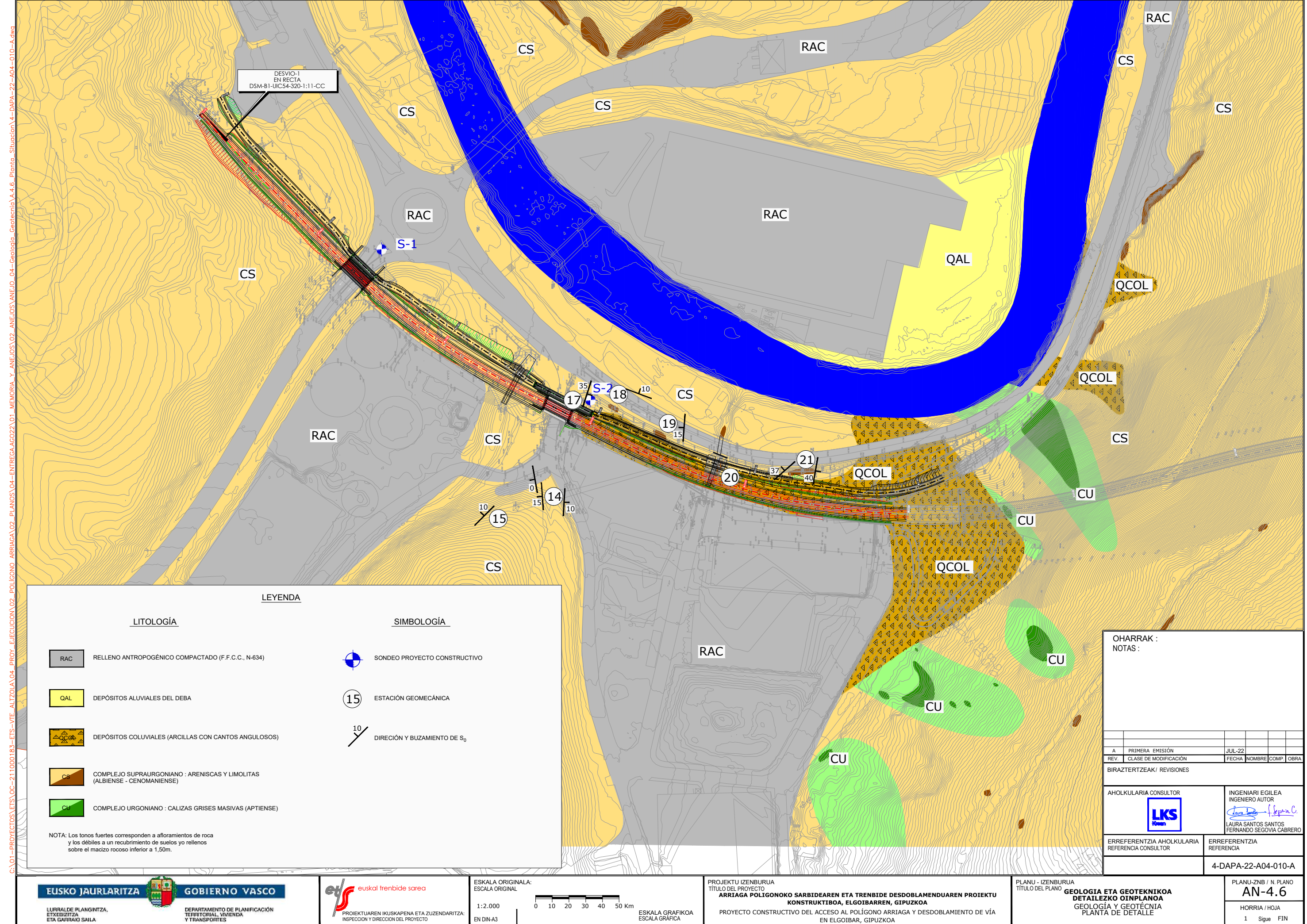
ERREFERENTZIA AHOLKULARIA REFERENCIA CONSULTOR	ERREFERENTZIA REFERENCIA
---	-----------------------------

4-DAPA-22-A04-008-A



OHARRAK : NOTAS :			
A	PRIMERA EMISIÓN	JUL-22	
REV.	CLASE DE MODIFICACIÓN	FECHA	NOMBRE COMP. OBRA
BIRAZTERTZEAK / REVISIONES			
AHOLKULARIA CONSULTOR		INGENIARI EGILEA INGENIERO AUTOR	
		LAURA SANTOS SANTOS FERNANDO SEGOVIA CABRERO	
ERREFERENTZIA AHOLKULARIA REFERENCIA CONSULTOR		ERREFERENTZIA REFERENCIA	
		4-DAPA-22-A04-009-A	

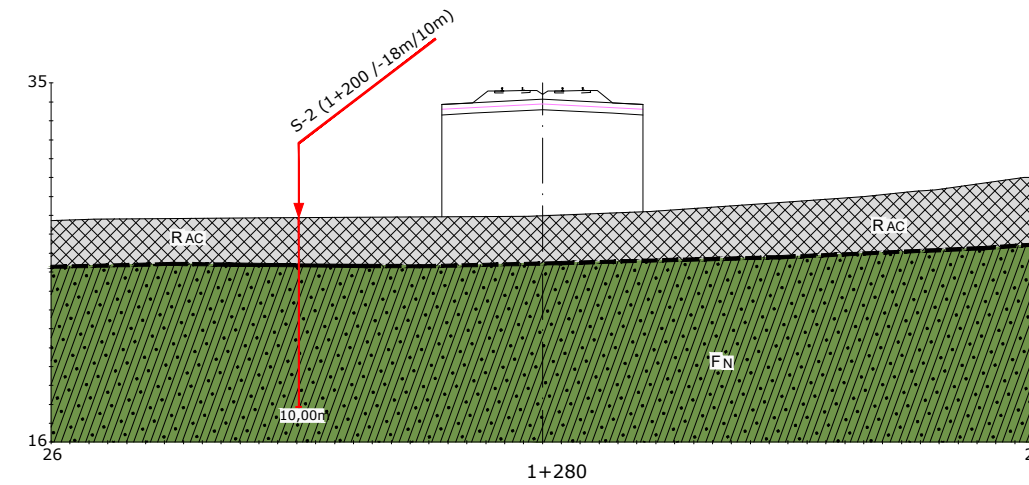
APÉNDICE N° 4.6
Planta
Geológico - Geotécnica 1/2.000



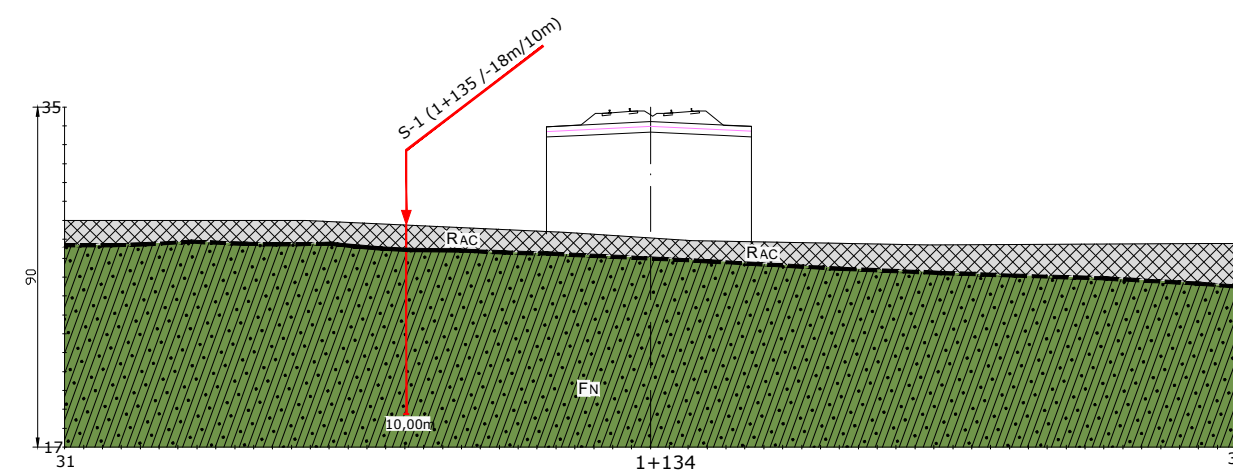
APÉNDICE Nº 4.7

Perfiles

Geológico – Geotécnicos



LITOLOGIA
RAC: RELLENO ANTROPOGENICO COMPACTADO
FN: ARENISCAS Y LIMOLITAS
SIMBOLOGIA
— CONTACTO LITOLÓGICO INTERPRETADO
— CONTACTO LITOLÓGICO OBSERVADO
S-1 (1+135 / -18m/10m)
P.K.
PROFUNDIDAD SONDEO
DISTANCIA EJE (-) IZQUIERDA (+) DERECHA



OHARRAK :			
NOTAS :			
A PRIMERA EMISIÓN JUL-22			
REV. CLASE DE MODIFICACIÓN FECHA NOMBRE COMP. OBRA			
BIRAZTERTZEAK / REVISIONES			
AHOLKULARIA CONSULTOR		INGENIARI EGILEA INGENIERO AUTOR	
		Laura Santos Fernando Segovia Cabrero	
ERREFERENTZIA AHOLKULARIA REFERENCIA CONSULTOR		ERREFERENTZIA	
4-DAPA-22-A04-011-A			

APÉNDICE Nº 4.8 **Registro sondeos mecánicos**



PROYECTO DE CONSTRUCCIÓN ACCESO POLIGONO INDUSTRIAL ARRIAGA

FECHA COMIENZO: **09/12/2014**
FECHA FINALIZACIÓN: **10/12/2014**
MAQUINARIA: **ROULATEC 48**

EMPRESA: *Aroa Geotecnia*
SONDISTA: *Pepe*
SUPERVISOR: *Ruth Santos*

SITUACIÓN: **1+135**
DISTANCIA AL EJE: **20**
LOCALIZACIÓN: *Paso Inferior GI-2634*

COORDENADAS:
X : **548663.66**
Y : **4786352.17**
Z : **29**

SONDEO
S-1
Hoja 1 de 45

Tipo de muestra:

Fin de SONDEO a 10,00m

Sistema de perforación

Diametro de bateria: Ø 116 mm
Tipo de bateria: B: sencilla
Tipo de corona: W: Widia
 Ø 101 mm T: Doble D: Diamante

Tipo de junta:

Naturaleza del relleno

Observaciones:

FULCRUM



PROYECTO DE CONSTRUCCIÓN ACCESO POLIGONO INDUSTRIAL ARRIAGA

FECHA COMIENZO: **09/12/2014**
FECHA FINALIZACIÓN: **09/12/2014**
MAQUINARIA: **ROLATEC 48**

EMPRESA: *Aroa Geotecnia*
SONDISTA: *Pepe*
SUPERVISOR: *Ruth Santos*

SITUACIÓN: **1+285**
DISTANCIA AL EJE: **20**
LOCALIZACIÓN: **Paso Inferior Acceso Pol. Ind.**

COORDENADAS:
X : **548753.92**
Y : **4786477.09**
Z : **28**

INCLINACIÓN :

**SONDEO
S-2**

Tipo de muestra:

Fin de SONDEO a 10,00m

1

10 of 10

2

<u>Sistema de perforación:</u>	<u>Diametro de batería:</u>	<u>Tipo de batería:</u>	<u>Tipo de corona:</u>
	Ø 116 mm	B: sencilla	W: Widia
	Ø 101 mm	T: Doble	D: Diamante
	Ø 86 mm		
	Ø 76 mm		

Tipo de junta:	Naturaleza del relleno:
S: Estratificación	Ca: calcita
J: Junta	Ox: óxido
	S: sulfuro
	O: cuarzo
	F: feldespato
	M: mica
	C: clorita
	T: talco
	Y: yeso
	Ar: arcilla
	An: arena
	G: grava
	B: brecha
	M: milonita
	RM: roca meteorizada
	MO: materia orgánica

Observaciones:

FULCRUM

APÉNDICE N° 4.9

Ensayos de laboratorio



GTK Laboratorio Geotécnico

Laboratorio de Control de Calidad. Edificación y Obra Civil
Bº Iseca Vieja, 51 - 39776 Liendo (CANTABRIA)
Tfno: 942 64 39 81
Fax: 942 64 32 80

info@gtklaboratorio.com

INFORME DE RESULTADOS

INFORME Nº: E181214

REF. MUESTRAS: 1469-1480

PETICIONARIO:

FULCRUM

Aldapa Kalea, 13.
48940 Leioa (Bizkaia)

SOLICITUD / OBRA:

Ensayos de suelo y rocas / P.C. Variante Altzola (Gipuzkoa).

El presente Informe técnico se emite bajo las condiciones siguientes:

1. Se prohíbe la reproducción total o parcial de los datos presentados.
2. La información contenida en este documento es estrictamente confidencial. GTK Laboratorio Geotécnico no facilitará información relativa a este Informe a terceras personas, salvo autorización escrita del cliente o en los casos previstos por las leyes vigentes.
3. Los resultados de ensayos tienen valor únicamente en relación con las muestras referidas en las actas.
4. GTK Laboratorio Geotécnico emplea para la realización e interpretación de los ensayos y pruebas, el personal y los medios adecuados en cada caso, no aceptando más responsabilidad ni obligaciones que la repetición gratuita de los ensayos sobre nuevas muestras, en el caso de fallos ajenos a su intención.
5. GTK Laboratorio Geotécnico no se responsabiliza de la veracidad de los datos aportados por el cliente.

El presente informe consta de 57 hojas, incluida ésta.

En Liendo, a 12 de enero de 2015

Pablo Salvarrey Isequilla
Geólogo Colegiado nº 3974

Director de Laboratorio

Ignacio San José Carrasco
Geólogo Colegiado nº 3972

Director Técnico

	GTK Laboratorio Geotécnico Laboratorio de Control de Calidad. Edificación y Obra Civil					Hoja 1 de 3	
	RESUMEN DE RESULTADOS SUBCONTRATADOS A OTRO LABORATORIO						
LABORATORIO AL QUE SE SUBCONTRATA				CEPASA, S.A.			
PROCEDENCIA (OBRA/CLIENTE):			Altzola		FULCRUM		
Nº REFERENCIA DE LAS MUESTRAS			1469	1470	1471	1472	1473
LOCALIZACIÓN	CALICATA / SONDEO		S1	S1	S3	S3	S3
	TIPO DE MUESTRA		TP	TP	MI	MI	MI
	PROFUNDIDAD (m)		2,40-2,70	9,25-9,50	3,00-3,60	6,00-6,60	9,00-9,60
ENSAYOS DE SUELOS	Límite de retracción. UNE 103108						
	Granulometría por sedimentación. UNE 103102						
	Permeabilidad bajo carga constante en suelos granulares. UNE 103403						
	Permeabilidad con presión en cola en célula triaxial						
	Triaxial. UNE 103402 (Cohesión total) Kp/cm ²						0,33
	Triaxial. UNE 103402 (Cohesión efectiva) Kp/cm ²						0,06
	Triaxial. UNE 103402 (Fricción total) (º)						34,39
	Triaxial. UNE 103402 (Fricción efectiva) (º)						36,18
ENSAYOS DE AGUAS	Conductividad ó resistividad en suelo						
	Cloruros (UNE 7178)						
	Sustancias solubles (UNE 7130)						
	Determinación cualitativa de aceites y grasas (UNE 7235)						
	Determinación cuantitativa de aceites y grasas (UNE 7235)						
ENSAYOS DE ROCAS	Determinación cualitativa de hidratos de carbono (UNE 7132)						
	Corte con resistencia de pico						
	Corte con resistencia residual						
	Compr. Simple UNE22.950-3(Resistencia Kp/cm ²)						
	Compr. Simple UNE22.950-3(Young Kp/cm ²)						
	Compr. Simple UNE22.950-3(Coef. de Poisson)						
	Abrasividad Cerchar. NF P94-430-1						
	Dureza Cerchar. XP P94-412						
	Slake Durability Index. Desmoronamiento de rocas blandas. NLT-251						
	Desgaste de Los Ángeles. NLT-149. UNE-EN 1097-2						
	Contenido en Silice						
	Desgaste por rozamiento. UNE 22183 y 22192						
	Fragmentabilidad. NF P94-066						
	Degravabilidad. NF P94-067						
	D.R.I. Índice de perforabilidad						

Laboratorio de ensayos para el Control de Calidad de la Edificación acreditado por la Dirección General de Vivienda y Arquitectura del Gobierno de Cantabria, según Real Decreto 410/2010 de 31 de marzo, con número de acreditación CTB-L-008

	GTK Laboratorio Geotécnico Laboratorio de Control de Calidad. Edificación y Obra Civil					Hoja 2 de 3
	RESUMEN DE RESULTADOS SUBCONTRATADOS A OTRO LABORATORIO					
LABORATORIO AL QUE SE SUBCONTRATA				CEPASA, S.A.		
PROCEDENCIA (OBRA/CLIENTE):			Altzola		FULCRUM	
REFERENCIA	1474	1475	1476	1477	1478	
LOCALIZACIÓN	CALICATA / SONDEO	S3	S5	S5	S5	S5
	TIPO DE MUESTRA	MI	MI	TP	TP	TP
	PROFUNDIDAD (m)	12,60-13,20	3,00-3,60	9,90-10,20	10,80-11,20	12,00-12,30
ENSAYOS DE SUELOS	Límite de retracción. UNE 103108					
	Granulometría por sedimentación. UNE 103102					
	Permeabilidad bajo carga constante en suelos granulares. UNE 103403					
	Permeabilidad con presión en cola en célula triaxial					
	Triaxial. UNE 103402 (Cohesión total) Kp/cm ²		0,18			
	Triaxial. UNE 103402 (Cohesión efectiva) Kp/cm ²		0,09			
	Triaxial. UNE 103402 (Fricción total) (°)		35,07			
	Triaxial. UNE 103402 (Fricción efectiva) (°)		36,49			
	Conductividad ó resistividad en suelo					
ENSAYOS DE AGUAS	Cloruros (UNE 7178)					
	Sustancias solubles (UNE 7130)					
	Determinación cualitativa de aceites y grasas (UNE 7235)					
	Determinación cuantitativa de aceites y grasas (UNE 7235)					
	Determinación cualitativa de hidratos de carbono (UNE 7132)					
ENSAYOS DE ROCAS	Corte con resistencia de pico					
	Corte con resistencia residual					
	Compr. Simple UNE22.950-3(Resistencia Kp/cm ²)					692
	Compr. Simple UNE22.950-3(Young Kp/cm ²)					782284
	Compr. Simple UNE22.950-3(Coef. de Poisson)					0,20
	Abrasividad Cerchar. NF P94-430-1					
	Dureza Cerchar. XP P94-412					
	Slake Durability Index. Desmoronamiento de rocas blandas. NLT-251					
	Desgaste de Los Ángeles. NLT-149. UNE-EN 1097-2					
	Contenido en Silice					
	Desgaste por rozamiento. UNE 22183 y 22192					
	Fragmentabilidad. NF P94-066					
	Degravabilidad. NF P94-067					
	D.R.I. Índice de perforabilidad					

Laboratorio de ensayos para el Control de Calidad de la Edificación acreditado por la Dirección General de Vivienda y Arquitectura del Gobierno de Cantabria, según Real Decreto 410/2010 de 31 de marzo, con número de acreditación CTB-L-008

	GTK Laboratorio Geotécnico Laboratorio de Control de Calidad. Edificación y Obra Civil				Hoja 3 de 3
	RESUMEN DE RESULTADOS SUBCONTRATADOS A OTRO LABORATORIO				
LABORATORIO AL QUE SE SUBCONTRATA				CEPASA, S.A.	
PROCEDENCIA (OBRA/CLIENTE):			Alzola		FULCRUM
LOCALIZACIÓN	REFERENCIA			1479	1480
	CALICATA / SONDEO			S5	S5
	TIPO DE MUESTRA			TP	TP
ENSAYOS DE SUELOS	PROFUNDIDAD (m)			14,40- 14,70	18,20- 18,50
	Límite de retracción. UNE 103108				
	Granulometría por sedimentación. UNE 103102				
	Permeabilidad bajo carga constante en suelos granulares. UNE 103403				
	Permeabilidad con presión en cola en célula triaxial				
	Triaxial. UNE 103402 (Cohesión total) Kp/cm ²				
	Triaxial. UNE 103402 (Cohesión efectiva) Kp/cm ²				
	Triaxial. UNE 103402 (Fricción total) (°)				
	Triaxial. UNE 103402 (Fricción efectiva) (°)				
ENSAYOS DE AGUAS	Conductividad ó resistividad en suelo				
	Cloruros (UNE 7178)				
	Sustancias solubles (UNE 7130)				
	Determinación cualitativa de aceites y grasas (UNE 7235)				
	Determinación cuantitativa de aceites y grasas (UNE 7235)				
	Determinación cualitativa de hidratos de carbono (UNE 7132)				
ENSAYOS DE ROCAS	Corte con resistencia de pico				
	Corte con resistencia residual				
	Compr. Simple UNE22.950-3(Resistencia Kp/cm ²)		323		
	Compr. Simple UNE22.950-3(Young Kp/cm ²)		171774		
	Compr. Simple UNE22.950-3(Coef. de Poisson)		0,21		
	Abrasividad Cerchar. NF P94-430-1				
	Dureza Cerchar. XP P94-412				
	Slake Durability Index. Desmoronamiento de rocas blandas. NLT-251				
	Desgaste de Los Ángeles. NLT-149. UNE-EN 1097-2				
	Contenido en Silice				
	Desgaste por rozamiento. UNE 22183 y 22192				
	Fragmentabilidad. NF P94-066				
	Degravabilidad. NF P94-067				
	D.R.I. Índice de perforabilidad				

Laboratorio de ensayos para el Control de Calidad de la Edificación acreditado por la Dirección General de Vivienda y Arquitectura del Gobierno de Cantabria, según Real Decreto 410/2010 de 31 de marzo, con número de acreditación CTB-L-008

	GTK Laboratorio Geotécnico Laboratorio de Control de Calidad. Edificación y Obra Civil					Hoja 1 de 3
	RESUMEN DE RESULTADOS DE ENSAYOS DE SUELOS					
PROCEDENCIA (OBRA/CLIENTE):		Altzola			FULCRUM	
Nº REFERENCIA DE LAS MUESTRAS		1469	1470	1471	1472	1473
LOCALIZACIÓN	CALICATA / SONDEO	S1	S1	S3	S3	S3
	TIPO DE MUESTRA	TP	TP	MI	MI	MI
	PROFUNDIDAD	2,40-2,70	9,25-9,50	3,00-3,60	6,00-6,60	9,00-9,60
ENSAYOS DE IDENTIFICACIÓN Y ESTADO	CLASIFICACIÓN S.U.C.S.			CL-ML	GC	SC
	GRANULOM.	FINOS INFERIORES A 80μ (%)		59,8	44,5	47,8
		SUPERIOR A 5mm (%)		11,9	28,6	25,1
	LÍMITES DE ATTERBERG	LÍMITE LÍQUIDO W_L		24,1	31,0	29,6
		LÍMITE PLÁSTICO W_P		17,9	20,2	20,3
		ÍNDICE DE PLASTICIDAD I_p		6,2	10,8	9,3
	HUMEDAD NATURAL $W(\%)$		21,4	16,4	16,2	
	DENSIDAD APARENTE (g/cm^3)			2,224		
	DENSIDAD SECA (g/cm^3)			1,911		
	PESO ESPECÍFICO DE LAS PARTÍCULAS (g/cm^3)					
ENSAYOS QUÍMICOS	DETERMINACIÓN DEL Ph (UNE 77305:99)					
	ACIDEZ BAUMANN-GULLY (EHE)		24	180		
	CONT. SULFATOS SOLUBLES (EHE; mg SO_4/kg)			59		
	CONTENIDO EN MATERIA ORGÁNICA (%)					
	CONTENIDO EN YESO (%)					
	CONTENIDO EN SALES (%)					
	CONTENIDO EN CARBONATOS (% CaCO_3)					
	AGRESIVIDAD DEL AGUA AL HORMIGÓN (EHE)					
ENSAYOS DE EXPANSIVIDAD Y DEFORMABILIDAD	ÍNDICE DE HINCHAMIENTO (LAMBE), MPa					
	CAMBIO DE VOLUMEN POTENCIAL (LAMBE)					
	HINCHAMIENTO LIBRE EN EDÓMETRO (%)					
	PRESIÓN DE HINCHAMIENTO EN EDÓM. (kPa)					
	INDICE DE COLAPSO (EDÓMETRO), (%)					
	INDICE DE POROS INICIAL (CONSOLID. EDÓM.)	0,53				
	INDICES compresión y Entumecimiento (CONSOLID. EDOM.)	0,11/0,02				
	MODULOS Edometrico seco y compresibilidad (CONSOLID. EDOM.)	6,65/0,0041				
ENSAYOS DE RESISTENCIA	COMPRESIÓN SIMPLE EN SUELOS (kPa)			141		
	ÁNGULO DE ROZAMIENTO INTERNO (°)					
	COHESIÓN (kPa)					
	COMPRESIÓN UNIAXIAL EN ROCAS (MPa)	26,22	35,38			
	RESISTENCIA A CARGA PUNTUAL (MPa)					
	ENSAYO BRASILEÑO (MPa)					
ENSAYOS DE COMPACTACIÓN	DENSIDAD MÁXIMA PROCTOR (g/cm^3)					
	HUMEDAD ÓPTIMA PROCTOR (%)					
	INDICE C.B.R. 100%					
	INDICE C.B.R. 95%					

Laboratorio de ensayos para el Control de Calidad de la Edificación acreditado por la Dirección General de Vivienda y Arquitectura del Gobierno de Cantabria, según Real Decreto 410/2010 de 31 de marzo, con número de acreditación CTB-L-008

	GTK Laboratorio Geotécnico Laboratorio de Control de Calidad. Edificación y Obra Civil					Hoja 2 de 3
	RESUMEN DE RESULTADOS DE ENSAYOS DE SUELOS					
PROCEDENCIA (OBRA/CLIENTE):		Altzola			FULCRUM	
REFERENCIA		1474	1475	1476	1477	1478
LOCALIZACIÓN	CALICATA / SONDEO	S3	S5	S5	S5	S5
	TIPO DE MUESTRA	MI	MI	TP	TP	TP
	PROFUNDIDAD (m)	12,60- 13,20	3,00-3,60	9,90- 10,20	10,80- 11,20	12,00- 12,30
ENSAYOS DE IDENTIFICACIÓN Y ESTADO	CLASIFICACIÓN S.U.C.S.	CL	CL			
	GRANULOM.	FINOS INFERIORES A 80μ (%)	45,4	55,2		
		SUPERIOR A 5mm (%)	16,2	10,9		
	LÍMITES DE ATTERBERG	LÍMITE LÍQUIDO W_L	27,3	29,8		
		LÍMITE PLÁSTICO W_P	19,9	21,8		
	ÍNDICE DE PLASTICIDAD I_p	7,4	8,0			
	HUMEDAD NATURAL W (%)	13,2	19,6			
	DENSIDAD APARENTE (g/cm^3)					
	DENSIDAD SECA (g/cm^3)					
	PESO ESPECÍFICO DE LAS PARTÍCULAS (g/cm^3)					
ENSAYOS QUÍMICOS	DETERMINACIÓN DEL Ph (UNE 77305:99)					
	ACIDEZ BAUMANN-GULLY (EHE)	40	232			
	CONT. SULFATOS SOLUBLES (EHE; mg SO_4/kg)				76	
	CONTENIDO EN MATERIA ORGÁNICA (%)					
	CONTENIDO EN YESO (%)					
	CONTENIDO EN SALES (%)					
	CONTENIDO EN CARBONATOS (% $CaCO_3$)					
	AGRESIVIDAD DEL AGUA AL HORMIGÓN (EHE)					
ENSAYOS DE EXPANSIVIDAD Y DEFORMABILIDAD	ÍNDICE DE HINCHAMIENTO (LAMBE), MPa					
	CAMBIO DE VOLUMEN POTENCIAL (LAMBE)					
	HINCHAMIENTO LIBRE EN EDÓMETRO (%)					
	PRESIÓN DE HINCHAMIENTO EN EDÓM. (kPa)					
	INDICE DE COLAPSO (EDÓMETRO), (%)					
	INDICE DE POROS INICIAL (CONSOLID. EDÓM.)					
	INDICES compresión y Entumecimiento (CONSOLID. EDÓM.)					
ENSAYOS DE RESISTENCIA	MODULOS Edometrico secante y compresibilidad (CONSOLID. EDOM.)					
	COMPRESIÓN SIMPLE EN SUELOS (kPa)					
	ÁNGULO DE ROZAMIENTO INTERNO (º)					
	COHESIÓN (kPa)					
	COMPRESIÓN UNIAXIAL EN ROCAS (MPa)			39,72		
	RESISTENCIA A CARGA PUNTUAL (MPa)					
ENSAYOS DE COMPACTACIÓN	ENSAYO BRASILEÑO (MPa)					
	DENSIDAD MÁXIMA PROCTOR (P_M) (g/cm^3)					
	HUMEDAD ÓPTIMA PROCTOR (P_M) (%)					
	INDICE C.B.R. 100%					
	INDICE C.B.R. 95%					

Laboratorio de ensayos para el Control de Calidad de la Edificación acreditado por la Dirección General de Vivienda y Arquitectura del Gobierno de Cantabria, según Real Decreto 410/2010 de 31 de marzo, con número de acreditación CTB-L-008

	GTK Laboratorio Geotécnico Laboratorio de Control de Calidad. Edificación y Obra Civil				Hoja 3 de 3
	RESUMEN DE RESULTADOS DE ENSAYOS DE SUELOS				
PROCEDENCIA (OBRA/CLIENTE):		Altzola		FULCRUM	
REFERENCIA		1479	1480		
LOCALIZACIÓN	CALICATA / SONDEO	S5	S5		
	TIPO DE MUESTRA	TP	TP		
	PROFUNDIDAD (m)	14,40- 14,70	18,20- 18,50		
ENSAYOS DE IDENTIFICACIÓN Y ESTADO	CLASIFICACIÓN S.U.C.S.				
	GRANULOM.	FINOS INFERIORES A 80μ (%)			
		SUPERIOR A 5mm (%)			
	LÍMITES DE ATTERBERG	LÍMITE LÍQUIDO W_L			
		LÍMITE PLÁSTICO W_P			
	ÍNDICE DE PLASTICIDAD I_p				
	HUMEDAD NATURAL W(%)				
	DENSIDAD APARENTE (g/cm^3)				
	DENSIDAD SECA (g/cm^3)				
	PESO ESPECÍFICO DE LAS PARTÍCULAS (g/cm^3)				
ENSAYOS QUÍMICOS	DETERMINACIÓN DEL Ph (UNE 77305:99)				
	ACIDEZ BAUMANN-GULLY (EHE)				
	CONT. SULFATOS SOLUBLES (EHE; mg SO_4/kg)				
	CONTENIDO EN MATERIA ORGÁNICA (%)				
	CONTENIDO EN YESO (%)				
	CONTENIDO EN SALES (%)				
	CONTENIDO EN CARBONATOS (% CaCO_3)				
	AGRESIVIDAD DEL AGUA AL HORMIGÓN (EHE)				
ENSAYOS DE EXPANSIVIDAD Y DEFORMABILIDAD	ÍNDICE DE HINCHAMIENTO (LAMBE), MPa				
	CAMBIO DE VOLUMEN POTENCIAL (LAMBE)				
	HINCHAMIENTO LIBRE EN EDÓMETRO (%)				
	PRESIÓN DE HINCHAMIENTO EN EDÓM. (kPa)				
	INDICE DE COLAPSO (EDÓMETRO), (%)				
	INDICE DE POROS INICIAL (CONSOLID. EDÓM.)				
	INDICES compresión y Entumecimiento (CONSOLID. EDÓM.)				
ENSAYOS DE RESISTENCIA	MODULOS Edometrico secante y compresibilidad (CONSOLID. EDOM.)				
	COMPRESIÓN SIMPLE EN SUELOS (kPa)				
	ÁNGULO DE ROZAMIENTO INTERNO (º)				
	COHESIÓN (kPa)				
	COMPRESIÓN UNIAXIAL EN ROCAS (MPa)	29,67			
	RESISTENCIA A CARGA PUNTUAL (MPa)				
ENSAYOS DE COMPACTACIÓN	ENSAYO BRASILEÑO (MPa)				
	DENSIDAD MÁXIMA PROCTOR (P_M) (g/cm^3)				
	HUMEDAD ÓPTIMA PROCTOR (P_M) (%)				
	INDICE C.B.R. 100%				

Laboratorio de ensayos para el Control de Calidad de la Edificación acreditado por la Dirección General de Vivienda y Arquitectura del Gobierno de Cantabria, según Real Decreto 410/2010 de 31 de marzo, con número de acreditación CTB-L-008



APERTURA Y DESCRIPCIÓN DE MUESTRAS

APERTURA Y DESCRIPCIÓN DE MUESTRAS		Hoja 1 de 1
PETICIONARIO (CLIENTE): <i>FULCRUM</i>	REALIZADO: M.A. ORTIZ REVISADO: PABLO SALVARREY ISEQUILLA	INFORME Nº E181214
OBRA: <i>Altzola</i>	FECHA DE EMISIÓN DE INFORME:	12/01/2015

Ref. Muestra	Profundidad Extracción	Localización	Tipo	Características Físicas:		Descripción de la muestra	Resistencia		Reacción en frío al ácido clorhídrico
				Color			Al corte sin drenaje TORVANE (kp/cm ²)	Micropenetrómetro SOIL TEST (kp/cm ²)	
1469	2,40-2,70	S1	TP	Gris oscuro		Margas y margas arenosas	-	-	Positiva
1470	9,25-9,50	S1	TP	Gris oscuro		Margas arenosas	-	-	Positiva
1471	3,00-3,60	S3	M1	Marrón ocre		Arcilla y limo con arena y grava	-	-	-
1472	6,00-6,60	S3	M1	Marrón anaranjado		Grava arcillosa con limo y arena	-	-	-
1473	9,00-9,60	S3	M1	Marrón		Arena arcillosa con limo y grava	-	-	-
1474	12,60-13,20	S3	M1	Marrón anaranjado		Arena arcillosa con limo y grava	-	-	-
1475	3,00-3,60	S5	M1	Marrón ocre		Arena arcillosa con limo y grava	-	-	-
1476	9,90-10,20	S5	TP	Gris oscuro		Arenisca	-	-	Negativa
1477	10,80-11,20	S5	TP	Gris oscuro		Limolita	-	-	Negativa
1478	12,00-12,30	S5	TP	Gris oscuro		Arenisca	-	-	Negativa
1479	14,40-14,70	S5	TP	Gris oscuro		Limolita	-	-	Negativa
1480	18,20-18,50	S5	TP	Gris oscuro		Areniscas y limolitas	-	-	Negativa

Observaciones:

Fdo: Ignacio Safr José
Director Técnico

Laboratorio de ensayos para el Control de Calidad de la Edificación acreditado por la Dirección General de Vivienda y Arquitectura del Gobierno de Cantabria, según Real Decreto 410/2010 de 31 de marzo, con número de acreditación CTB-L-008

Nº Referencia Muestra:	1469	Informe N°:	E181214
Muestra (Origen / Profundidad):	S1	2,40-2,70 m	
Fecha de Toma:	10/12/2014		
Fecha de Ensayo:	18/12/2014	Fecha de emisión del Informe:	12/01/2015
Procedencia (Obra / Cliente):	Altzola		FULCRUM

Diámetro de la probeta D (cm)	7,10	PESO PROBETA HÚMEDA + tara	2076,99
Altura de la probeta L (cm)	17,80	PESO PROBETA SECA + tara	2053,56
Carga de rotura P (Kg)	10589	TARA	141,92
Humedad (%)	1,23	AGUA	23,43
Densidad aparente (g/cm ³)	2,75	ROCA SECA	1911,64
Densidad seca (g/cm ³)	2,71		
Resistencia a la compresión uniaxial para la muestra		26,22	
$\sigma_c = 10,2 \cdot P / (\pi D^2 / 4)$, MPa			



Este resultado es válido para esta muestra

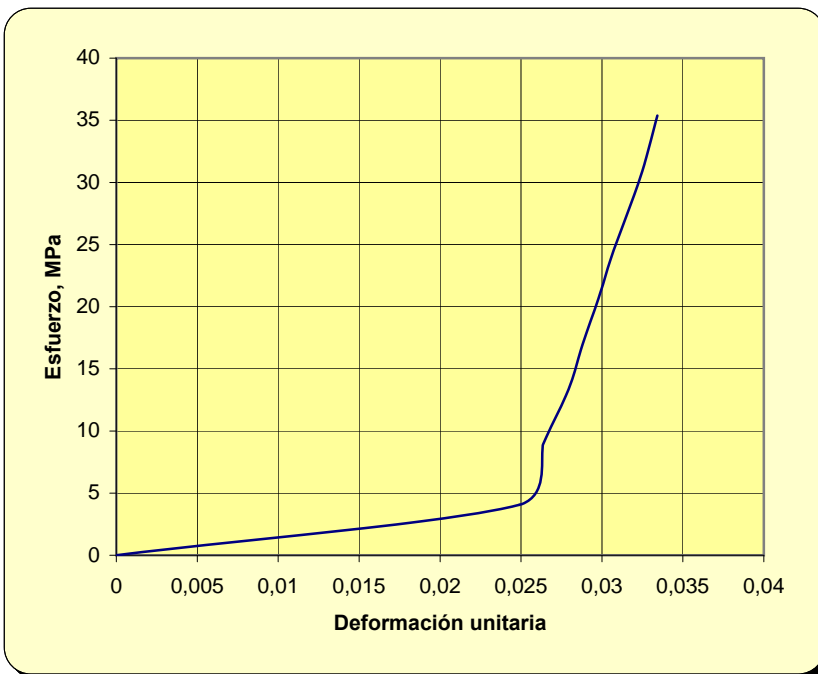
OBSERVACIONES:

Fdo. Pablo Salvarrey
Director del Laboratorio

Fdo. Ignacio San José
Director Técnico

Nº Referencia Muestra:	1470	Informe N°:	E181214
Muestra (Origen / Profundidad):	S1	9,25-9,50 m	
Fecha de Toma:	10/12/2014		
Fecha de Ensayo:	18/12/2014	Fecha de emisión del Informe:	22/12/2014
Procedencia (Obra / Cliente):	Altzola		FULCRUM

Diámetro de la probeta D (cm)	7,10	PESO PROBETA HÚMEDA + tara	2160,07
Altura de la probeta L (cm)	18,40	PESO PROBETA SECA + tara	2157,10
Carga de rotura P (Kg)	14287	TARA	142,22
Humedad (%)	0,15	AGUA	2,97
Densidad aparente (g/cm ³)	2,77	ROCA SECA	2014,88
Densidad seca (g/cm ³)	2,77		
Resistencia a la compresión uniaxial para la muestra	35,38		
$\sigma_c = 10,2 \cdot P / (\pi D^2 / 4)$, MPa			



Fdo. Pablo Salvarrey
Director del Laboratorio

Fdo. Ignacio San José
Director Técnico

GTK Laboratorio Geotécnico	GTK Laboratorio Geotécnico Laboratorio de Control de Calidad. Edificación y Obra Civil	Hoja 1 de 1
DETERMINACIÓN DE LA HUMEDAD (UNE 103 300:93)		

Nº Referencia Muestra:	1471	Informe Nº:	E181214
Muestra (Origen / Profundidad):	S3	3,00-3,60 m	
Fecha de Toma:	05/12/2014		
Fecha de Ensayo:	18/12/2014	Fecha de emisión del Informe:	12/01/2015
Procedencia (Obra / Cliente):		Altzola	FULCRUM

Agua	$a = (t+s+a)-(t+s)$	24
Tara+suelo+agua	t+s+a	196,26
Tara+suelo	t+s	172,26
Tara	t	60,36
Suelo	s	111,90
% Humedad	$a/s \times 100$	21,4

OBSERVACIONES: _____

El resultado de este ensayo es válido para esta muestra.



Fdo. Pablo Salvarrey
Director del Laboratorio



Fdo. Ignacio San José
Director Técnico

	GTK Laboratorio Geotécnico Laboratorio de Control de Calidad. Edificación y Obra Civil ANÁLISIS GRANULOMÉTRICO DE SUELOS POR TAMIZADO (UNE 103 101:95)	Hoja 1 de 2
---	---	-------------

Nº Referencia Muestra:	1471	Informe Nº:	E181214
Muestra (Origen / Profundidad):	S3	3,00-3,60 m	
Fecha de Toma:	05/12/2014		
Fecha de Ensayo:	19/12/2014	Fecha de emisión del Informe:	12/01/2015
Procedencia (Obra / Cliente):	Altzola		FULCRUM

CÁLCULOS PREVIOS		
A	Muestra total seca al aire	2765,60
B	Gruesos sin lavar	933,20
C	Gruesos lavados	323,82
E=(A-B) x f	Fracción fina seca total	1777,26
F= B+E	Muestra total seca	2710,46
G	Fracción fina ensayada	31,50
H= G x f	Fraccion fina ensayada seca	30,55

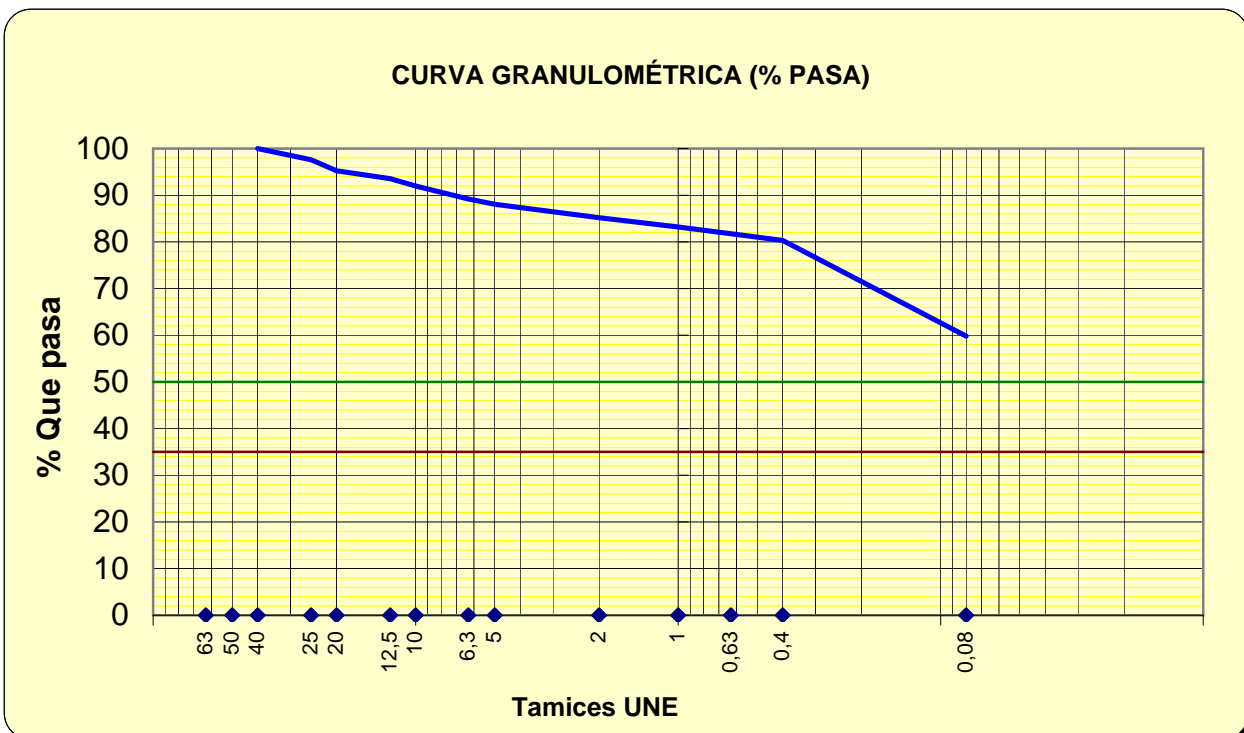
Por fracción gruesa se entiende el material retenido por el tamiz nº10
y fracción fina el que pasa por el mismo tamiz

HUMEDAD HIGROSCÓPICA		
f= 100/(100+h)	Factor de corrección	0,9699
h=(a/s)x100	Hum. higroscópica %	3,10
-	Referencia tara	1
a=(t+s+a)- (t+s)	Aqua	2,91
t+s+a	Tara+suelo+agua	159,40
t+s	Tara + suelo	156,49
t	Tara	62,70
s	Suelo	93,79

U.N.E.	TAMICES		Retenido en tamices		Pasa en muestra total		Descripción del suelo	
	A.S.T.M.		Grs.en la parte fina ensayada	Grs.en la muestra total	Gramos	% Pasa		
	Designación	Abertura mm.						
1	2 A	2 B	3	4	5	6		
					2.710,46	100,0		
63	2 1/2 "	63,5		0,00	2.710,46	100,0		
50	2 "	50,8		0,00	2.710,46	100,0		
40	1 1/2 "	38,1		0,00	2.710,46	100,0		
25	1 "	25,4		65,41	2.645,05	97,6		
20	3/4 "	19,1		64,25	2.580,80	95,2		
12,5	1/2 "	12,7		45,30	2.535,50	93,5		
10	3/8 "	9,52		43,00	2.492,50	92,0		
6,3	1/4 "	6,30		74,46	2.418,04	89,2		
5	Nº 4	4,76		31,40	2.386,64	88,1		
2	Nº 10	2,00	1,33	77,37	2.309,27	85,2		
1	Nº 16	1,15	0,94	54,68	2.254,59	83,2		
0,6	Nº 30	0,59	0,66	38,39	2.216,20	81,8		
0,40	Nº 40	0,420	0,68	39,56	2.176,64	80,3		
0,08	Nº200	0,074	9,55	555,54	1.621,10	59,8		

 GTK Laboratorio Geotécnico	GTK Laboratorio Geotécnico Laboratorio de Control de Calidad. Edificación y Obra Civil ANÁLISIS GRANULOMÉTRICO DE SUELOS POR TAMIZADO (UNE 103 101:95)	Hoja 2 de 2
---	---	-------------

Nº Referencia Muestra: 1471



Tamices	63	50	40	25	20	12,5	10	6,3	5	2	1	0,63	0,4	0,08
% pasa	100,0	100,0	100,0	97,6	95,2	93,5	92,0	89,2	88,1	85,2	83,2	81,8	80,3	59,8

%	SUCS	CTE
GRAVA	11,9	14,8
ARENA	28,2	25,4
FINOS	59,8	59,8

OBSERVACIONES:

El resultado de este ensayo es válido para esta muestra.



Fdo. Pablo Salvarrey
Director del Laboratorio



Fdo: Ignacio San José
Director Técnico

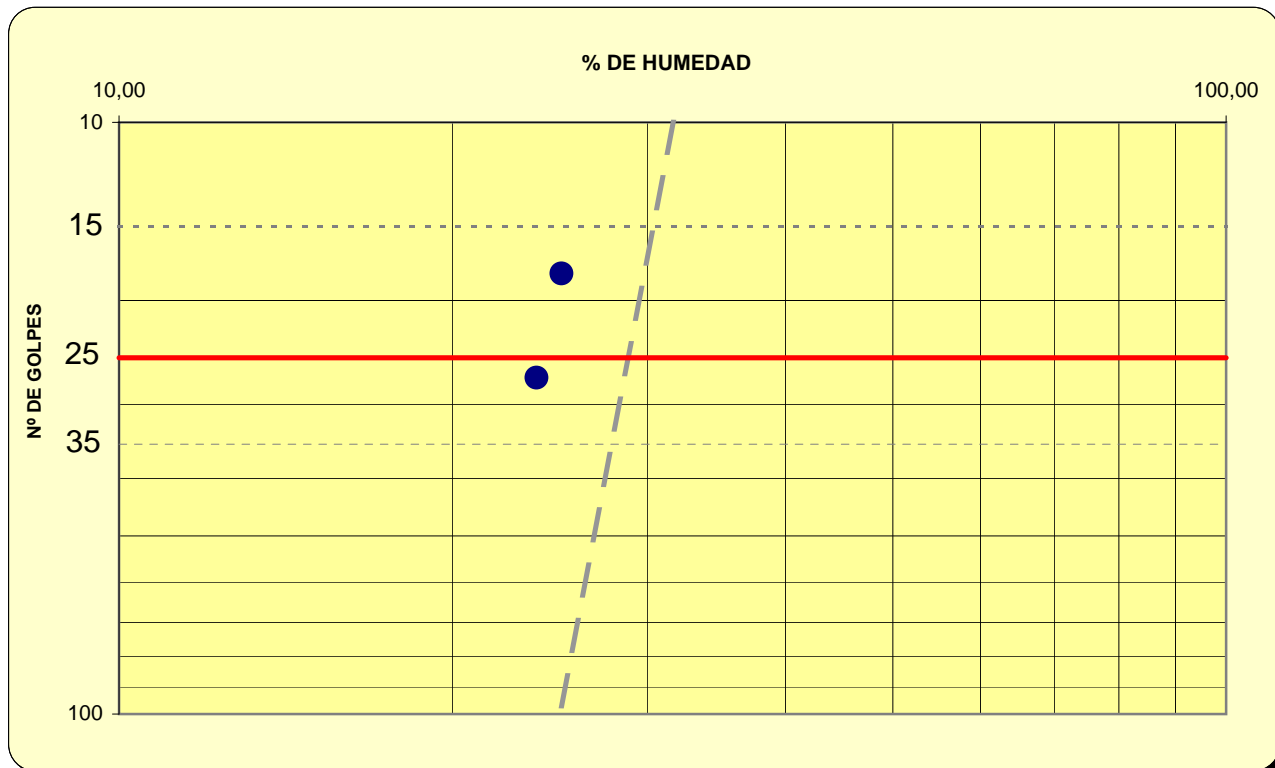


DETERMINACIÓN DEL LÍMITE LÍQUIDO POR EL MÉTODO DEL APARATO DE CASAGRANDE (UNE 103 103:94) y LÍMITE PLÁSTICO (UNE 103 104:93) DE UN SUELO

Nº Referencia Muestra:	1471	Informe Nº:	E181214
Muestra (Origen / Profundidad):	S3 3,00-3,60 m		
Fecha de Toma:	05/12/2014		
Fecha de Ensayo:	22/12/2014	Fecha de emisión del Informe:	12/01/2015
Procedencia (Obra / Cliente):	<i>Altzola</i>		<i>FULCRUM</i>

LÍMITE LÍQUIDO (UNE 103 103:94)	Número de golpes	18	27
	Referencia tara	1	2
t+s+a	Tara+suelo+agua	31,24	31,91
t+s	Tara+suelo	29,35	30,18
t	Tara	21,82	22,92
s=(t+s+a)-(t+s)	Suelo	7,53	7,26
a=(t+s+a)-(t+s)	Aqua	1,89	1,73
w=100x a / s	Humedad (%)	25,10	23,83

**LÍMITE
LÍQUIDO**
24,1



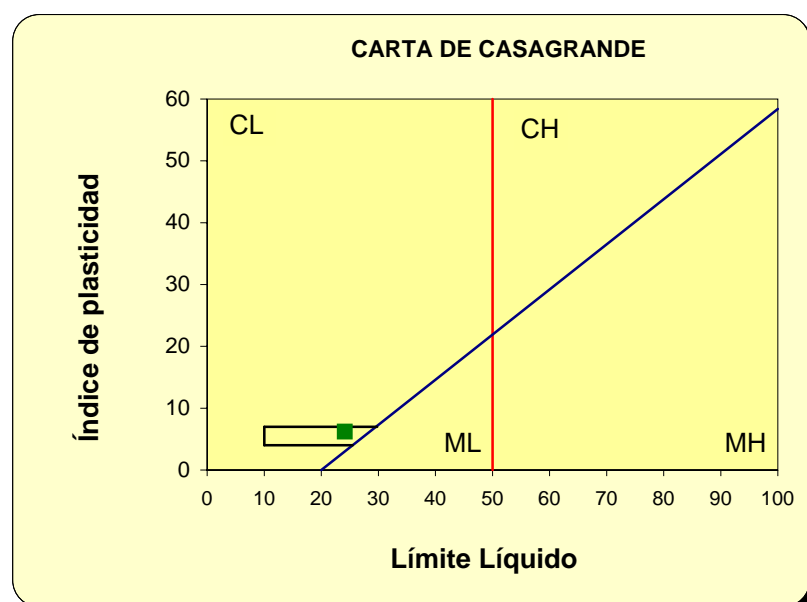
Nº Referencia Muestra: **1471**

LÍMITE PLÁSTICO (UNE 103 104:94)	Referencia tara	1	2
t+s+a	Tara+suelo+agua	27,19	26,13
t+s	Tara+suelo	26,47	25,46
t	Tara	22,40	21,76
s=(t+s)-t	Suelo	4,07	3,70
a=(t+s+a)-(t+s)	Agua	0,72	0,67
w=100x a / s	Humedad (%)	17,69	18,11

**LÍMITE
PLÁSTICO**

17,9

FRACCIÓN > 5,00 mm, %	11,9
FRACCIÓN < 0,08 mm, %	59,8
LÍMITE LÍQUIDO, LL	24,1
LÍMITE PLÁSTICO, LP	17,9
ÍNDICE DE PLASTICIDAD, IP	6,2
CLASIFICACIÓN SUCS	CL-ML
DESCRIPCIÓN ASTM D-2486	Arcilla y limo de baja plasticidad



OBSERVACIONES: _____

El resultado de este ensayo es válido para esta muestra.

Fdo. Pablo Salvarrey
Director del Laboratorio

Fdo. Ignacio San José
Director Técnico

 GTK Laboratorio Geotécnico	GTK Laboratorio Geotécnico Laboratorio de Control de Calidad. Edificación y Obra Civil	Hoja 1 de 1
DURABILIDAD DEL HORMIGÓN. SUELOS AGRESIVOS (UNE 83962; UNE 83963)		

Nº Referencia Muestra:	1471		Informe N°:	E181214
Muestra (Origen / Profundidad):	S3	3,00-3,60 m		
Fecha de Toma:	05/12/2014			
Fecha de Ensayo:	19/12/2014		Fecha de emisión del Informe:	12/01/2015
Procedencia (Obra / Cliente):		Altzola		FULCRUM

Peso de suelo seco ensayado (g)	100
Volumen de líquido recogido para la valoración (ml)	50
Volumen de Hidróxido de Sodio empleado en la valoración (ml)	0,6
Grado de acidez (ml/kg suelo) (UNE 83962)	24

Peso de suelo analizado: M (kg)	-
Tara del crisol: C (g)	-
Peso del filtro calcinado: F (g)	-
C + F + Precipitado (g)	-
Peso precipitado = (C + F + Precipitado)-(C + F)	-
mg SO ₄ ²⁻ / kilo de suelo = 411,6 x P / M	-
Contenido en ión SO₄²⁻ (%) (UNE 83963)	-

DETERMINACIÓN	Resultado del ensayo	GRADO DE AGRESIVIDAD		
		Débil (Qa)	Medio (Qb)	Fuerte (Qc)
Acidez Baumann-Gully (ml/kg suelo)	24	> 200	-	-
Contenido en sulfatos (mg SO ₄ ²⁻ / kilo de suelo)	-	2000 a 3000	3000 a 12000	> 12000

EVALUACIÓN DE LA AGRESIVIDAD:

El suelo no es agresivo para el hormigón por acidez

OBSERVACIONES:

El resultado de este ensayo es válido para esta muestra.



Fdo. Pablo Salvarrey
Director del Laboratorio



Fdo. Ignacio San José
Director Técnico

 GTK Laboratorio Geotécnico	GTK Laboratorio Geotécnico Laboratorio de Control de Calidad. Edificación y Obra Civil	Hoja 1 de 1
DETERMINACIÓN DE LA HUMEDAD (UNE 103 300:93)		

Nº Referencia Muestra:	1472		Informe Nº:	E181214
Muestra (Origen / Profundidad):	S3	6,00-6,60 m		
Fecha de Toma:	05/12/2014			
Fecha de Ensayo:	18/12/2014		Fecha de emisión del Informe:	12/01/2015
Procedencia (Obra / Cliente):		Altzola		FULCRUM

Agua	a = (t+s+a)-(t+s)	6
Tara+suelo+agua	t+s+a	111,54
Tara+suelo	t+s	105,54
Tara	t	68,89
Suelo	s	36,65
% Humedad	a/s x 100	16,4

OBSERVACIONES: _____

El resultado de este ensayo es válido para esta muestra.



Fdo. Pablo Salvarrey
Director del Laboratorio



Fdo. Ignacio San José
Director Técnico

Nº Referencia Muestra:	1472		Informe Nº:	E181214
Muestra (Origen / Profundidad):	S3	6,00-6,60 m		
Fecha de Toma:	05/12/2014			
Fecha de Ensayo:	18/12/2014		Fecha de emisión del Informe:	12/01/2015
Procedencia (Obra / Cliente):		Altzola		FULCRUM

Agua	$a = (t+s+a)-(t+s)$	6,00
Tara+suelo+agua	$t+s+a$	111,54
Tara+suelo	$t+s$	105,54
Tara	t	68,89
Suelo	s	36,65
% Humedad	$w = a/s \times 100$	16,4

Masa muestra	$M_1(g)$	92,27
Masa muestra+parafina	$M_2(g)$	97,44
Masa parafina añadida	$M_3(g) = M_2 - M_1$	5,17
Volumen parafina	$V_1(cm^3) = M_3 / \rho_p$	6,15
Densidad parafina	$\rho_p(g/cm^3)$	0,84
Masa sumergida muestra+parafina	$M_4(g)$	49,80
Volumen muestra	$V_2 = M_2 - M_4 - V_1$	41,49
Densidad húmeda	$\rho = M_1 / V_2$	2,224
Densidad seca	$\rho_d = \rho / [1 + (w / 100)]$	1,911

OBSERVACIONES:

El resultado de este ensayo es válido para esta muestra.

Fdo. Pablo Salvarrey
Director del Laboratorio

Fdo. Ignacio San José
Director Técnico

	GTK Laboratorio Geotécnico Laboratorio de Control de Calidad. Edificación y Obra Civil ANÁLISIS GRANULOMÉTRICO DE SUELOS POR TAMIZADO (UNE 103 101:95)	Hoja 1 de 2
---	---	-------------

Nº Referencia Muestra:	1472	Informe Nº:	E181214
Muestra (Origen / Profundidad):	S3	6,00-6,60 m	
Fecha de Toma:	05/12/2014		
Fecha de Ensayo:	19/12/2014	Fecha de emisión del Informe:	12/01/2015
Procedencia (Obra / Cliente):	Altzola		FULCRUM

CÁLCULOS PREVIOS		
A	Muestra total seca al aire	1310,30
B	Gruesos sin lavar	537,70
C	Gruesos lavados	371,92
E=(A-B) x f	Fracción fina seca total	760,52
F= B+E	Muestra total seca	1298,22
G	Fracción fina ensayada	30,30
H= G x f	Fraccion fina ensayada seca	29,83

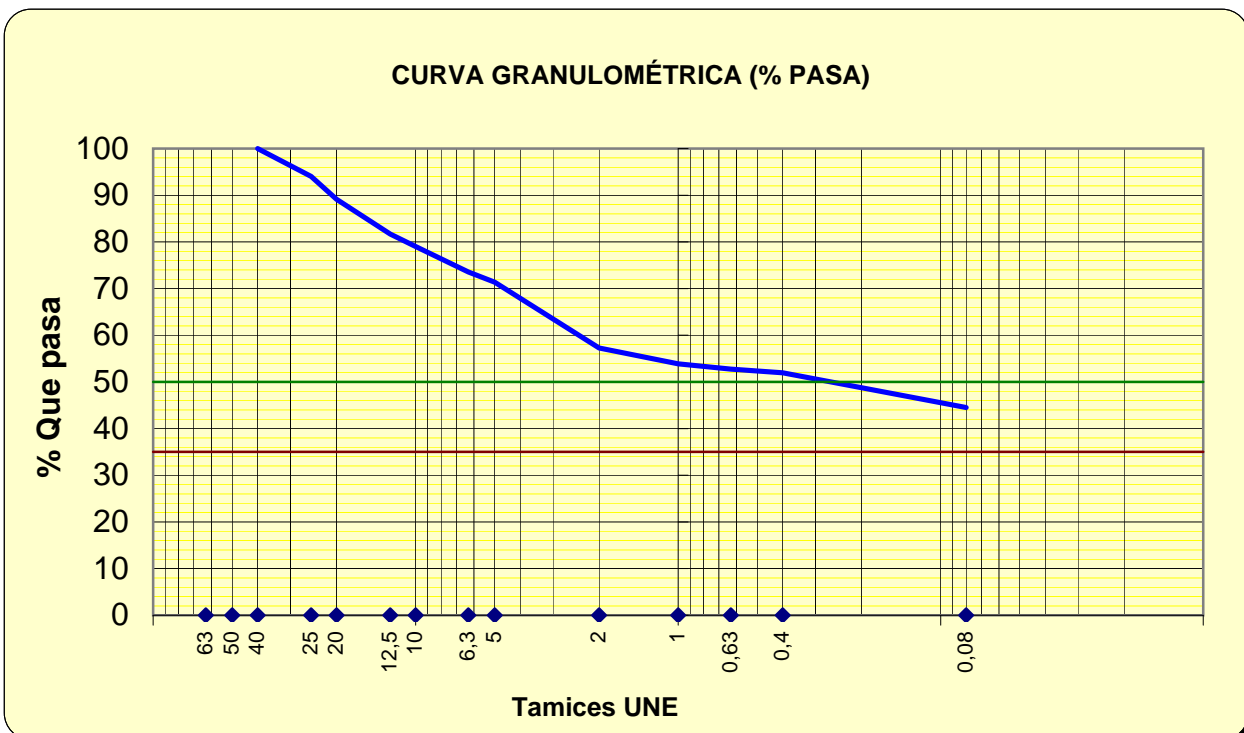
Por fracción gruesa se entiende el material retenido por el tamiz nº10 y fracción fina el que pasa por el mismo tamiz

HUMEDAD HIGROSCÓPICA		
f= 100/(100+h)	Factor de corrección	0,9844
h=(a/s)x100	Hum. higroscópica %	1,59
-	Referencia tara	1
a=(t+s+a)- (t+s)	Aqua	1,14
t+s+a	Tara+suelo+agua	138,70
t+s	Tara + suelo	137,56
t	Tara	65,80
s	Suelo	71,76

U.N.E.	TAMICES		Retenido en tamices		Pasa en muestra total		Descripción del suelo	
	A.S.T.M.		Grs.en la parte fina ensayada	Grs.en la muestra total	Gramos	% Pasa		
	Designación	Abertura mm.						
1	2 A	2 B	3	4	5	6		
					1.298,22	100,0		
63	2 1/2 "	63,5		0,00	1.298,22	100,0		
50	2 "	50,8		0,00	1.298,22	100,0		
40	1 1/2 "	38,1		0,00	1.298,22	100,0		
25	1 "	25,4		77,38	1.220,84	94,0		
20	3/4 "	19,1		63,70	1.157,14	89,1		
12,5	1/2 "	12,7		96,75	1.060,39	81,7		
10	3/8 "	9,52		34,43	1.025,96	79,0		
6,3	1/4 "	6,30		71,18	954,78	73,5		
5	Nº 4	4,76		28,48	926,30	71,4		
2	Nº 10	2,00	7,17	182,82	743,48	57,3		
1	Nº 16	1,15	1,72	43,86	699,62	53,9		
0,6	Nº 30	0,59	0,58	14,79	684,83	52,8		
0,40	Nº 40	0,420	0,41	10,45	674,37	51,9		
0,08	Nº200	0,074	3,78	96,38	577,99	44,5		

 GTK Laboratorio Geotécnico	GTK Laboratorio Geotécnico Laboratorio de Control de Calidad. Edificación y Obra Civil ANÁLISIS GRANULOMÉTRICO DE SUELOS POR TAMIZADO (UNE 103 101:95)	Hoja 2 de 2
---	---	-------------

Nº Referencia Muestra: 1472



Tamicces	63	50	40	25	20	12,5	10	6,3	5	2	1	0,63	0,4	0,08
% pasa	100,0	100,0	100,0	94,0	89,1	81,7	79,0	73,5	71,4	57,3	53,9	52,8	51,9	44,5

%	SUCS	CTE
GRAVA	28,6	42,7
ARENA	26,8	12,7
FINOS	44,5	44,5

OBSERVACIONES:

El resultado de este ensayo es válido para esta muestra.



Fdo. Pablo Salvarrey
Director del Laboratorio

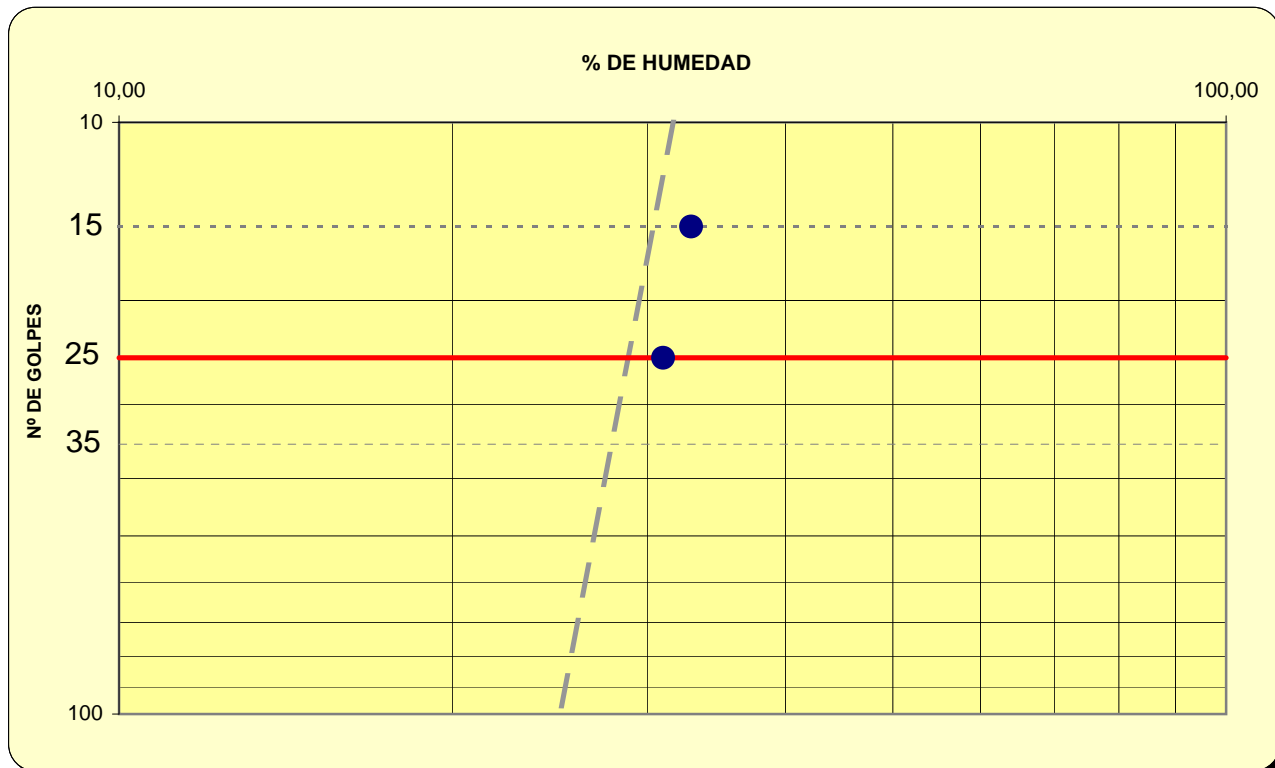


Fdo: Ignacio San José
Director Técnico

Nº Referencia Muestra:	1472	Informe Nº:	E181214
Muestra (Origen / Profundidad):	S3	6,00-6,60 m	
Fecha de Toma:	05/12/2014		
Fecha de Ensayo:	22/12/2014	Fecha de emisión del Informe:	12/01/2015
Procedencia (Obra / Cliente):		<i>Altzola</i>	<i>FULCRUM</i>

LÍMITE LÍQUIDO (UNE 103 103:94)	Número de golpes	15	25
	Referencia tara	1	2
t+s+a	Tara+suelo+agua	28,92	32,69
t+s	Tara+suelo	27,27	30,20
t	Tara	22,25	22,17
s=(t+s+a)-(t+s)	Suelo	5,02	8,03
w=100x a / s	Aqua	1,65	2,49
	Humedad (%)	32,87	31,01

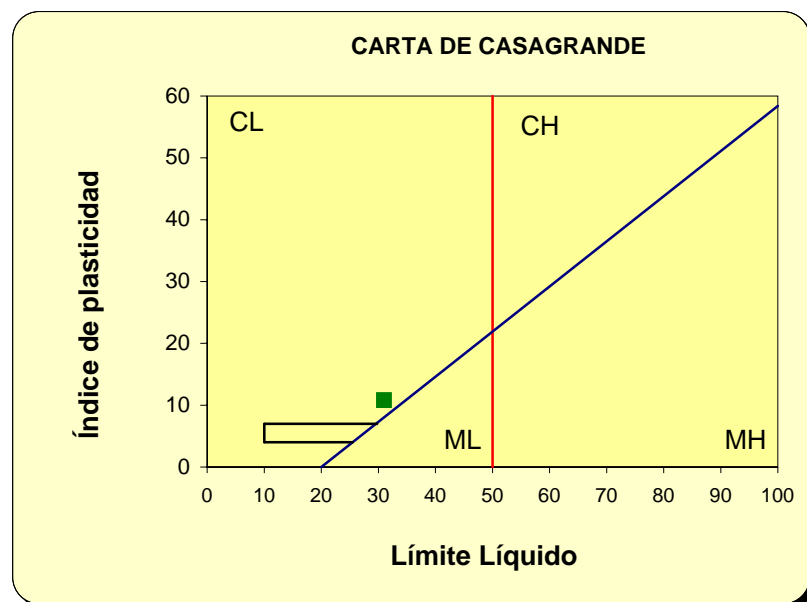
LÍMITE LÍQUIDO
31,0



Nº Referencia Muestra: **1472**

LÍMITE PLÁSTICO (UNE 103 104:94)	Referencia tara	1	2	LÍMITE PLÁSTICO
t+s+a	Tara+suelo+agua	27,60	26,19	
t+s	Tara+suelo	26,68	25,51	
t	Tara	22,09	22,17	
s=(t+s)-t	Suelo	4,59	3,34	
a=(t+s+a)-(t+s)	Agua	0,92	0,68	
w=100x a / s	Humedad (%)	20,04	20,36	20,2

FRACCIÓN > 5,00 mm, %	28,6
FRACCIÓN < 0,08 mm, %	44,5
LÍMITE LÍQUIDO, LL	31,0
LÍMITE PLÁSTICO, LP	20,2
ÍNDICE DE PLASTICIDAD, IP	10,8
CLASIFICACIÓN SUCS	GC
DESCRIPCIÓN ASTM D-2486	
Grava arcillosa	



OBSERVACIONES: _____

El resultado de este ensayo es válido para esta muestra.

Fdo. Pablo Salvarrey
Director del Laboratorio

Fdo. Ignacio San José
Director Técnico

 GTK Laboratorio Geotécnico	GTK Laboratorio Geotécnico Laboratorio de Control de Calidad. Edificación y Obra Civil	Hoja 1 de 1
DURABILIDAD DEL HORMIGÓN. SUELOS AGRESIVOS (UNE 83962; UNE 83963)		

Nº Referencia Muestra:	1472		Informe N°:	E181214
Muestra (Origen / Profundidad):	S3	6,00-6,60 m		
Fecha de Toma:	05/12/2014			
Fecha de Ensayo:	19/12/2014		Fecha de emisión del Informe:	12/01/2015
Procedencia (Obra / Cliente):		Altzola		FULCRUM

Peso de suelo seco ensayado (g)	100
Volumen de líquido recogido para la valoración (ml)	50
Volumen de Hidróxido de Sodio empleado en la valoración (ml)	4,5
Grado de acidez (ml/kg suelo) (UNE 83962)	180

Peso de suelo analizado: M (kg)	0,05
Tara del crisol: C (g)	110,2439
Peso del filtro calcinado: F (g)	0,0000
C + F + Precipitado (g)	110,2511
Peso precipitado = (C + F + Precipitado)-(C + F)	0,0072
mg SO ₄ ²⁻ / kilo de suelo = 411,6 x P / M	59,2704
Contenido en ión SO₄²⁻ (%) (UNE 83963)	0,006

DETERMINACIÓN	Resultado del ensayo	GRADO DE AGRESIVIDAD		
		Débil (Qa)	Medio (Qb)	Fuerte (Qc)
Acidez Baumann-Gully (ml/kg suelo)	180	> 200	-	-
Contenido en sulfatos (mg SO ₄ ²⁻ / kilo de suelo)	59	2000 a 3000	3000 a 12000	> 12000

EVALUACIÓN DE LA AGRESIVIDAD:

El suelo no es agresivo para el hormigón

OBSERVACIONES:

El resultado de este ensayo es válido para esta muestra.



Fdo. Pablo Salvarrey
Director del Laboratorio

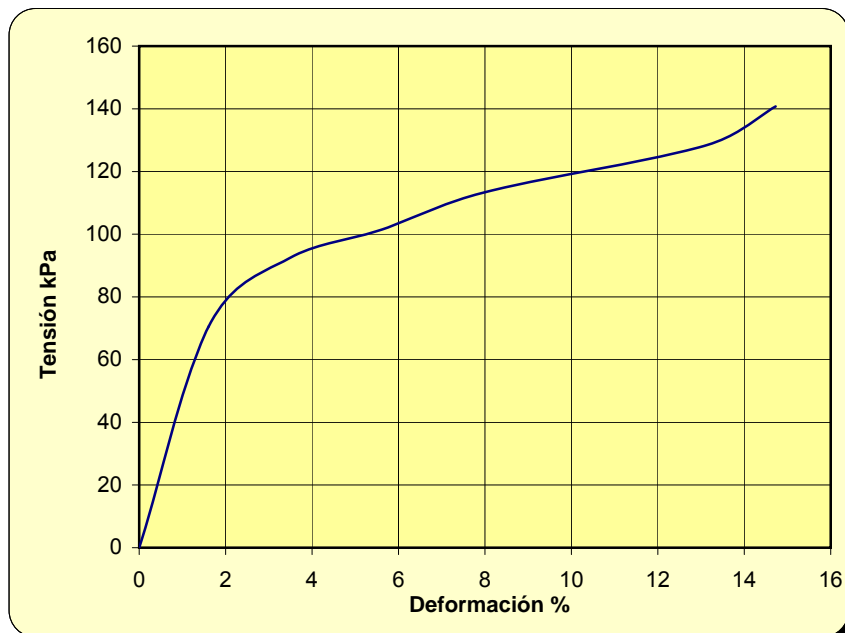


Fdo. Ignacio San José
Director Técnico

GTK Laboratorio Geotécnico	GTK Laboratorio Geotécnico Laboratorio de Control de Calidad. Edificación y Obra Civil	Hoja 1 de 1
ENSAYO DE ROTURA A COMPRESIÓN SIMPLE EN PROBETAS DE SUELO (UNE 103-400-93)		

Nº Referencia Muestra:	1472	Informe Nº:	E181214
Muestra (Origen / Profundidad):	S3 6,00-6,60 m		
Fecha de Toma:	05/12/2014		
Fecha de Ensayo:	18/12/2014	Fecha de emisión del Informe:	12/01/2015
Procedencia (Obra / Cliente):	Altzola		FULCRUM

TIPO DE MUESTRA			FORMA ROTURA
Diámetro	d (cm)	5,60	
Lado	m (cm)	-	
Lado	n (cm)	-	
Altura	h (cm)	11,00	
Humedad	w (%)	16,60	
Densidad aparente	γ_{ap} (g/cm ³)	2,26	
Densidad seca	γ_d (g/cm ³)	1,94	
Resistencia compresión simple	qu (kPa)	141	
Deformación en rotura	ϵ (%)	15,00	



OBSERVACIONES:

El resultado de este ensayo es válido para esta muestra.



Fdo. Pablo Salvarrey
Director del Laboratorio

Fdo. Ignacio San José
Director Técnico



 GTK Laboratorio Geotécnico	GTK Laboratorio Geotécnico Laboratorio de Control de Calidad. Edificación y Obra Civil	Hoja 1 de 1
DETERMINACIÓN DE LA HUMEDAD (UNE 103 300:93)		

Nº Referencia Muestra:	1473		Informe Nº:	E181214
Muestra (Origen / Profundidad):	S3	9,00-9,60 m		
Fecha de Toma:	05/12/2014			
Fecha de Ensayo:	18/12/2014		Fecha de emisión del Informe:	12/01/2015
Procedencia (Obra / Cliente):		Altzola		FULCRUM

Agua	a = (t+s+a)-(t+s)	12,28
Tara+suelo+agua	t+s+a	147,18
Tara+suelo	t+s	134,90
Tara	t	59,01
Suelo	s	75,89
% Humedad	a/s x 100	16,2

OBSERVACIONES: _____

El resultado de este ensayo es válido para esta muestra.



Fdo. Pablo Salvarrey
Director del Laboratorio



Fdo. Ignacio San José
Director Técnico

	GTK Laboratorio Geotécnico Laboratorio de Control de Calidad. Edificación y Obra Civil ANÁLISIS GRANULOMÉTRICO DE SUELOS POR TAMIZADO (UNE 103 101:95)	Hoja 1 de 2
---	---	-------------

Nº Referencia Muestra:	1473	Informe Nº:	E181214
Muestra (Origen / Profundidad):	S3	9,00-9,60 m	
Fecha de Toma:	05/12/2014		
Fecha de Ensayo:	19/12/2014	Fecha de emisión del Informe:	12/01/2015
Procedencia (Obra / Cliente):	Altzola		FULCRUM

CÁLCULOS PREVIOS		
A	Muestra total seca al aire	1869,90
B	Gruesos sin lavar	664,80
C	Gruesos lavados	460,85
E=(A-B) x f	Fracción fina seca total	1174,10
F= B+E	Muestra total seca	1838,90
G	Fracción fina ensayada	32,00
H= G x f	Fraccion fina ensayada seca	31,18

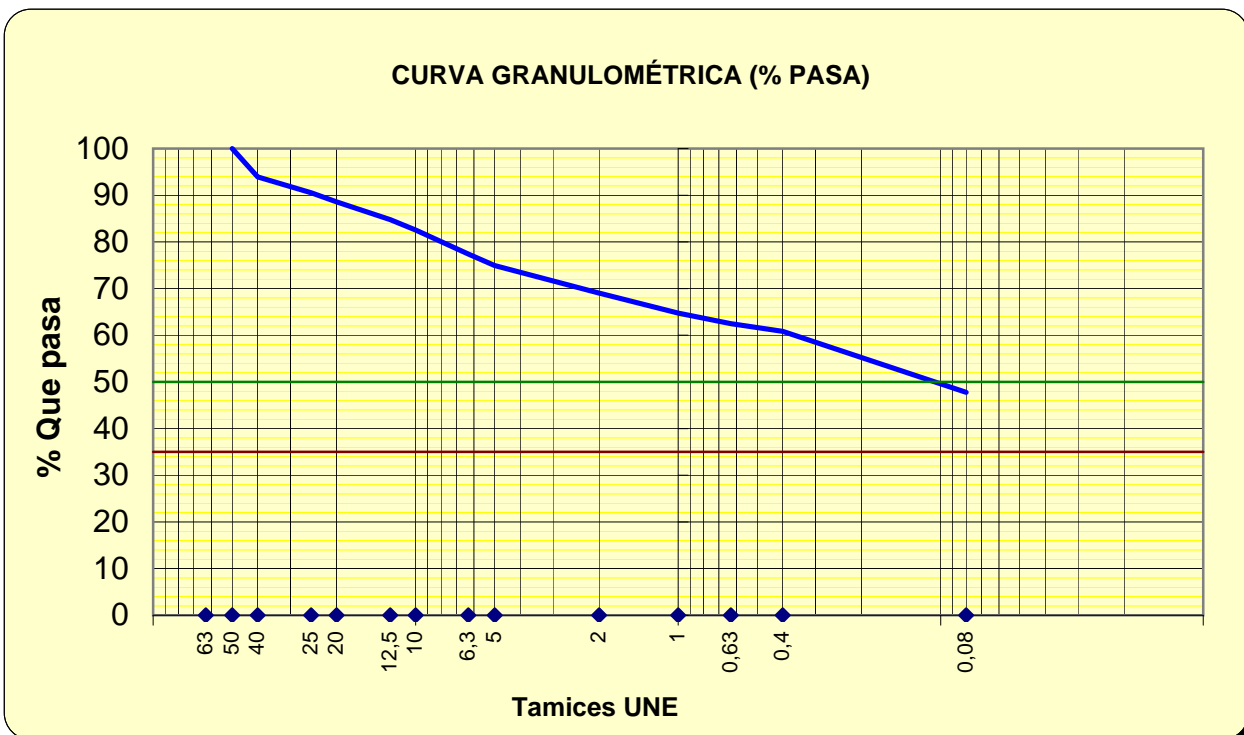
Por fracción gruesa se entiende el material retenido por el tamiz nº10
y fracción fina el que pasa por el mismo tamiz

HUMEDAD HIGROSCÓPICA		
f= 100/(100+h)	Factor de corrección	0,9743
h=(a/s)x100	Hum. higroscópica %	2,64
-	Referencia tara	1
a=(t+s+a)- (t+s)	Aqua	2,74
t+s+a	Tara+suelo+agua	172,80
t+s	Tara + suelo	170,06
t	Tara	66,30
s	Suelo	103,76

U.N.E.	TAMICES		Retenido en tamices		Pasa en muestra total		Descripción del suelo	
	A.S.T.M.		Grs.en la parte fina ensayada	Grs.en la muestra total	Gramos	% Pasa		
	Designación	Abertura mm.						
1	2 A	2 B	3	4	5	6		
					1.838,90	100,0		
63	2 1/2 "	63,5		0,00	1.838,90	100,0		
50	2 "	50,8		0,00	1.838,90	100,0		
40	1 1/2 "	38,1		111,33	1.727,57	93,9		
25	1 "	25,4		62,49	1.665,08	90,5		
20	3/4 "	19,1		36,15	1.628,93	88,6		
12,5	1/2 "	12,7		69,76	1.559,17	84,8		
10	3/8 "	9,52		41,21	1.517,96	82,5		
6,3	1/4 "	6,30		94,63	1.423,33	77,4		
5	Nº 4	4,76		45,28	1.378,05	74,9		
2	Nº 10	2,00	2,89	108,84	1.269,21	69,0		
1	Nº 16	1,15	2,09	78,71	1.190,50	64,7		
0,6	Nº 30	0,59	1,11	41,80	1.148,70	62,5		
0,40	Nº 40	0,420	0,79	29,75	1.118,95	60,8		
0,08	Nº200	0,074	6,39	240,64	878,31	47,8		

	GTK Laboratorio Geotécnico Laboratorio de Control de Calidad. Edificación y Obra Civil ANÁLISIS GRANULOMÉTRICO DE SUELOS POR TAMIZADO (UNE 103 101:95)	Hoja 2 de 2
---	---	-------------

Nº Referencia Muestra: 1473



Tamices	63	50	40	25	20	12,5	10	6,3	5	2	1	0,63	0,4	0,08
% pasa	100,0	100,0	93,9	90,5	88,6	84,8	82,5	77,4	74,9	69,0	64,7	62,5	60,8	47,8

%	SUCS	CTE
GRAVA	25,1	31,0
ARENA	27,2	21,3
FINOS	47,8	47,8

OBSERVACIONES:

El resultado de este ensayo es válido para esta muestra.



Fdo. Pablo Salvarrey
Director del Laboratorio

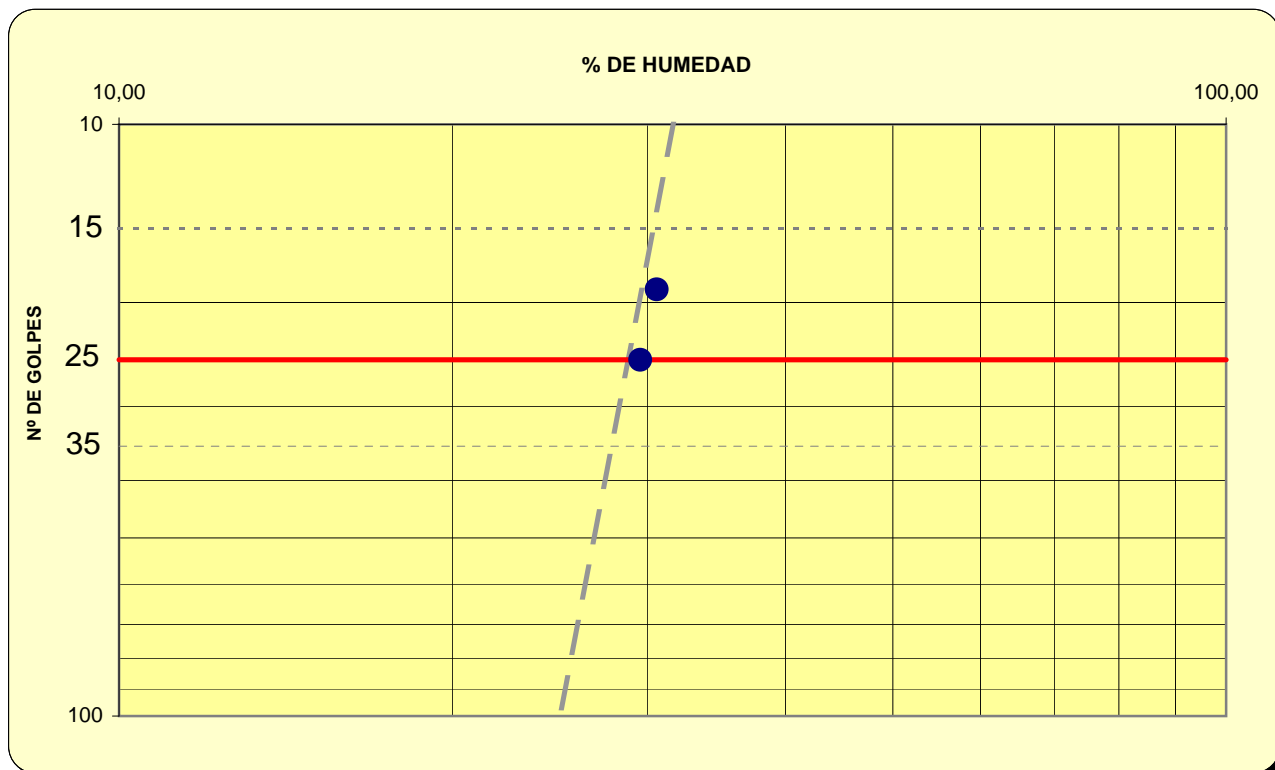


Fdo: Ignacio San José
Director Técnico

Nº Referencia Muestra:	1473	Informe Nº:	E181214
Muestra (Origen / Profundidad):	S3 9,00-9,60 m		
Fecha de Toma:	05/12/2014		
Fecha de Ensayo:	22/12/2014	Fecha de emisión del Informe:	12/01/2015
Procedencia (Obra / Cliente):	Altzola		FULCRUM

LÍMITE LÍQUIDO (UNE 103 103:94)	Número de golpes	19	25
	Referencia tara	1	2
t+s+a	Tara+suelo+agua	30,88	28,55
t+s	Tara+suelo	28,87	26,59
t	Tara	22,30	19,96
s=(t+s+a)-(t+s)	Suelo	6,57	6,63
a=(t+s+a)-(t+s)	Aqua	2,01	1,96
w=100x a / s	Humedad (%)	30,59	29,56

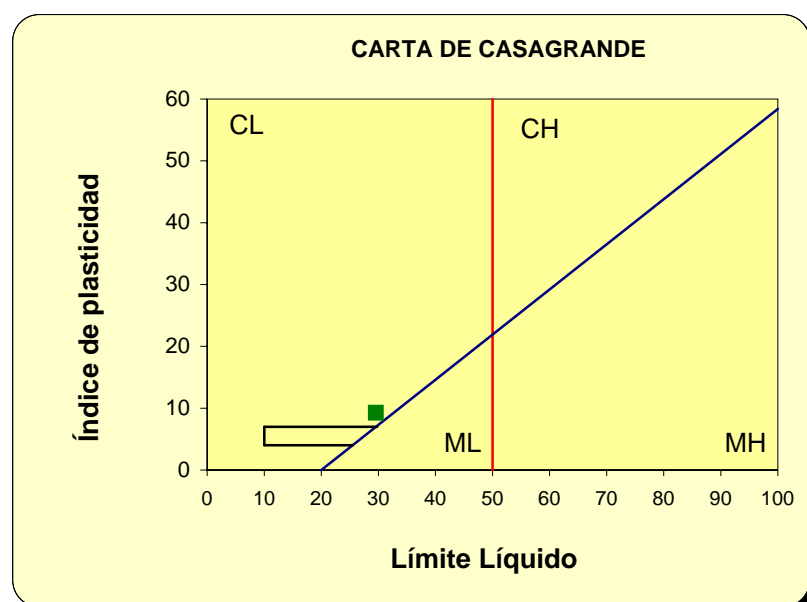
LÍMITE LÍQUIDO
29,6



Nº Referencia Muestra: **1473**

LÍMITE PLÁSTICO (UNE 103 104:94)	Referencia tara	1	2	LÍMITE PLÁSTICO 20,3
t+s+a	Tara+suelo+agua	24,27	28,36	
t+s	Tara+suelo	23,67	27,44	
t	Tara	20,71	22,91	
s=(t+s)-t	Suelo	2,96	4,53	
a=(t+s+a)-(t+s)	Agua	0,60	0,92	
w=100x a / s	Humedad (%)	20,27	20,31	

FRACCIÓN > 5,00 mm, %	25,1
FRACCIÓN < 0,08 mm, %	47,8
LÍMITE LÍQUIDO, LL	29,6
LÍMITE PLÁSTICO, LP	20,3
ÍNDICE DE PLASTICIDAD, IP	9,3
CLASIFICACIÓN SUCS	SC
DESCRIPCIÓN ASTM D-2486	
Arena arcillosa	



OBSERVACIONES: _____

El resultado de este ensayo es válido para esta muestra.

Fdo. Pablo Salvarrey
Director del Laboratorio

Fdo. Ignacio San José
Director Técnico



TRIAXIAL DE SUELOS

(Norma UNE 103402)

CLIENTE: GTK LABORATORIO GEOTECNICO

TRABAJO: P.C. VARIANTE ALTZOLA

INDICATIVO: 14278 LABORANTE: Elena Buitrago

MUESTRA: 1473

FECHA: 23/12/14 Hoja 1 de 2

CDIAM-EnsayoTRS (20030721)

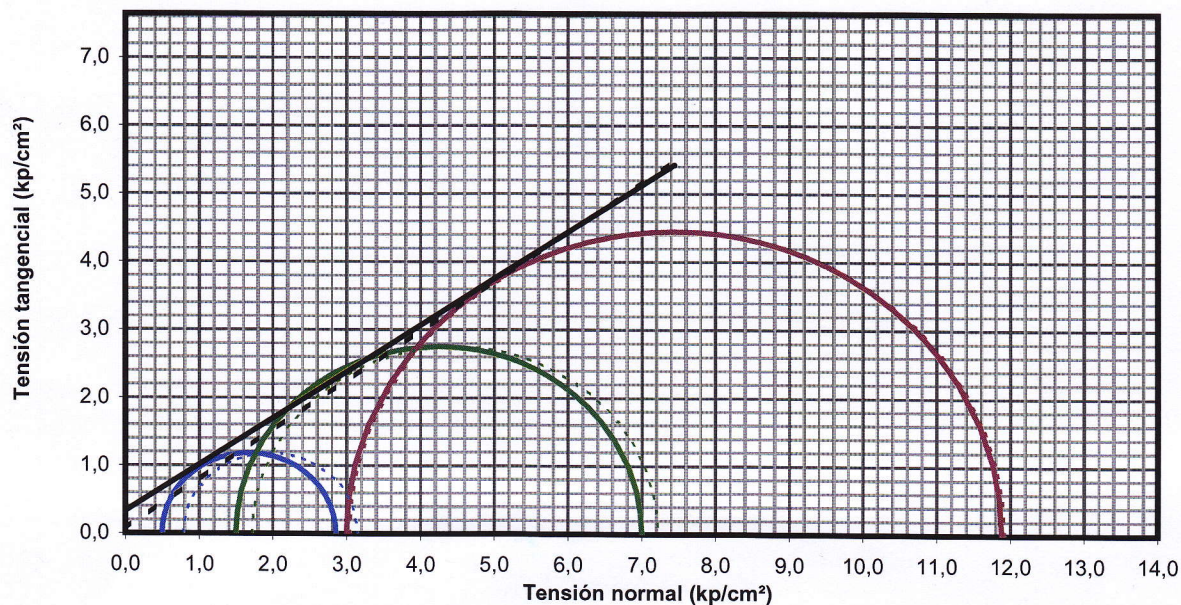
Tipo de ensayo triaxial

Consolidado sin drenaje y con medida de presiones intersticiales (CU) sobre muestra Inalterada

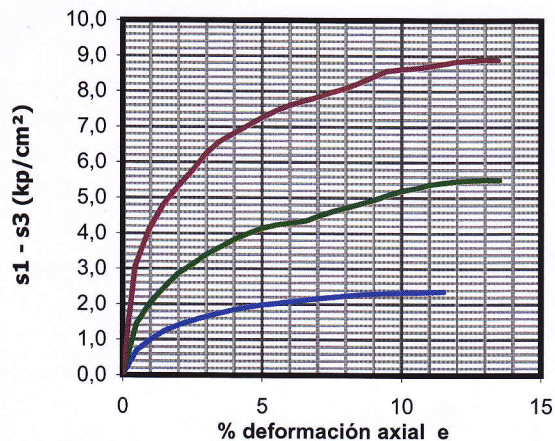
Velocidad del ensayo 0,038 mm/min.

Datos generales	I	II	III	Interpretación	Totales	Efectivas
Presión externa (kp/cm ²):	6,50	7,50	9,00	Cohesión (kp/cm ²):	0,33	0,06
Presión de cola (kp/cm ²):	6,00	6,00	6,00	Fricción (°):	34,39	36,18
Diámetro (cm):	3,83	3,83	3,82	Pendiente:	0,68	0,73
Altura (cm):	7,62	7,63	7,63	Datos rotura	I II III I' II' III'	
Humedad inicial (%):	16,63	16,97	16,56	(s ₁ +s ₃)/2 (kp/cm ²):	1,68 4,25 7,44 1,97 4,47 7,49	
Humedad final (%):	16,29	15,13	13,81	(s ₁ -s ₃)/2 (kp/cm ²):	1,18 2,75 4,44 1,18 2,75 4,44	
Densidad seca (g/cm ³):	1,946	1,943	1,916			

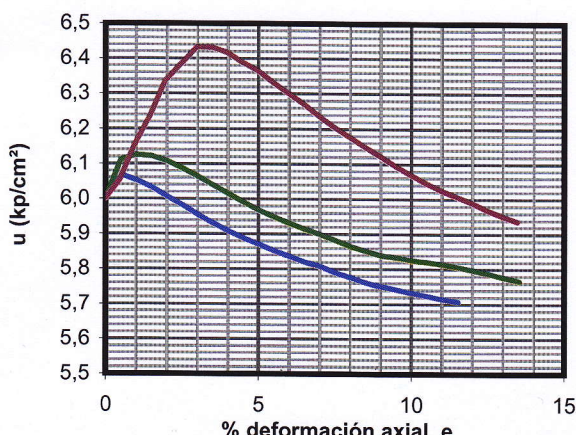
Rectas de coulomb y círculos de Mohr



T. Desviadora corregida-Deformación axial



Presión intersticial-Deformación axial



Observaciones probeta I:

Observaciones probeta II:

Observaciones probeta III:



TRIAXIAL DE SUELOS

(Norma UNE 103402)

CLIENTE: GTK LABORATORIO GEOTECNICO

TRABAJO: P.C. VARIANTE ALTZOLA

INDICATIVO: 14278 **LABORANTE:** Elena Buitrago

MUESTRA: 1473

FECHA: 23/12/14

CDIAM-EnsyTRS (20030721)

Captura de datos

 GTK Laboratorio Geotécnico	GTK Laboratorio Geotécnico Laboratorio de Control de Calidad. Edificación y Obra Civil	Hoja 1 de 1
DETERMINACIÓN DE LA HUMEDAD (UNE 103 300:93)		

Nº Referencia Muestra:	1474		Informe Nº:	E181214
Muestra (Origen / Profundidad):	S3	12,60-13,20 m		
Fecha de Toma:	05/12/2014			
Fecha de Ensayo:	18/12/2014		Fecha de emisión del Informe:	12/01/2015
Procedencia (Obra / Cliente):		Altzola		FULCRUM

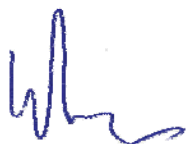
Agua	a = (t+s+a)-(t+s)	6,13
Tara+suelo+agua	t+s+a	107,81
Tara+suelo	t+s	101,68
Tara	t	55,07
Suelo	s	46,61
% Humedad	a/s x 100	13,2

OBSERVACIONES: _____

El resultado de este ensayo es válido para esta muestra.



Fdo. Pablo Salvarrey
Director del Laboratorio



Fdo. Ignacio San José
Director Técnico

	GTK Laboratorio Geotécnico Laboratorio de Control de Calidad. Edificación y Obra Civil ANÁLISIS GRANULOMÉTRICO DE SUELOS POR TAMIZADO (UNE 103 101:95)	Hoja 1 de 2
---	---	-------------

Nº Referencia Muestra:	1474	Informe Nº:	E181214
Muestra (Origen / Profundidad):	S3	12,60-13,20 m	
Fecha de Toma:	05/12/2014		
Fecha de Ensayo:	19/12/2014	Fecha de emisión del Informe:	12/01/2015
Procedencia (Obra / Cliente):	Altzola		FULCRUM

CÁLCULOS PREVIOS		
A	Muestra total seca al aire	1586,40
B	Gruesos sin lavar	483,30
C	Gruesos lavados	254,39
E=(A-B) x f	Fracción fina seca total	1090,23
F= B+E	Muestra total seca	1573,53
G	Fracción fina ensayada	33,80
H= G x f	Fraccion fina ensayada seca	33,41

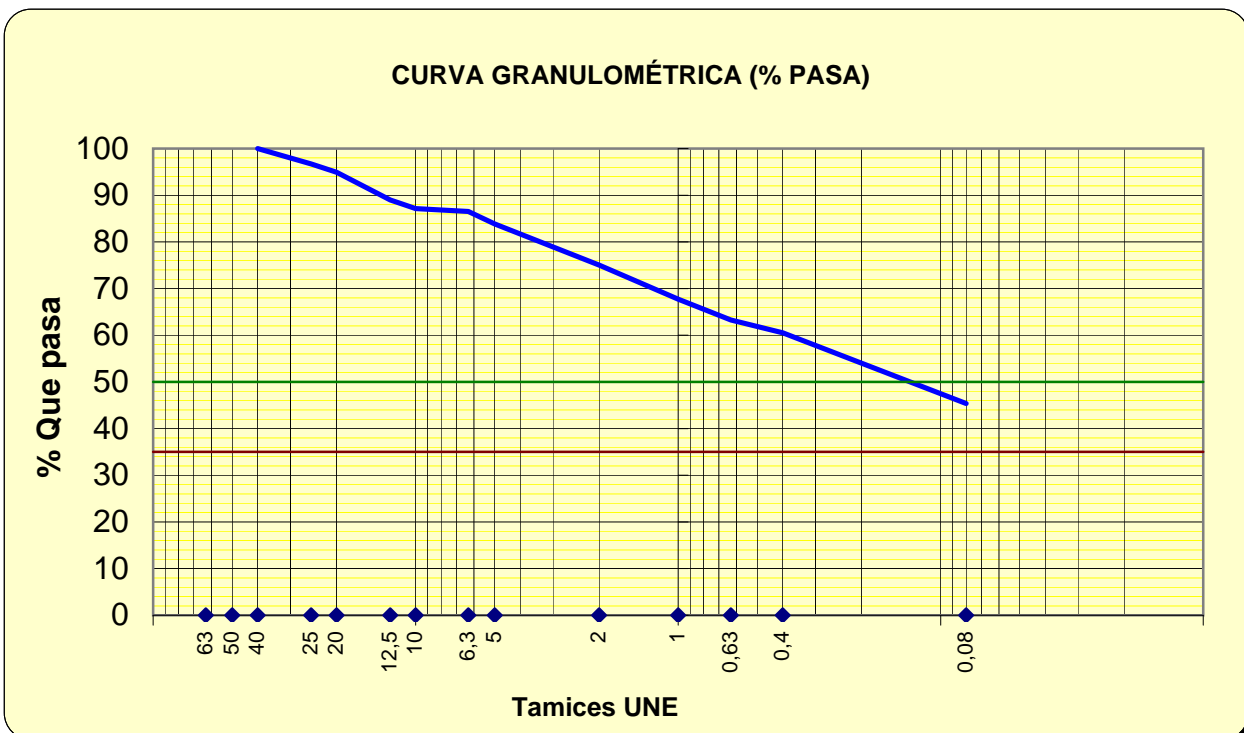
Por fracción gruesa se entiende el material retenido por el tamiz nº10
y fracción fina el que pasa por el mismo tamiz

HUMEDAD HIGROSCÓPICA		
f= 100/(100+h)	Factor de corrección	0,9883
h=(a/s)x100	Hum. higroscópica %	1,18
-	Referencia tara	1
a=(t+s+a)- (t+s)	Aqua	0,82
t+s+a	Tara+suelo+agua	129,30
t+s	Tara + suelo	128,48
t	Tara	59,00
s	Suelo	69,48

U.N.E.	TAMICES		Retenido en tamices		Pasa en muestra total		Descripción del suelo	
	A.S.T.M.		Grs.en la parte fina ensayada	Grs.en la muestra total	Gramos	% Pasa		
	Designación	Abertura mm.						
1	2 A	2 B	3	4	5	6		
					1.573,53	100,0		
63	2 1/2 "	63,5		0,00	1.573,53	100,0		
50	2 "	50,8		0,00	1.573,53	100,0		
40	1 1/2 "	38,1		0,00	1.573,53	100,0		
25	1 "	25,4		52,05	1.521,48	96,7		
20	3/4 "	19,1		28,08	1.493,40	94,9		
12,5	1/2 "	12,7		93,26	1.400,14	89,0		
10	3/8 "	9,52		29,01	1.371,13	87,1		
6,3	1/4 "	6,30		9,91	1.361,22	86,5		
5	Nº 4	4,76		42,08	1.319,14	83,8		
2	Nº 10	2,00	4,24	138,38	1.180,77	75,0		
1	Nº 16	1,15	3,53	115,21	1.065,56	67,7		
0,6	Nº 30	0,59	2,14	69,84	995,72	63,3		
0,40	Nº 40	0,420	1,33	43,41	952,31	60,5		
0,08	Nº200	0,074	7,31	238,57	713,74	45,4		

	GTK Laboratorio Geotécnico Laboratorio de Control de Calidad. Edificación y Obra Civil ANÁLISIS GRANULOMÉTRICO DE SUELOS POR TAMIZADO (UNE 103 101:95)	Hoja 2 de 2
---	---	-------------

Nº Referencia Muestra: 1474



Tamicces	63	50	40	25	20	12,5	10	6,3	5	2	1	0,63	0,4	0,08
% pasa	100,0	100,0	100,0	96,7	94,9	89,0	87,1	86,5	83,8	75,0	67,7	63,3	60,5	45,4

%	SUCS	CTE
GRAVA	16,2	25,0
ARENA	38,5	29,7
FINOS	45,4	45,4

OBSERVACIONES:

El resultado de este ensayo es válido para esta muestra.



Fdo. Pablo Salvarrey
Director del Laboratorio

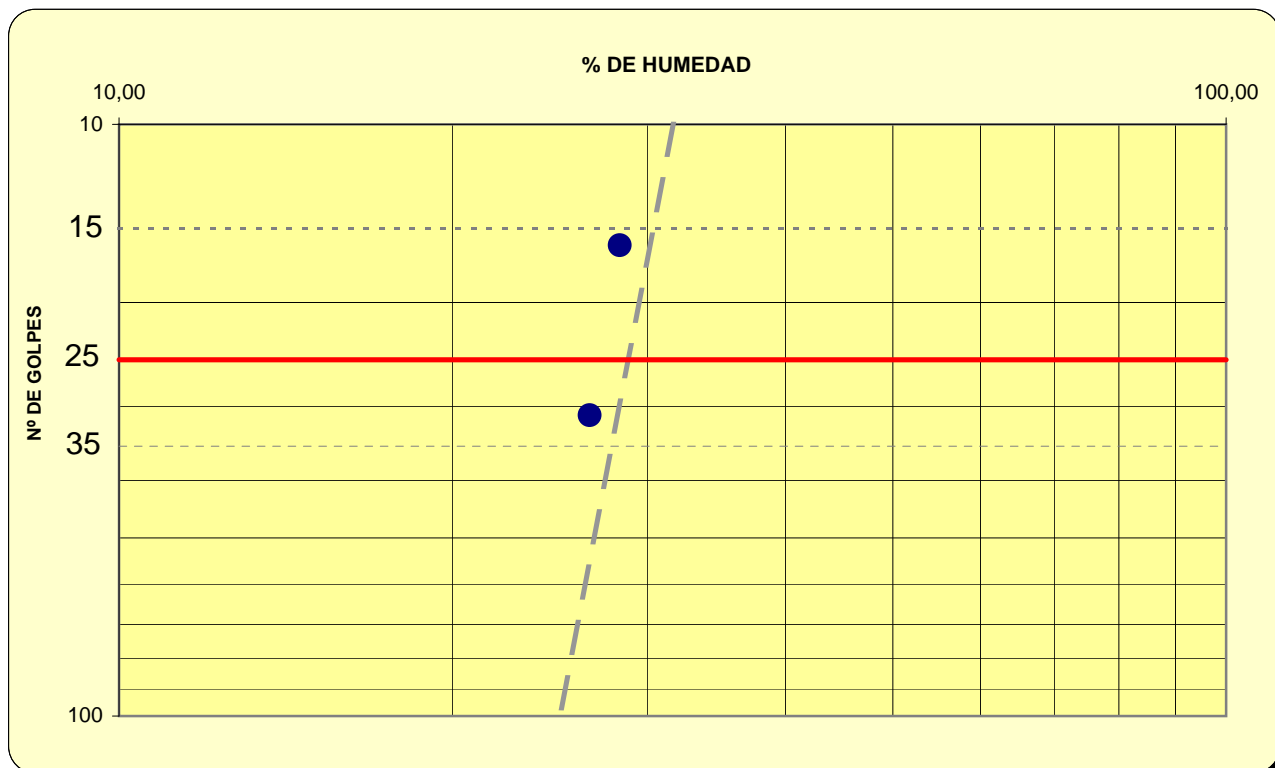


Fdo: Ignacio San José
Director Técnico

Nº Referencia Muestra:	1474	Informe Nº:	E181214
Muestra (Origen / Profundidad):	S3	12,60-13,20 m	
Fecha de Toma:	05/12/2014		
Fecha de Ensayo:	22/12/2014	Fecha de emisión del Informe:	12/01/2015
Procedencia (Obra / Cliente):		<i>Altzola</i>	<i>FULCRUM</i>

LÍMITE LÍQUIDO (UNE 103 103:94)	Número de golpes	16	31
	Referencia tara	1	2
t+s+a	Tara+suelo+agua	30,76	33,05
t+s	Tara+suelo	29,08	31,07
t	Tara	23,15	23,63
s=(t+s+a)-(t+s)	Suelo	5,93	7,44
a=(t+s+a)-(t+s)	Aqua	1,68	1,98
w=100x a / s	Humedad (%)	28,33	26,61

LÍMITE LÍQUIDO
27,3



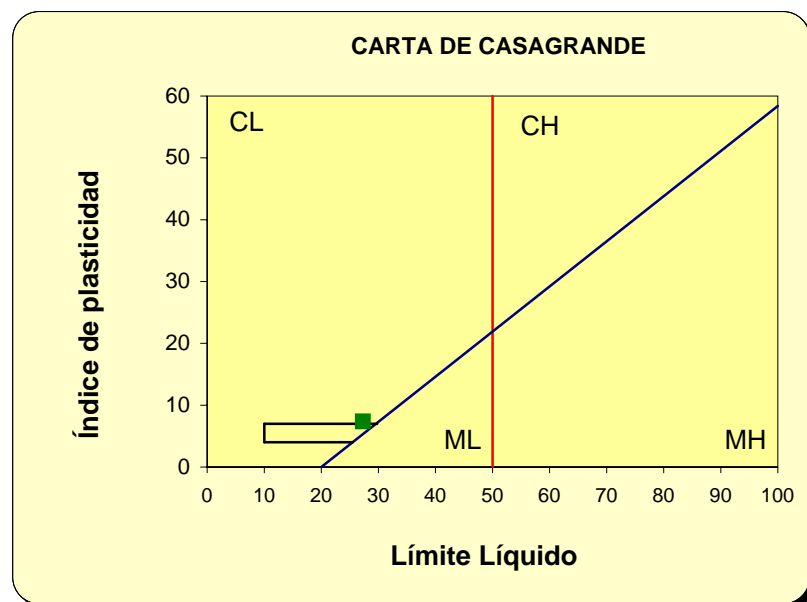
Nº Referencia Muestra: **1474**

LÍMITE PLÁSTICO (UNE 103 104:94)	Referencia tara	1	2
t+s+a	Tara+suelo+agua	26,31	27,34
t+s	Tara+suelo	25,58	26,57
t	Tara	21,89	22,73
s=(t+s)-t	Suelo	3,69	3,84
a=(t+s+a)-(t+s)	Agua	0,73	0,77
w=100x a / s	Humedad (%)	19,78	20,05

**LÍMITE
PLÁSTICO**

19,9

FRACCIÓN > 5,00 mm, %	16,2
FRACCIÓN < 0,08 mm, %	45,4
LÍMITE LÍQUIDO, LL	27,3
LÍMITE PLÁSTICO, LP	19,9
ÍNDICE DE PLASTICIDAD, IP	7,4
CLASIFICACIÓN SUCS	SC
DESCRIPCIÓN ASTM D-2486	
Arena arcillosa	



OBSERVACIONES: _____

El resultado de este ensayo es válido para esta muestra.

Fdo. Pablo Salvarrey
Director del Laboratorio

Fdo. Ignacio San José
Director Técnico

 GTK Laboratorio Geotécnico	GTK Laboratorio Geotécnico Laboratorio de Control de Calidad. Edificación y Obra Civil	Hoja 1 de 1
DURABILIDAD DEL HORMIGÓN. SUELOS AGRESIVOS (UNE 83962; UNE 83963)		

Nº Referencia Muestra:	1474		Informe N°:	E181214
Muestra (Origen / Profundidad):	S3	12,60-13,20 m		
Fecha de Toma:	05/12/2014			
Fecha de Ensayo:	19/12/2014		Fecha de emisión del Informe:	12/01/2015
Procedencia (Obra / Cliente):		Altzola		FULCRUM

Peso de suelo seco ensayado (g)	100
Volumen de líquido recogido para la valoración (ml)	50
Volumen de Hidróxido de Sodio empleado en la valoración (ml)	1
Grado de acidez (ml/kg suelo) (UNE 83962)	40

Peso de suelo analizado: M (kg)	-
Tara del crisol: C (g)	-
Peso del filtro calcinado: F (g)	-
C + F + Precipitado (g)	-
Peso precipitado = (C + F + Precipitado)-(C + F)	-
mg SO ₄ ²⁻ / kilo de suelo = 411,6 x P / M	-
Contenido en ión SO₄²⁻ (%) (UNE 83963)	-

DETERMINACIÓN	Resultado del ensayo	GRADO DE AGRESIVIDAD		
		Débil (Qa)	Medio (Qb)	Fuerte (Qc)
Acidez Baumann-Gully (ml/kg suelo)	40	> 200	-	-
Contenido en sulfatos (mg SO ₄ ²⁻ / kilo de suelo)	-	2000 a 3000	3000 a 12000	> 12000

EVALUACIÓN DE LA AGRESIVIDAD:

El suelo no es agresivo para el hormigón por acidez

OBSERVACIONES:

El resultado de este ensayo es válido para esta muestra.



Fdo. Pablo Salvarrey
Director del Laboratorio



Fdo. Ignacio San José
Director Técnico

Nº Referencia Muestra:	1474	Informe Nº:	E181214
Muestra (Origen / Profundidad):	S3	12,60-13,20 m	
Fecha de Toma:	05/12/2014		
Fecha de Ensayo:	18/12/2014	Fecha de emisión del Informe:	12/01/2015
Procedencia (Obra / Cliente):	Altzola		FULCRUM

Altura del anillo h_0 (mm)	19	Diámetro interior del anillo (mm)	50
Sección (mm ²)	1962,5	Volumen interior del anillo (cm ³)	37,2875

HUMEDAD INICIAL			HUMEDAD FINAL		
Tara+suelo+agua	(t+s+a)	214,69	Tara+suelo+agua	(t+s+a)	212,88
Tara+suelo	(t+s)	200,03	Tara+suelo	(t+s)	200,03
Tara	(t)	131,57	Tara	(t)	131,57
Agua	a = (t+s+a)-(t+s)	14,66	Agua	a = (t+s+a)-(t+s)	12,85
Suelo	s = (t+s)-t	68,46	Suelo	s = (t+s)-t	68,46
% Humedad	hi = (a/s) x 100	21,41	% Humedad	hi = (a/s) x 100	18,77

Densidad seca inicial (g/cm ³)	$\gamma_d = s / V$	1,836
--	--------------------	-------

3 kPa	0 De deformación	7,82
-------	------------------	------

CARGA				DESCARGA			
5 kPa	7,790	150 kPa	6,902	1500 kPa	-	80 kPa	-
10 kPa	7,707	300 kPa	6,494	1000 kPa	-	40 kPa	6,292
20 kPa	7,597	600 kPa	6,037	600 kPa	-	20 kPa	-
40 kPa	7,409	1000 kPa	-	300 kPa	-	10 kPa	6,412
80 kPa	7,195	1500 kPa	-	150 kPa	6,150	5 kPa	-

I. de compresión, C _c	0,109	Módulo edo. secante, E _m (Mpa)	6,650
I. de entumecimiento, C _s	0,017	Coef. compresibilidad, a _v (m ² /KN)	0,00409

P _{hinchamiento}	(Q / S) x 1000 (kPa)	-
Grado saturación inicial (%)	S _r = (W ₀ G) / e ₀	113,20
Índice de poros inicial	e ₀ = (G / γ _d) - 1	0,532

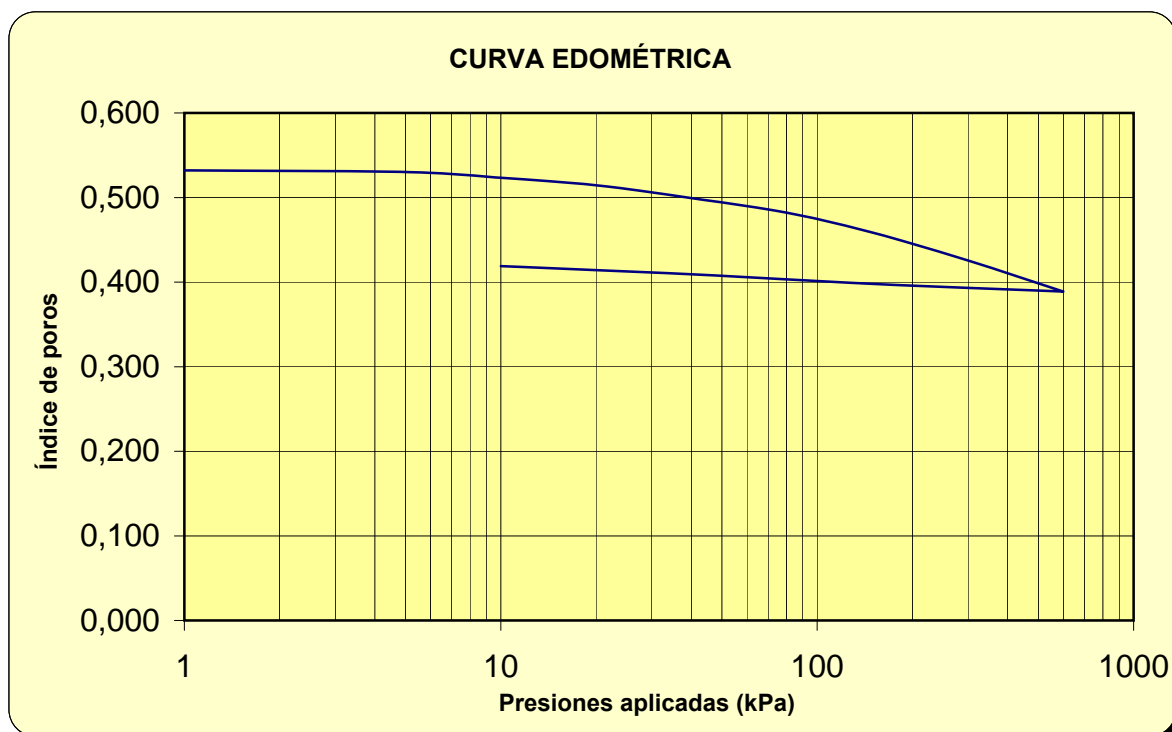
Densidad de partículas sólidas	G; g/cm ³	2,81
--------------------------------	----------------------	------

OBSERVACIONES: Los parámetros C_c, E_m y a_v se han determinado para el rango 150 - 300 Kpa; el índice de entumecimiento se ha determinado para el rango 600 kPa - 40 kPa

Nº Referencia Muestra: 1474

Altura del sólido (mm)	$H_s = H_0 / (1 + e_0)$	12,40
------------------------	-------------------------	-------

Escalones de carga (kPa)	Lecturas al final de cada escalón (mm)		Altura probeta al final de cada escalón (mm)	Índice de poros al final de cada escalón	Deformación unitaria, ϵ
1	H_0	0	19,000	0,532	0,000
5	0,025		18,975	0,530	0,004
10	0,083		18,892	0,523	0,016
20	0,110		18,782	0,515	0,033
40	0,188		18,594	0,499	0,062
80	0,214		18,380	0,482	0,094
150	0,293		18,087	0,459	0,138
300	0,408		17,679	0,426	0,200
600	0,457		17,222	0,389	0,269
150	-0,113		17,335	0,398	0,252
40	-0,142		17,477	0,409	0,231
10	-0,120		17,597	0,419	0,213



Fdo. Pablo Salvarrey
 Director del Laboratorio

Fdo. Ignacio San José
 Director Técnico

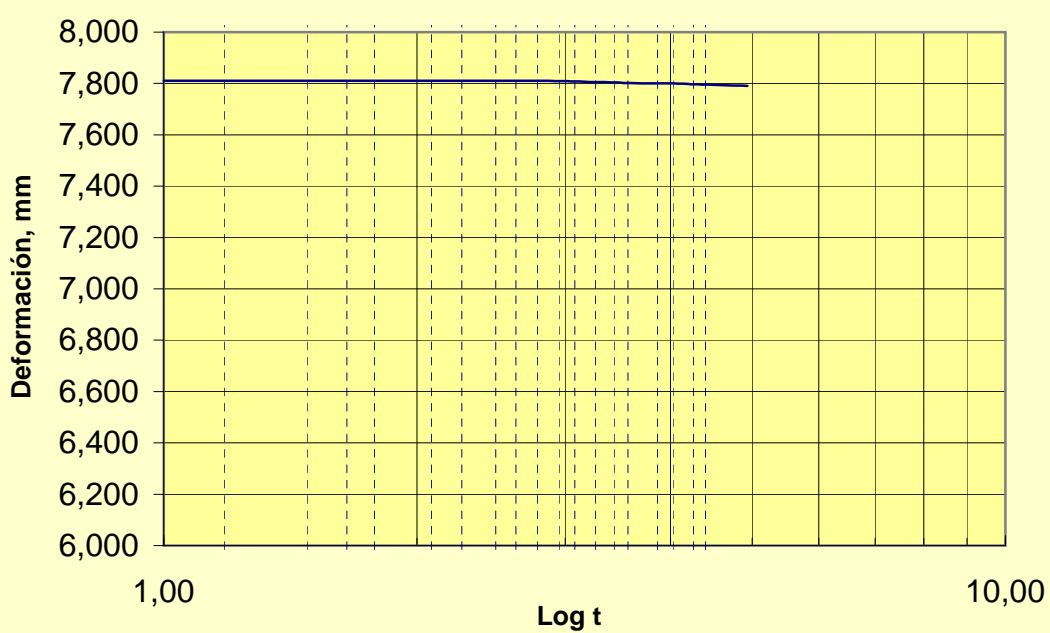
Nº Referencia Muestra: 1474

Informe Nº: E181214

CURVA DE CONSOLIDACIÓN PARA CADA ESCALÓN DE CARGA

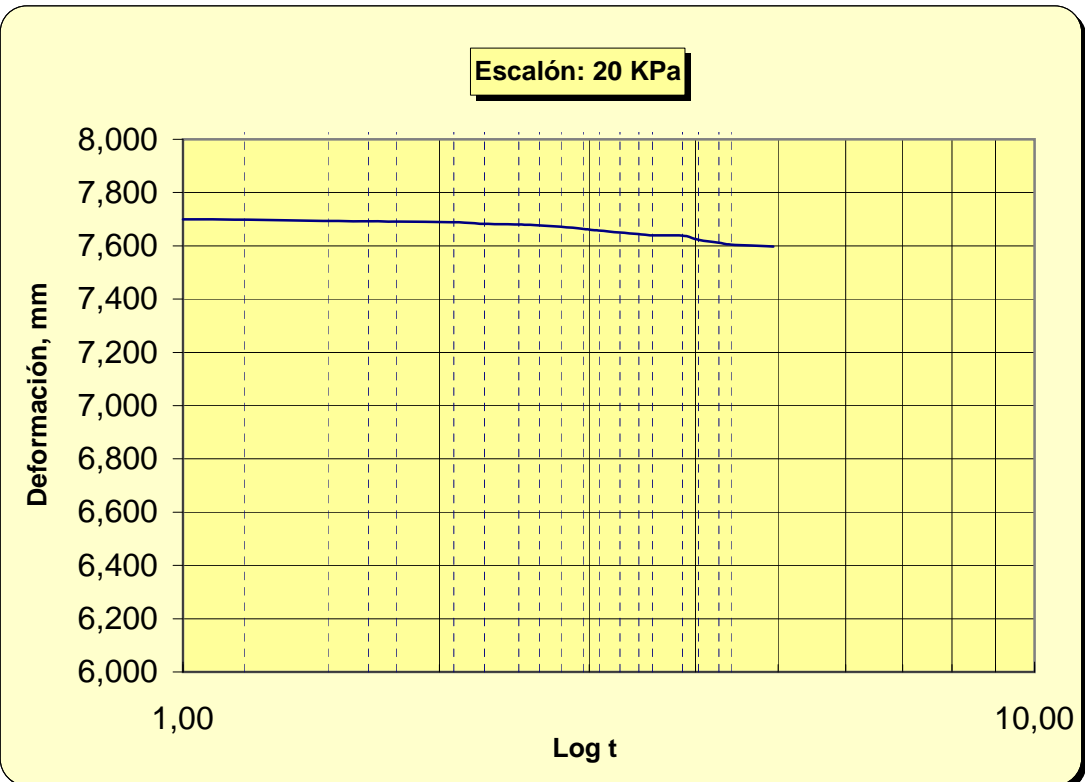
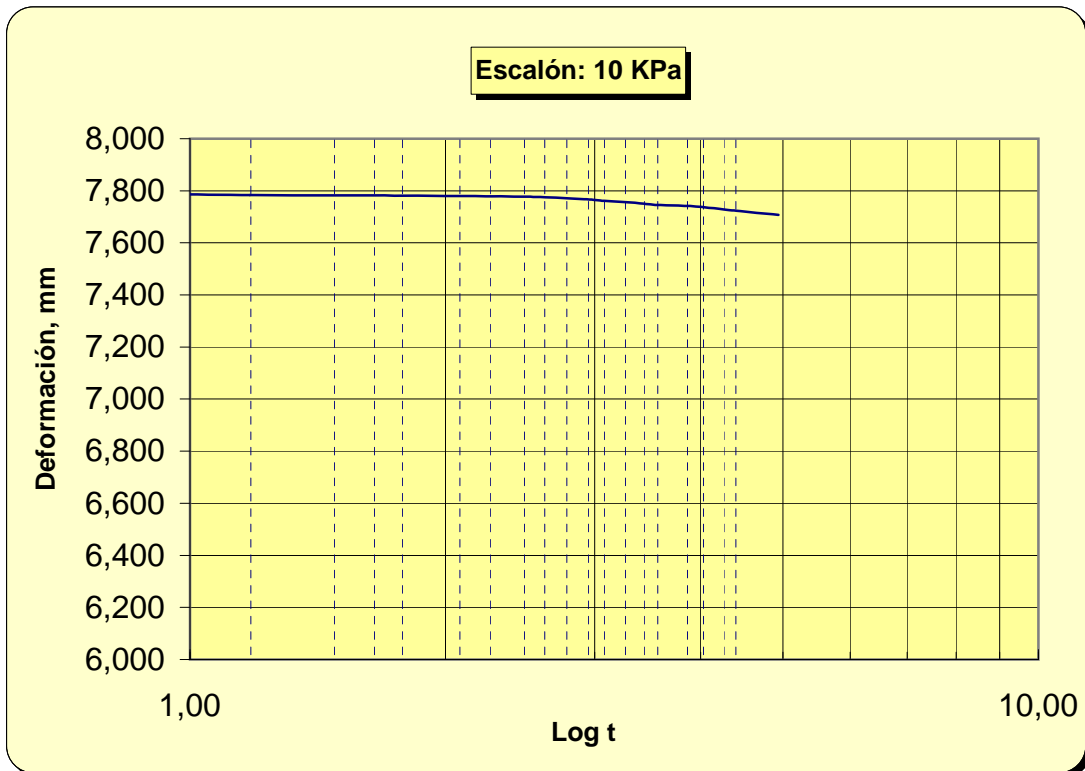
Tiempo	Asiento, mm							
	5 kPa	10 kPa	20 kPa	40 kPa	80 kPa	150 kPa	300 kPa	600 kPa
10 s	7,811	7,786	7,699	7,577	7,385	7,192	6,880	6,425
15 s	7,810	7,784	7,698	7,571	7,381	7,189	6,874	6,415
30 s	7,810	7,783	7,694	7,568	7,373	7,128	6,810	6,393
45 s	7,810	7,782	7,692	7,562	7,369	7,119	6,793	6,381
1 m	7,810	7,781	7,691	7,560	7,362	7,111	6,785	6,370
2 m	7,810	7,780	7,689	7,550	7,349	7,096	6,756	6,331
3 m	7,810	7,779	7,683	7,542	7,339	7,081	6,738	6,306
5 m	7,810	7,777	7,680	7,532	7,326	7,059	6,710	6,270
7 m	7,810	7,775	7,677	7,523	7,314	7,045	6,690	6,239
10 m	7,810	7,771	7,672	7,510	7,302	7,028	6,660	6,211
15 m	7,809	7,766	7,664	7,501	7,288	7,004	6,635	6,180
20 m	7,808	7,762	7,657	7,485	7,275	6,989	6,612	6,159
30 m	7,806	7,756	7,650	7,478	7,260	6,976	6,590	6,137
45 m	7,804	7,750	7,644	7,470	7,248	6,963	6,569	6,115
1 h	7,802	7,746	7,640	7,463	7,237	6,950	6,558	6,105
2 h	7,800	7,742	7,638	7,441	7,228	6,936	6,538	6,099
3 h	7,800	7,737	7,622	7,434	7,221	6,928	6,529	6,077
5 h	7,797	7,728	7,612	7,425	7,209	6,918	6,515	6,064
7 h	7,795	7,723	7,605	7,421	7,201	6,910	6,509	6,053
24 h	7,790	7,707	7,597	7,409	7,195	6,902	6,494	6,037

Escalón: 5 kPa



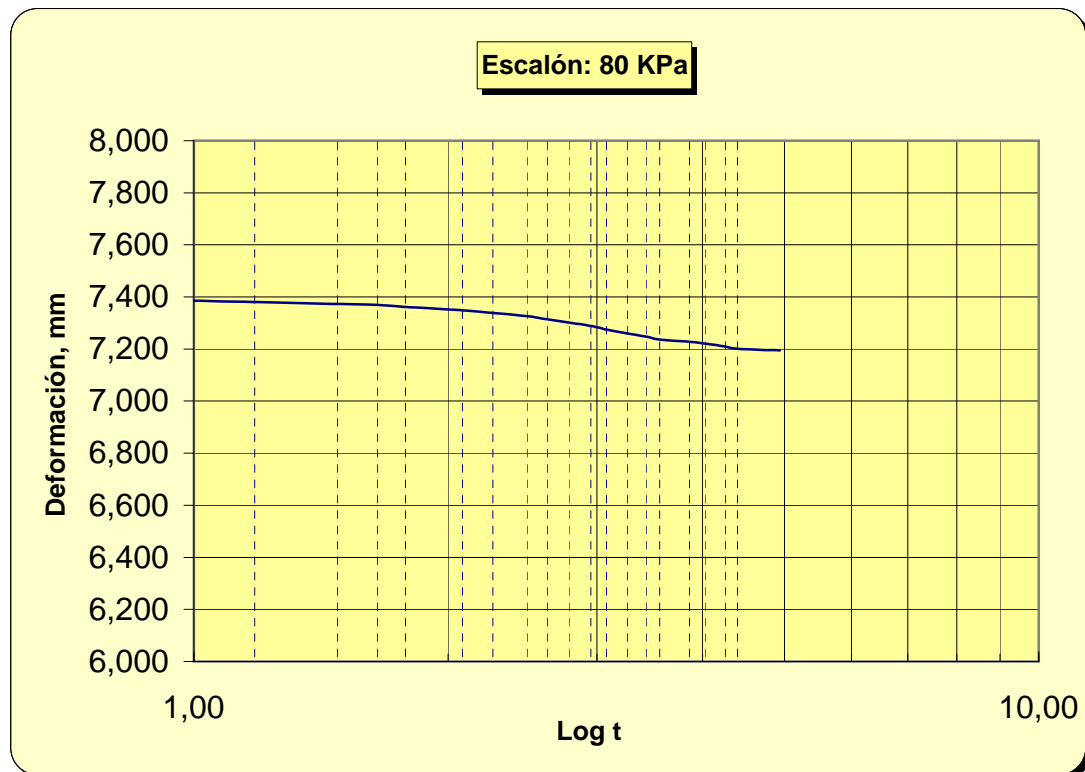
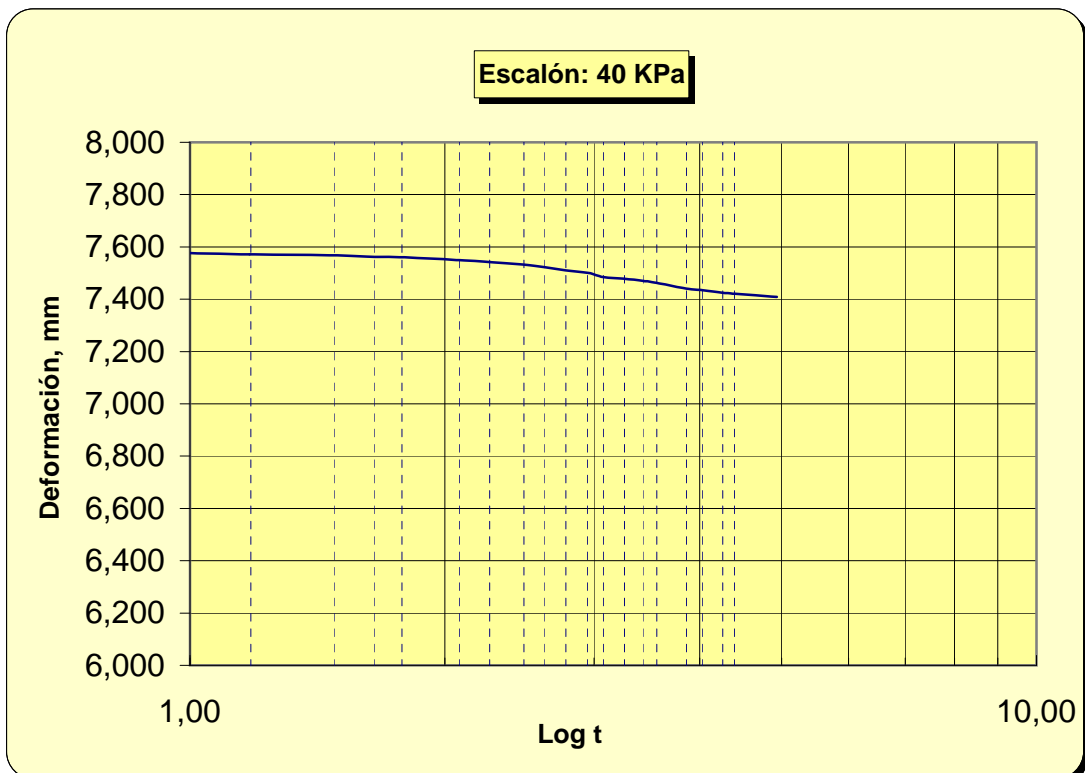
Nº Referencia Muestra: 1474

Informe Nº: E181214



Nº Referencia Muestra: 1474

Informe Nº: E181214

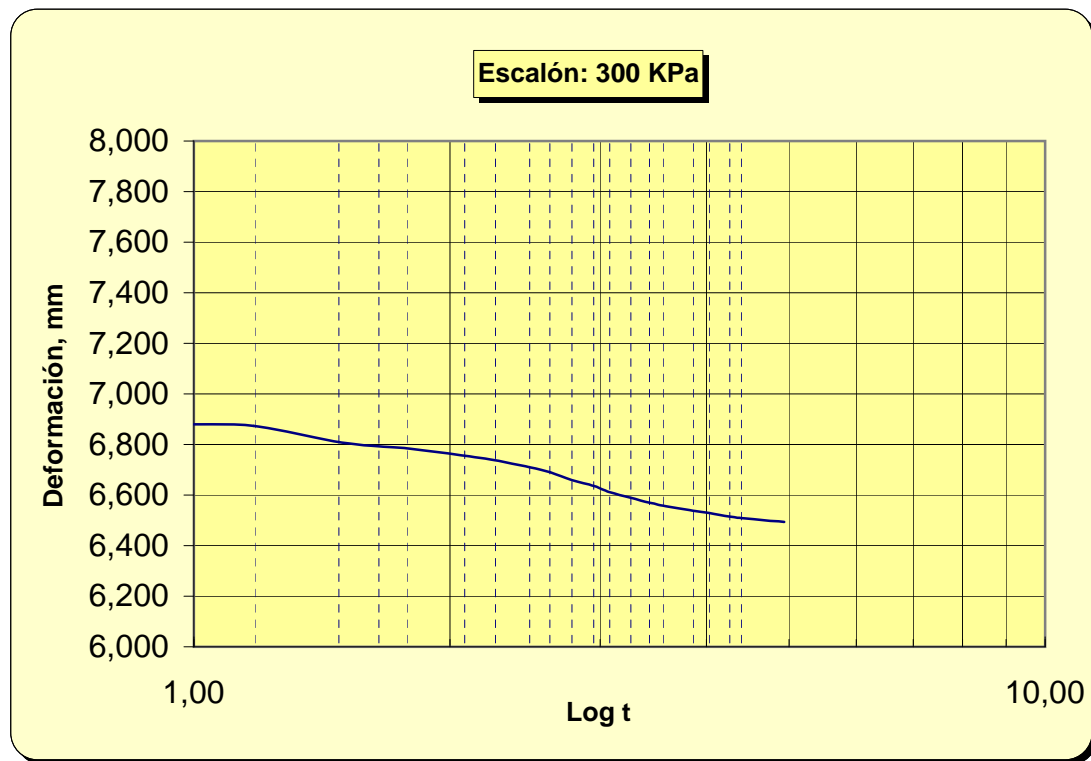
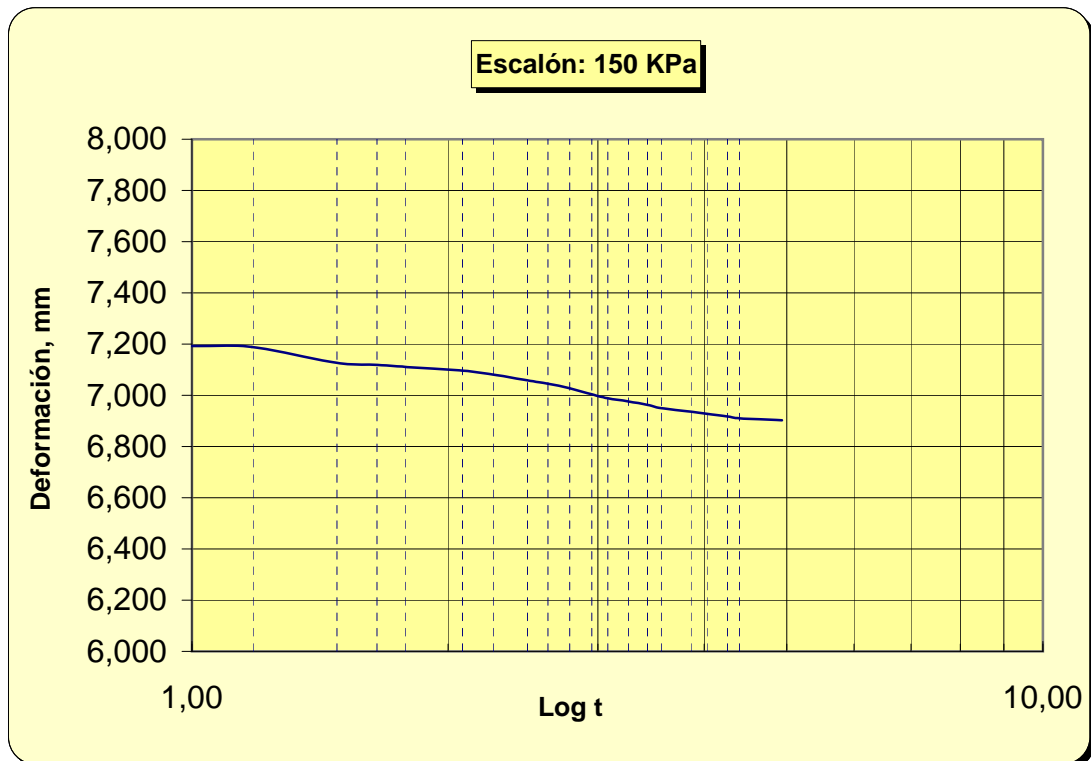


Nº Referencia Muestra:

1474

Informe Nº:

E181214

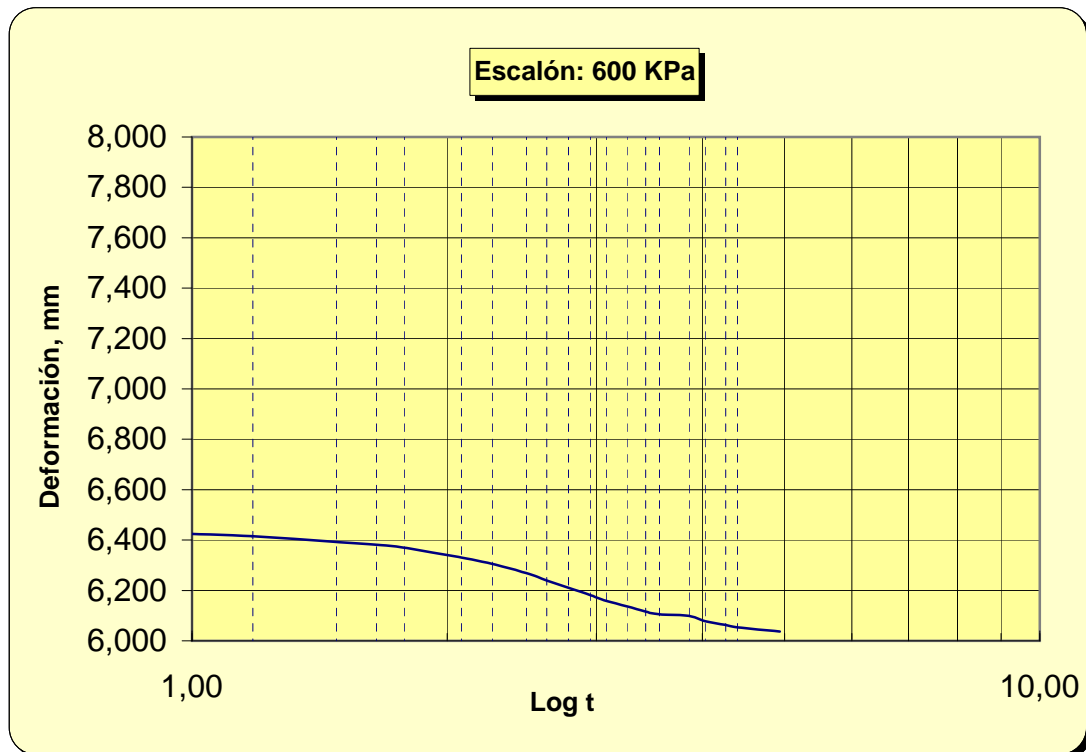


Nº Referencia Muestra:

1474

Informe Nº:

E181214

**OBSERVACIONES:**

El resultado de este ensayo es válido para esta muestra.

Fdo. Pablo Salvarrey
Director del Laboratorio

Fdo. Ignacio San José
Director Técnico

 GTK Laboratorio Geotécnico	GTK Laboratorio Geotécnico Laboratorio de Control de Calidad. Edificación y Obra Civil	Hoja 1 de 1
DETERMINACIÓN DE LA HUMEDAD (UNE 103 300:93)		

Nº Referencia Muestra:	1475	Informe Nº:	E181214
Muestra (Origen / Profundidad):	S5	3,00-3,60 m	
Fecha de Toma:	04/12/2014		
Fecha de Ensayo:	18/12/2014	Fecha de emisión del Informe:	12/01/2015
Procedencia (Obra / Cliente):		Altzola	FULCRUM

Agua	a = (t+s+a)-(t+s)	11,22
Tara+suelo+agua	t+s+a	131,59
Tara+suelo	t+s	120,37
Tara	t	63,00
Suelo	s	57,37
% Humedad	a/s x 100	19,6

OBSERVACIONES: _____

El resultado de este ensayo es válido para esta muestra.



Fdo. Pablo Salvarrey
Director del Laboratorio



Fdo. Ignacio San José
Director Técnico

	GTK Laboratorio Geotécnico Laboratorio de Control de Calidad. Edificación y Obra Civil ANÁLISIS GRANULOMÉTRICO DE SUELOS POR TAMIZADO (UNE 103 101:95)	Hoja 1 de 2
---	---	-------------

Nº Referencia Muestra:	1475	Informe Nº:	E181214
Muestra (Origen / Profundidad):	S5	3,00-3,60 m	
Fecha de Toma:	04/12/2014		
Fecha de Ensayo:	19/12/2014	Fecha de emisión del Informe:	12/01/2015
Procedencia (Obra / Cliente):	Altzola		FULCRUM

CÁLCULOS PREVIOS		
A	Muestra total seca al aire	1467,60
B	Gruesos sin lavar	225,80
C	Gruesos lavados	155,92
E=(A-B) x f	Fracción fina seca total	1204,66
F= B+E	Muestra total seca	1430,46
G	Fracción fina ensayada	31,10
H= G x f	Fraccion fina ensayada seca	30,17

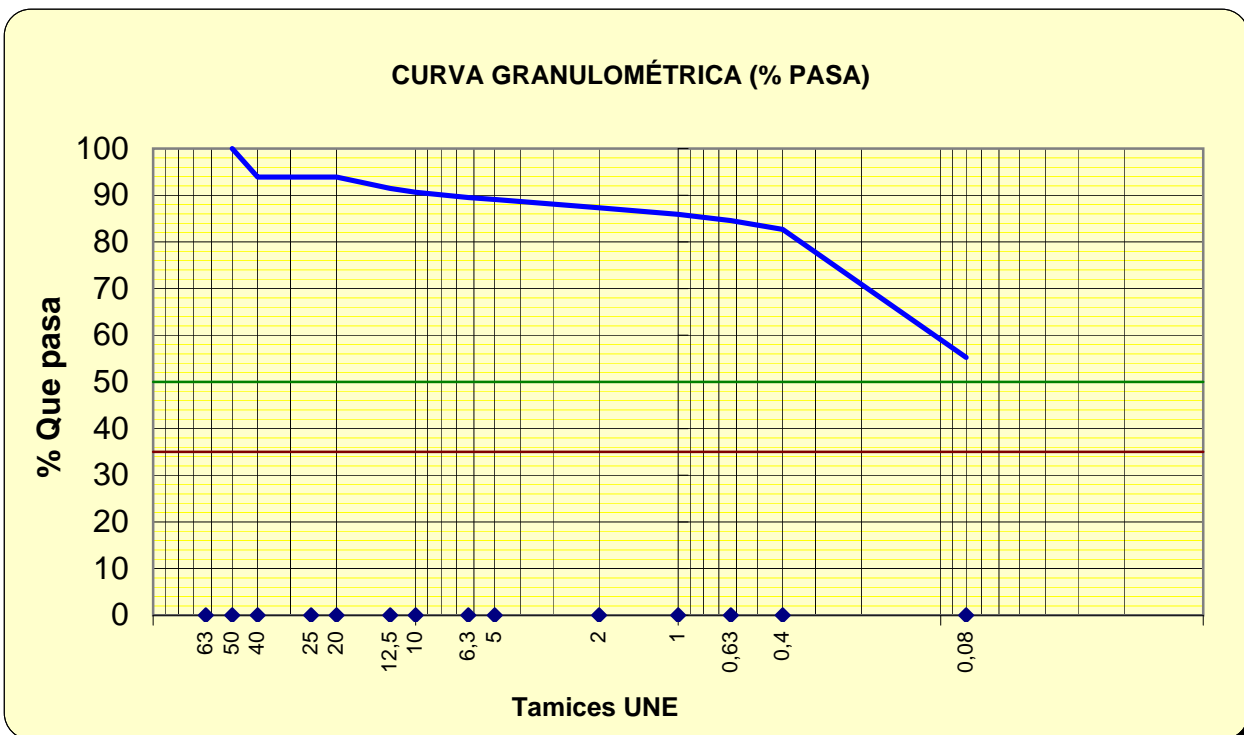
Por fracción gruesa se entiende el material retenido por el tamiz nº10
y fracción fina el que pasa por el mismo tamiz

HUMEDAD HIGROSCÓPICA		
f= 100/(100+h)	Factor de corrección	0,9701
h=(a/s)x100	Hum. higroscópica %	3,08
-	Referencia tara	1
a=(t+s+a)- (t+s)	Aqua	2,82
t+s+a	Tara+suelo+agua	158,60
t+s	Tara + suelo	155,78
t	Tara	64,30
s	Suelo	91,48

U.N.E.	TAMICES		Retenido en tamices		Pasa en muestra total		Descripción del suelo	
	A.S.T.M.		Grs.en la parte fina ensayada	Grs.en la muestra total	Gramos	% Pasa		
	Designación	Abertura mm.						
1	2 A	2 B	3	4	5	6		
					1.430,46	100,0		
63	2 1/2 "	63,5		0,00	1.430,46	100,0		
50	2 "	50,8		0,00	1.430,46	100,0		
40	1 1/2 "	38,1		87,55	1.342,91	93,9		
25	1 "	25,4		0,00	1.342,91	93,9		
20	3/4 "	19,1		0,00	1.342,91	93,9		
12,5	1/2 "	12,7		34,61	1.308,30	91,5		
10	3/8 "	9,52		11,70	1.296,60	90,6		
6,3	1/4 "	6,30		16,05	1.280,55	89,5		
5	Nº 4	4,76		6,01	1.274,54	89,1		
2	Nº 10	2,00	0,64	25,55	1.248,99	87,3		
1	Nº 16	1,15	0,50	19,96	1.229,03	85,9		
0,6	Nº 30	0,59	0,48	19,17	1.209,86	84,6		
0,40	Nº 40	0,420	0,68	27,15	1.182,71	82,7		
0,08	Nº200	0,074	9,83	392,50	790,20	55,2		

	GTK Laboratorio Geotécnico Laboratorio de Control de Calidad. Edificación y Obra Civil ANÁLISIS GRANULOMÉTRICO DE SUELOS POR TAMIZADO (UNE 103 101:95)	Hoja 2 de 2
---	---	-------------

Nº Referencia Muestra: 1475



Tamices	63	50	40	25	20	12,5	10	6,3	5	2	1	0,63	0,4	0,08
% pasa	100,0	100,0	93,9	93,9	93,9	91,5	90,6	89,5	89,1	87,3	85,9	84,6	82,7	55,2

%	SUCS	CTE
GRAVA	10,9	12,7
ARENA	33,9	32,1
FINOS	55,2	55,2

OBSERVACIONES:

El resultado de este ensayo es válido para esta muestra.



Fdo. Pablo Salvarrey
Director del Laboratorio



Fdo: Ignacio San José
Director Técnico

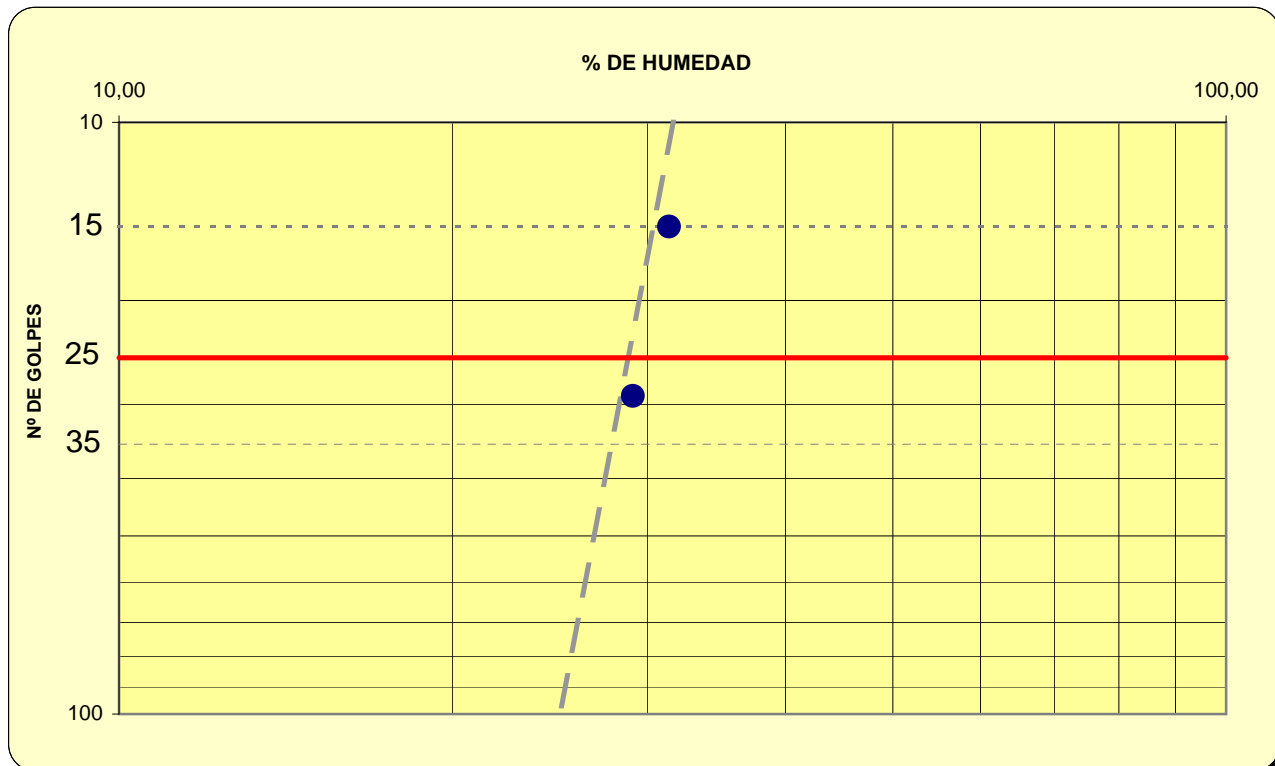


DETERMINACIÓN DEL LÍMITE LÍQUIDO POR EL MÉTODO DEL APARATO DE CASAGRANDE (UNE 103 103:94) y LÍMITE PLÁSTICO (UNE 103 104:93) DE UN SUELO

Nº Referencia Muestra:	1475	Informe Nº:	E181214
Muestra (Origen / Profundidad):	S5 3,00-3,60 m		
Fecha de Toma:	04/12/2014		
Fecha de Ensayo:	22/12/2014	Fecha de emisión del Informe:	12/01/2015
Procedencia (Obra / Cliente):	Altzola		FULCRUM

LÍMITE LÍQUIDO (UNE 103 103:94)	Número de golpes	15	29
	Referencia tara	1	2
t+s+a	Tara+suelo+agua	31,90	31,04
t+s	Tara+suelo	29,63	29,06
t	Tara	22,40	22,26
s=(t+s+a)-(t+s)	Suelo	7,23	6,80
w=100x a / s	Aqua	2,27	1,98
	Humedad (%)	31,40	29,12

LÍMITE
LÍQUIDO
29,8



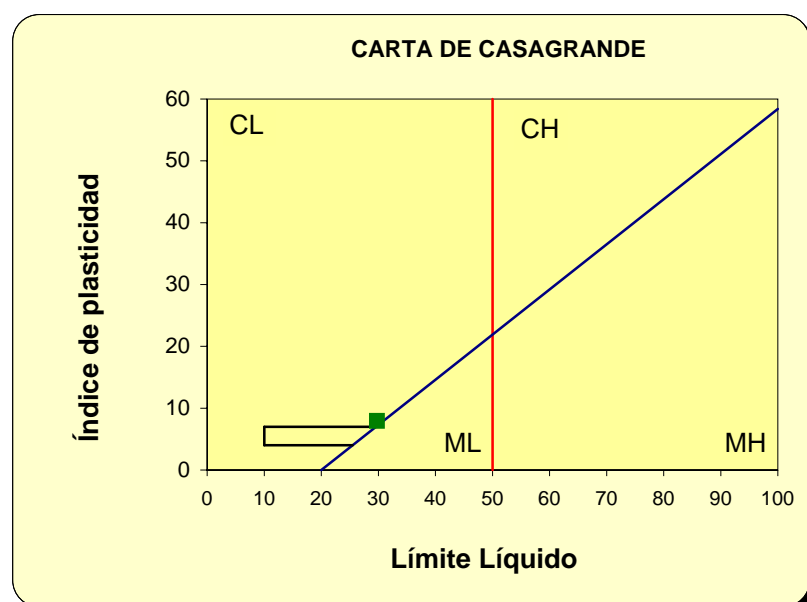
Nº Referencia Muestra: **1475**

LÍMITE PLÁSTICO (UNE 103 104:94)	Referencia tara	1	2
t+s+a	Tara+suelo+agua	28,35	26,60
t+s	Tara+suelo	27,35	26,00
t	Tara	22,95	23,13
s=(t+s)-t	Suelo	4,40	2,87
a=(t+s+a)-(t+s)	Agua	1,00	0,60
w=100x a / s	Humedad (%)	22,73	20,91

**LÍMITE
PLÁSTICO**

21,8

FRACCIÓN > 5,00 mm, %	10,9
FRACCIÓN < 0,08 mm, %	55,2
LÍMITE LÍQUIDO, LL	29,8
LÍMITE PLÁSTICO, LP	21,8
ÍNDICE DE PLASTICIDAD, IP	8,0
CLASIFICACIÓN SUCS	SC
DESCRIPCIÓN ASTM D-2486	
Arena arcillosa	



OBSERVACIONES: _____

El resultado de este ensayo es válido para esta muestra.

Fdo. Pablo Salvarrey
Director del Laboratorio

Fdo. Ignacio San José
Director Técnico

	GTK Laboratorio Geotécnico Laboratorio de Control de Calidad. Edificación y Obra Civil	Hoja 1 de 1
DURABILIDAD DEL HORMIGÓN. SUELOS AGRESIVOS (UNE 83962; UNE 83963)		

Nº Referencia Muestra:	1475		Informe N°:	E181214
Muestra (Origen / Profundidad):	S5	3,00-3,60 m		
Fecha de Toma:	04/12/2014			
Fecha de Ensayo:	19/12/2014		Fecha de emisión del Informe:	12/01/2015
Procedencia (Obra / Cliente):		Altzola		FULCRUM

Peso de suelo seco ensayado (g)	100
Volumen de líquido recogido para la valoración (ml)	50
Volumen de Hidróxido de Sodio empleado en la valoración (ml)	5,8
Grado de acidez (ml/kg suelo) (UNE 83962)	232

Peso de suelo analizado: M (kg)	-
Tara del crisol: C (g)	-
Peso del filtro calcinado: F (g)	-
C + F + Precipitado (g)	-
Peso precipitado = (C + F + Precipitado)-(C + F)	-
mg SO ₄ ²⁻ / kilo de suelo = 411,6 x P / M	-
Contenido en ión SO₄²⁻ (%) (UNE 83963)	-

DETERMINACIÓN	Resultado del ensayo	GRADO DE AGRESIVIDAD		
		Débil (Qa)	Medio (Qb)	Fuerte (Qc)
Acidez Baumann-Gully (ml/kg suelo)	232	> 200	-	-
Contenido en sulfatos (mg SO ₄ ²⁻ / kilo de suelo)	-	2000 a 3000	3000 a 12000	> 12000

EVALUACIÓN DE LA AGRESIVIDAD:

El suelo presenta agresividad DÉBIL para el hormigón por acidez

OBSERVACIONES: _____

El resultado de este ensayo es válido para esta muestra.



Fdo. Pablo Salvarrey
Director del Laboratorio



Fdo. Ignacio San José
Director Técnico



TRIAXIAL DE SUELOS

(Norma UNE 103402)

CLIENTE: GTK LABORATORIO GEOTECNICO

TRABAJO: P.C. VARIANTES ALTZOLA

INDICATIVO: 14278 **LABORANTE:** Elena Buitrago

MUESTRA: 1475

FECHA: 23/12/14

CDIAM-EnsyTRS (20030721)

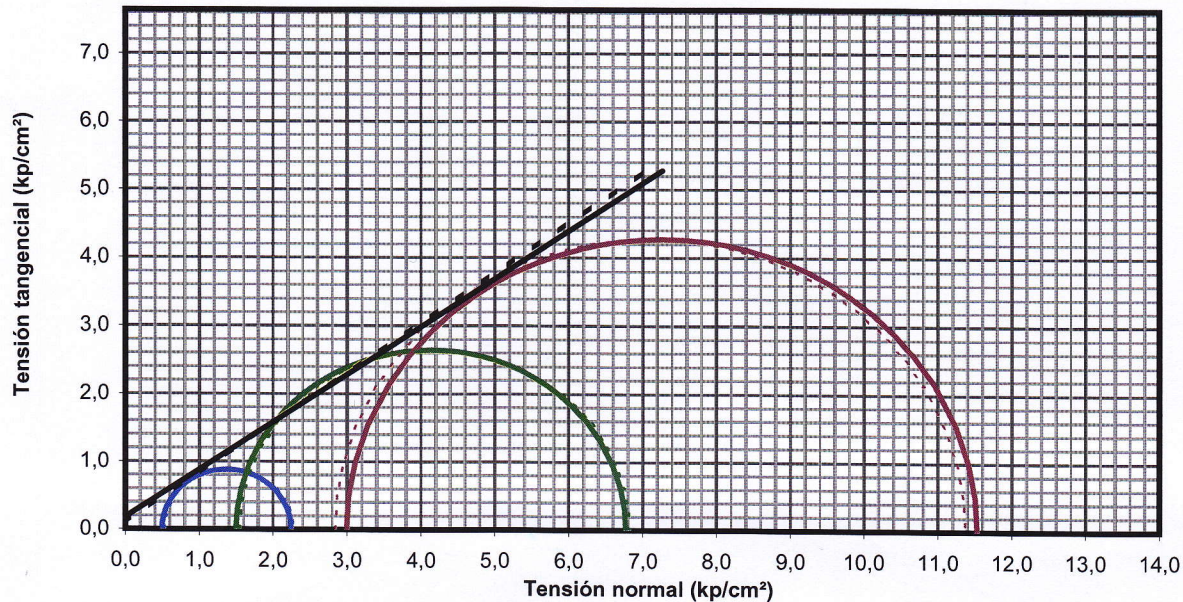
Hoja 1 de 2

Tipo de ensayo triaxial

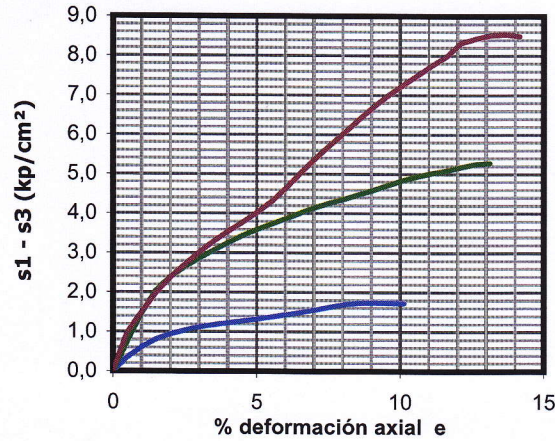
Consolidado sin drenaje y con medida de presiones intersticiales (CU) sobre muestra Inalterada

Velocidad del ensayo 0,038 mm/min.

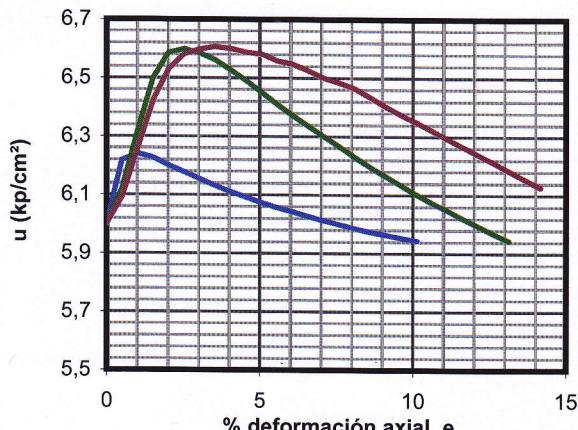
Rectas de coulomb y círculos de Mohr



T. Desviadora corregida-Deformación axial



Presión intersticial-Deformación axial



Observaciones probeta I:

Observaciones probeta II:

Observaciones probeta III:



TRIAXIAL DE SUELOS

(Norma UNE 103402)

CLIENTE: GTK LABORATORIO GEOTECNICO

TRABAJO: P.C. VARTANTE ALZOIA

INDICATIVO: 14278 **LABORANTE:** Elena Buitrago

MUESTRA: 1475

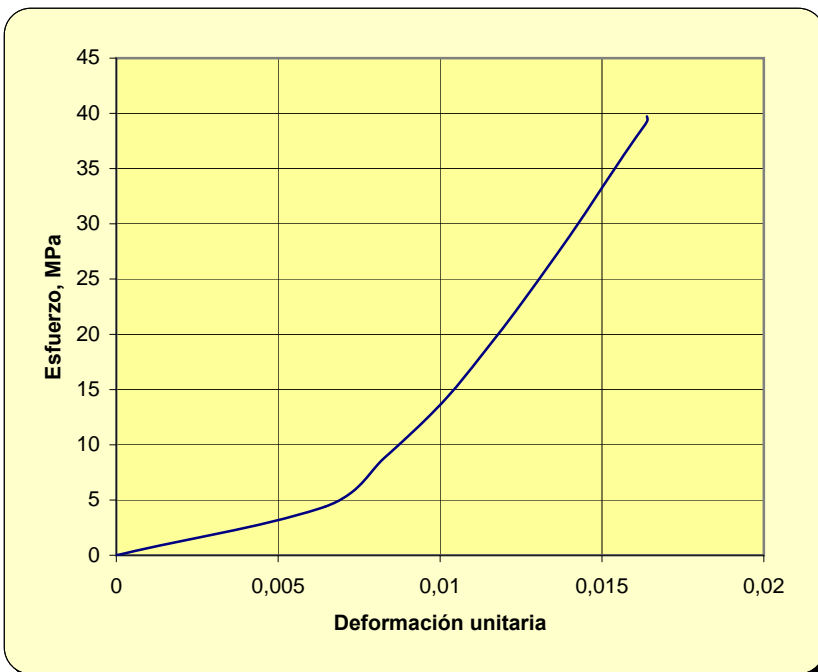
FECHA: 23/12/14 **Hojas:** 2 de 2

CDIAM-EnsyTRS (20030721)

Captura de datos

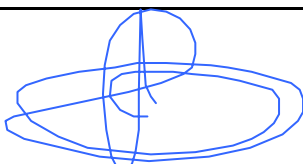
Nº Referencia Muestra:	1476		Informe N°:	E181214
Muestra (Origen / Profundidad):	S5	9,90-10,20 m		
Fecha de Toma:	04/12/2014			
Fecha de Ensayo:	18/12/2014		Fecha de emisión del Informe:	12/01/2015
Procedencia (Obra / Cliente):	Altzola		FULCRUM	

Diámetro de la probeta D (cm)	7,10	PESO PROBETA HÚMEDA + tara	2127,31
Altura de la probeta L (cm)	18,00	PESO PROBETA SECA + tara	2123,28
Carga de rotura P (Kg)	16041	TARA	169,21
Humedad (%)	0,21	AGUA	4,03
Densidad aparente (g/cm ³)	2,75	ROCA SECA	1954,07
Densidad seca (g/cm ³)	2,74		
Resistencia a la compresión uniaxial para la muestra			39,72
$\sigma_c = 10,2 \cdot P / (\pi D^2 / 4)$, MPa			

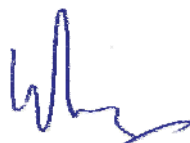


Este resultado es válido para esta muestra

OBSERVACIONES:



Fdo. Pablo Salvarrey
Director del Laboratorio



Fdo. Ignacio San José
Director Técnico

DURABILIDAD DEL HORMIGÓN. SUELOS AGRESIVOS (UNE 83962; UNE 83963)

Nº Referencia Muestra:	1477	Informe N°:	E181214
Muestra (Origen / Profundidad):	S5	10,80-11,20 m	
Fecha de Toma:	05/12/2014		
Fecha de Ensayo:	19/12/2014	Fecha de emisión del Informe:	12/01/2015
Procedencia (Obra / Cliente):	Altzola	FULCRUM	

Peso de suelo seco ensayado (g)	-
Volumen de líquido recogido para la valoración (ml)	-
Volumen de Hidróxido de Sodio empleado en la valoración (ml)	-
Grado de acidez (ml/kg suelo) (UNE 83962)	-

Peso de suelo analizado: M (kg)	0,05
Tara del crisol: C (g)	125,3425
Peso del filtro calcinado: F (g)	0,0000
C + F + Precipitado (g)	125,3517
Peso precipitado = (C + F + Precipitado)-(C + F)	0,0092
mg SO ₄ ²⁻ / kilo de suelo = 411,6 x P / M	75,7344
Contenido en ión SO₄²⁻ (%) (UNE 83963)	0,008

DETERMINACIÓN	Resultado del ensayo	GRADO DE AGRESIVIDAD		
		Débil (Qa)	Medio (Qb)	Fuerte (Qc)
Acidez Baumann-Gully (ml/kg suelo)	-	> 200	-	-
Contenido en sulfatos (mg SO ₄ ²⁻ / kilo de suelo)	76	2000 a 3000	3000 a 12000	> 12000

EVALUACIÓN DE LA AGRESIVIDAD:

El suelo no es agresivo para el hormigón por contenido en sulfatos solubles

OBSERVACIONES: _____

El resultado de este ensayo es válido para esta muestra.

Fdo. Pablo Salvarrey
Director del Laboratorio

Fdo. Ignacio San José
Director Técnico



CEPASA
ENSAYOS GEOTÉCNICOS S.A.

COMPRESIÓN SIMPLE (Norma UNE-22.950-3)

CLIENTE: GTK LABORATORIO GEOTECNICO
TRABAJO: P.C. VARIANTE ALTZOLA
INDICATIVO: 14278 LABORANTE: Ismael G. Cotta
MUESTRA: 1478 FECHA: 22/12/14 Hoja 1 de 1

CDIAM-EnsyCSR (20060101)

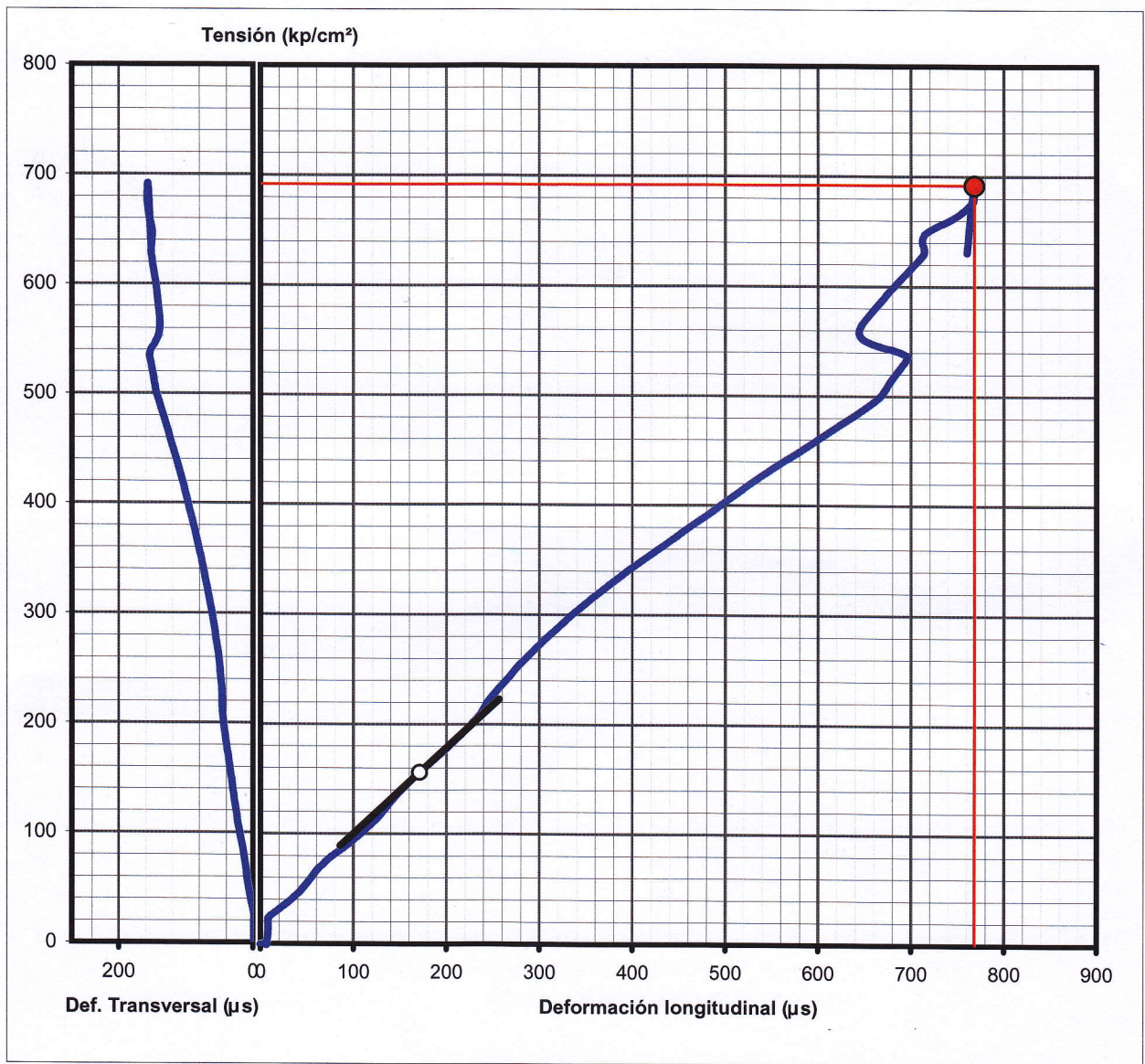
Datos del ensayo

Humedad (%): 0,97
Densidad natural (g/cm^3): 2,641
Densidad seca (g/cm^3): 2,615
Diámetro (cm): 6,12
Altura probeta (cm): 13,08
Área (cm^2): 29,42
Volumen (cm^3): 384,77

Resultados

Resistencia máxima ($\text{k}\text{p}/\text{cm}^2$): 692
Deformación (microstrain): 769
Módulo de Young ($\text{k}\text{p}/\text{cm}^2$): 782.284,0
Coeficiente de Poisson: 0,20

Curva completa del ensayo



Observaciones

8/10



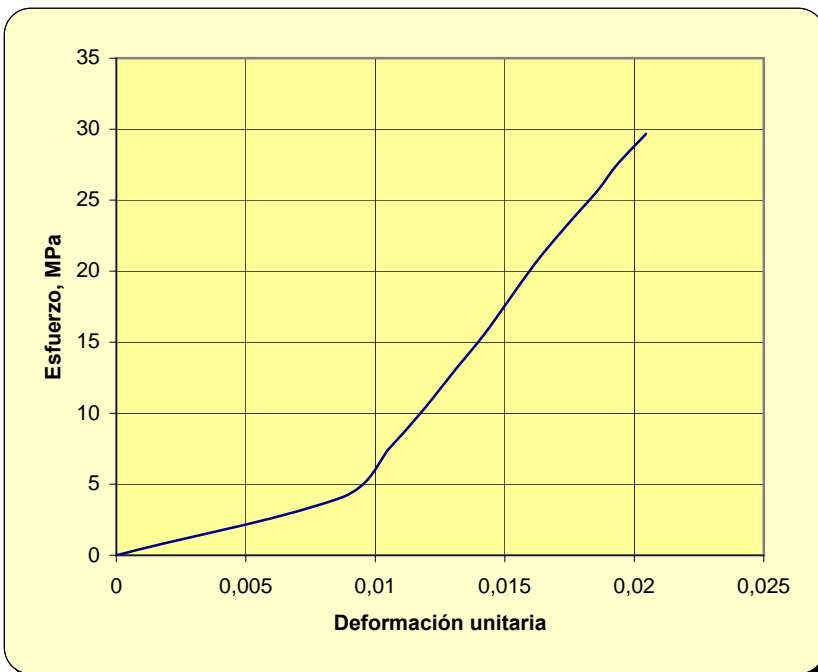
GTK Laboratorio Geotécnico
Laboratorio de Control de Calidad. Edificación y Obra Civil

Hoja 1 de 1

PROPIEDADES MECÁNICAS DE LAS ROCAS. DETERMINACIÓN DE LA RESISTENCIA A LA COMPRESIÓN UNIAXIAL (UNE 22 950-1:90)

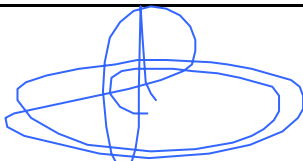
Nº Referencia Muestra:	1479	Informe N°:	E181214
Muestra (Origen / Profundidad):	S5 14,40-14,70 m		
Fecha de Toma:	04/12/2014		
Fecha de Ensayo:	18/12/2014	Fecha de emisión del Informe:	12/01/2015
Procedencia (Obra / Cliente):	Altzola		FULCRUM

Diámetro de la probeta D (cm)	7,10	PESO PROBETA HÚMEDA + tara	2113,35
Altura de la probeta L (cm)	17,70	PESO PROBETA SECA + tara	2093,61
Carga de rotura P (Kg)	11980	TARA	169,04
Humedad (%)	1,03	AGUA	19,74
Densidad aparente (g/cm ³)	2,77	ROCA SECA	1924,57
Densidad seca (g/cm ³)	2,75		
Resistencia a la compresión uniaxial para la muestra			29,67
$\sigma_c = 10,2 \cdot P / (\pi D^2 / 4)$, MPa			



Este resultado es válido para esta muestra

OBSERVACIONES:



Fdo. Pablo Salvarrey
Director del Laboratorio



Fdo. Ignacio San José
Director Técnico



CEPASA
ENSAYOS GEOTÉCNICOS S.A.

CDIAM-EnsyCSR (20060101)

COMPRESIÓN SIMPLE (Norma UNE-22.950-3)

CLIENTE: GTK LABORATORIO GEOTECNICO
TRABAJO: P.C. VARIANTE ALTZOLA
INDICATIVO: 14278 LABORANTE: Ismael G. Cotta
MUESTRA: 1480 FECHA: 22/12/14 Hoja 1 de 1

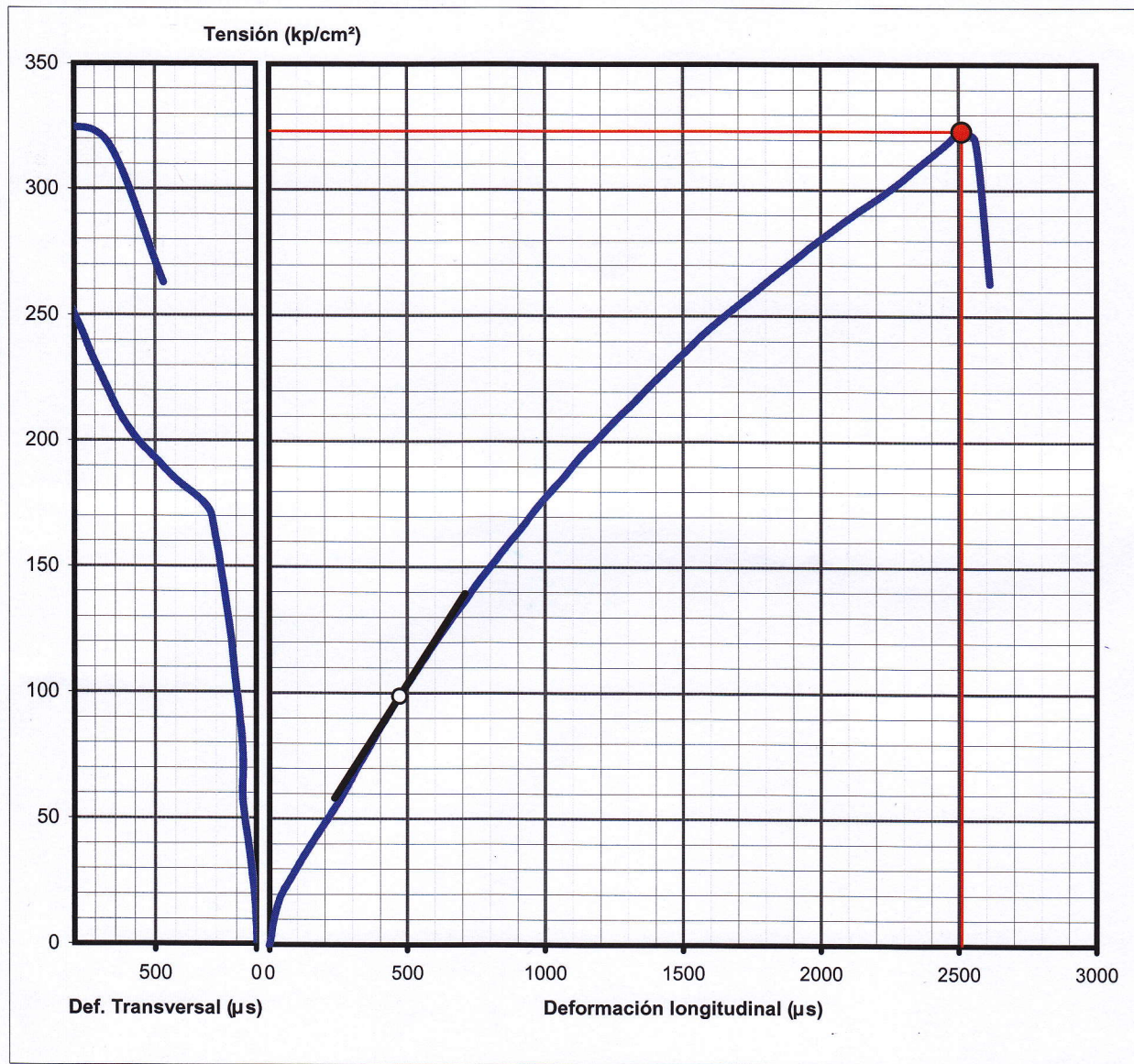
Datos del ensayo

Humedad (%): 0,68
Densidad natural (g/cm³): 2,699
Densidad seca (g/cm³): 2,681
Diámetro (cm): 6,12
Altura probeta (cm): 13,26
Área (cm²): 29,42
Volumen (cm³): 390,06

Resultados

Resistencia máxima (kp/cm²): 323
Deformación (microstrain): 2511
Módulo de Young (kp/cm²): 171.774,4
Coeficiente de Poisson: 0,21

Curva completa del ensayo



Observaciones

9/10

APÉNDICE N° 4.10 **Q_{adm} estructuras**

CALCULO DE CARGAS ADMISIBLES EN ROCA	
GUIA DE CIMENTACIONES EN OBRAS DE CARRETERAS (2002)	
Presión de referencia	1,000 MPa
Resistencia a compresión simple	24,300 MPa
Influencia del tipo de roca	0,600 α_1
Influencia del grado de meteorización	0,700 α_2
Influencia del espaciamiento entre litoclasis	1,000 α_3
RQD	100
Presión admisible (Superficial) (Máximo 5.0 MPa)	Q_{ADM} 2,070 MPa

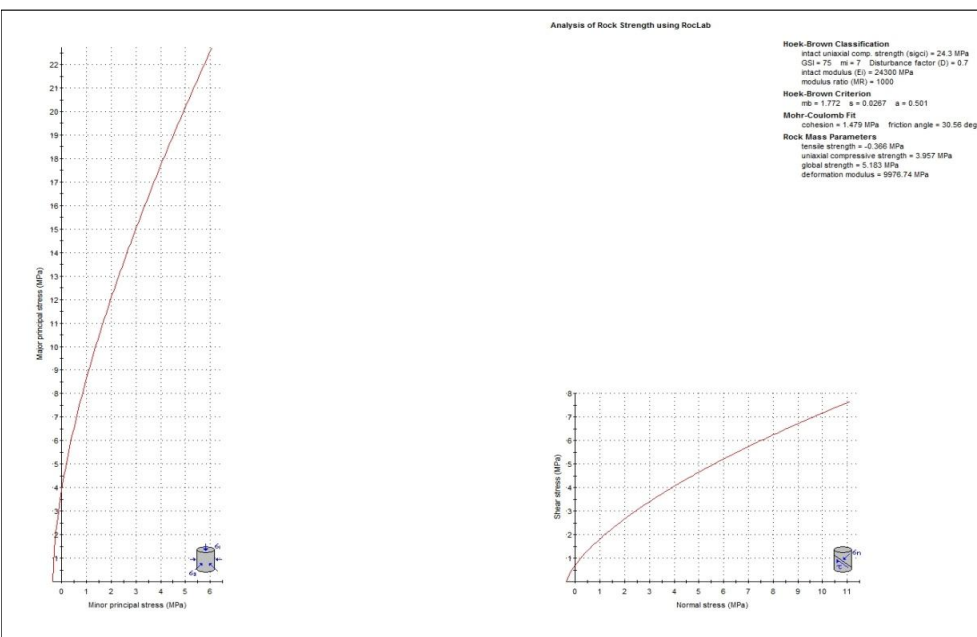
GRUPO N. ^o	NOMBRE GENÉRICO	EJEMPLOS	α_1
1	Rocas carbonatadas con estructura bien desarrollada	• Calizas, dolomías y mármoles puros • Calcarenitas de baja porosidad	1,0
2	Rocas Igneas y rocas metamórficas (*)	• Granitos, cuarcitas • Andesitas, riolitas • Pizarras, esquistos y gneises (esquistosidad subhorizontal)	0,8
3	Rocas sedimentarias (**) y algunas metamórficas	• Calizas margosas, argilitas, limolitas, areniscas y conglomerados • Pizarras y esquistos (esquistosidad verticalizada) • Yesos	0,6
4	Rocas poco soldadas	• Areniscas, limolitas y conglomerados poco cementados • Margas	0,4

Los valores que se recomiendan para establecer el valor del parámetro α_2 son los siguientes:

- Grado de meteorización I (Roca sana o fresca): $\alpha_2 = 1,0$
- Grado de meteorización II (Roca ligeramente meteorizada): $\alpha_2 = 0,7$
- Grado de meteorización III (Roca moderadamente meteorizada): $\alpha_2 = 0,5$
- Cuando el grado de meteorización sea igual o superior al IV, deberá estarse a lo especificado al respecto en el epígrafe 4.5.3 (cálculo como en suelos).

$$\alpha_3 = \min(\alpha_{3a}, \alpha_{3b}) \quad \alpha_{3a} = \sqrt{\frac{s}{1m}} \quad \alpha_{3b} = \sqrt{\frac{RQD(\%)}{100}}$$

Añadir Gráfico de Hoek y Brown



Hoek Brown Classification	
sigci	24,3 MPa
GSI	75
mi	7
D	0.7
Ei	30800

Hoek Brown Criterion	
mb	177
s	0,0266974
a	0,500911

Failure Envelope Range	
Application	General

sig3max	6 MPa
---------	-------

Mohr-Coulomb Fit

c	1,479 MPa
phi	30,56 degrees

Rock Mass Parameters

sigt	-0.46396 MPa
sigc	501594 MPa
sigcm	656978 MPa
Erm	12645.4 MPa

CÁLCULO DE CARGAS ADMISIBLES EN ROCA
CIMENTACIONES SUPERFICIALES Y PROFUNDAS
PASO INFERIOR POLIGONO ARRIAGA

CALCULO DE CARGAS ADMISIBLES EN ROCA		
GUIA DE CIMENTACIONES EN OBRAS DE CARRETERAS (2002)		
Presión de referencia	1,000 Mpa	
Resistencia a compresión simple	24,300 Mpa	
Influencia del tipo de roca	0,600 α_1	
Influencia del grado de meteorización	0,500 α_2	
Influencia del espaciamiento entre litoclasas	0,707 α_3	
RQD	50	
Presión admisible (Superficial) Q_{ADM}	1,046 Mpa	
(Máximo 5.0 Mpa)		
Presión admisible unitaria (Profunda) q_p	2,091 MPa	
(Máximo 20 Mpa) q_f	0,21 MPa	

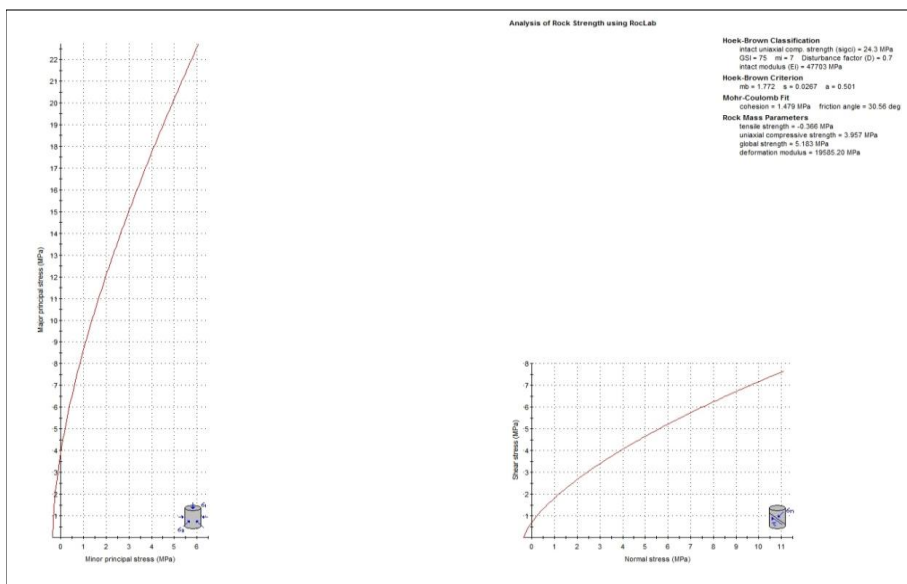
GRUPO N.º	NOMBRE GENÉRICO	EJEMPLOS	α_1
1	Rocas carbonatadas con estructura bien desarrollada	• Calizas, dolomías y mármoles puros • Calcarenitas de baja porosidad	1,0
2	Rocas ígneas y rocas metamórficas (*)	• Granitos, cuarcitas • Andesitas, riolitas • Pizarras, esquistos y gneises (esquistosidad subhorizontal)	0,8
3	Rocas sedimentarias (**) y algunas metamórficas	• Calizas margosas, argilitas, limolitas, areniscas y conglomerados • Pizarras y esquistos (esquistosidad verticalizada) • Yeso	0,6
4	Rocas poco soldadas	• Areniscas, limolitas y conglomerados poco cementados • Margas	0,4

Los valores que se recomiendan para establecer el valor del parámetro α_2 son los siguientes:

- Grado de meteorización I (Roca sana o fresca): $\alpha_2 = 1,0$
- Grado de meteorización II (Roca ligeramente meteorizada): $\alpha_2 = 0,7$
- Grado de meteorización III (Roca moderadamente meteorizada): $\alpha_2 = 0,5$
- Cuando el grado de meteorización sea igual o superior al IV, deberá estarse a lo especificado al respecto en el epígrafe 4.5.3 (cálculo como en suelos).

$$\alpha_3 = \min(\alpha_{3a}, \alpha_{3b}) \quad \alpha_{3a} = \sqrt{\frac{S}{1m}} \quad \alpha_{3b} = \sqrt{\frac{RQD(\%)}{100}}$$

Añadir Gráfico de Hoek y Brown



Hoek Brown Classification

sigci	24.3	MPa
GSI	75	
mi	7	
D	0.7	
Ei	47703	

Hoek Brown Criterion

mb	177.231	
s	0.0266974	
a	0.500911	

Failure Envelope Range

Application	General	
sig3max	6,075	MPa

Mohr-Coulomb Fit

c	1,479	MPa
phi	30.56	degrees

Rock Mass Parameters

sigt	-0.46396	MPa
sigc	501594	MPa
sigcm	656.978	MPa
Erm	19585.2	MPa